

%Umfang

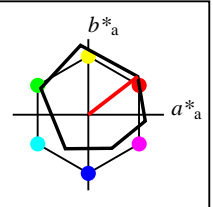
$u^*_{rel} = 94$

%Regularität

$g^*_{H,rel} = 58$

$g^*_{C,rel} = 54$

ORS18					
	$L^*=L^*_a$	a^*_a	b^*_a	$C^*_{ab,a}$	$h^*_{ab,a}$
O _M	47.94	65.31	52.07	83.53	39
Y _M	90.37	-11.15	96.17	96.82	97
L _M	50.9	-62.96	36.71	72.89	150
C _M	58.62	-30.62	-42.74	52.59	234
V _M	25.72	31.45	-44.35	54.38	305
M _M	48.13	75.2	-6.79	75.51	355
N _M	18.01	0.5	-0.46	0.69	317
W _M	95.41	-0.98	4.76	4.86	102
R _{CIE}	39.92	58.74	27.99	65.07	25
J _{CIE}	81.26	-2.88	71.56	71.62	92
G _{CIE}	52.23	-42.41	13.6	44.55	162
B _{CIE}	30.57	1.41	-46.46	46.49	272



%Umfang

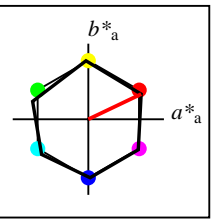
$u^*_{rel} = 93$

%Regularität

$g^*_{H,rel} = 57$

$g^*_{C,rel} = 59$

ORS18a; adaptierte CIELAB-Daten					
	$L^*=L^*_a$	a^*_a	b^*_a	$C^*_{ab,a}$	$h^*_{ab,a}$
O _{Ma}	47.94	65.39	50.52	82.63	38
Y _{Ma}	90.37	-10.26	91.75	92.32	96
L _{Ma}	50.9	-62.83	34.96	71.91	151
C _{Ma}	58.62	-30.34	-45.01	54.3	236
V _{Ma}	25.72	31.1	-44.4	54.22	305
M _{Ma}	48.13	75.28	-8.36	75.74	354
N _{Ma}	18.01	0.0	0.0	0.0	0
W _{Ma}	95.41	0.0	0.0	0.0	0
R _{CIE}	39.92	58.66	26.98	64.57	25
J _{CIE}	81.26	-2.16	67.76	67.79	92
G _{CIE}	52.23	-42.25	11.76	43.87	164
B _{CIE}	30.57	1.15	-46.84	46.86	271



%Umfang

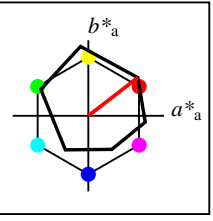
$u^*_{rel} = 100$

%Regularität

$g^*_{H,rel} = 78$

$g^*_{C,rel} = 100$

NRS18a; adaptierte CIELAB-Daten					
	$L^*=L^*_a$	a^*_a	b^*_a	$C^*_{ab,a}$	$h^*_{ab,a}$
O _{Ma}	56.71	69.87	33.29	77.4	25
Y _{Ma}	56.71	-3.1	77.34	77.4	92
L _{Ma}	56.71	-73.68	23.63	77.39	162
C _{Ma}	56.71	-61.81	-46.54	77.39	217
V _{Ma}	56.71	2.35	-77.34	77.39	272
M _{Ma}	56.71	66.07	-40.3	77.4	329
N _{Ma}	18.01	0.0	0.0	0.0	0
W _{Ma}	95.41	0.0	0.0	0.0	0
R _{CIE}	39.92	58.74	27.99	65.07	25
J _{CIE}	81.26	-2.88	71.56	71.62	92
G _{CIE}	52.23	-42.41	13.6	44.55	162
B _{CIE}	30.57	1.41	-46.46	46.49	272



%Umfang

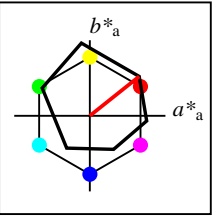
$u^*_{rel} = 93$

%Regularität

$g^*_{H,rel} = 57$

$g^*_{C,rel} = 59$

ORS18a; adaptierte CIELAB-Daten					
	$L^*=L^*_a$	a^*_a	b^*_a	$C^*_{ab,a}$	$h^*_{ab,a}$
O _{Ma}	47.94	65.39	50.52	82.63	38
Y _{Ma}	90.37	-10.26	91.75	92.32	96
L _{Ma}	50.9	-62.83	34.96	71.91	151
C _{Ma}	58.62	-30.34	-45.01	54.3	236
V _{Ma}	25.72	31.1	-44.4	54.22	305
M _{Ma}	48.13	75.28	-8.36	75.74	354
N _{Ma}	18.01	0.0	0.0	0.0	0
W _{Ma}	95.41	0.0	0.0	0.0	0
R _{CIE}	39.92	58.66	26.98	64.57	25
J _{CIE}	81.26	-2.16	67.76	67.79	92
G _{CIE}	52.23	-42.25	11.76	43.87	164
B _{CIE}	30.57	1.15	-46.84	46.86	271



%Umfang

$u^*_{rel} = 94$

%Regularität

$g^*_{H,rel} = 58$

$g^*_{C,rel} = 54$

ORS18					
	$L^*=L^*_a$	a^*_a	b^*_a	$C^*_{ab,a}$	$h^*_{ab,a}$
O _M	47.94	65.31	52.07	83.53	39
Y _M	90.37	-11.15	96.17	96.82	97
L _M	50.9	-62.96	36.71	72.89	150
C _M	58.62	-30.62	-42.74	52.59	234
V _M	25.72	31.45	-44.35	54.38	305
M _M	48.13	75.2	-6.79	75.51	355
N _M	18.01	0.5	-0.46	0.69	317
W _M	95.41	-0.98	4.76	4.86	102
R _{CIE}	39.92	58.74	27.99	65.07	25
J _{CIE}	81.26	-2.88	71.56	71.62	92
G _{CIE}	52.23	-42.41	13.6	44.55	162
B _{CIE}	30.57	1.41	-46.46	46.49	272

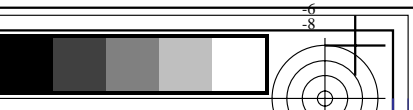
**BAM-Registrierung: 20061101-YG50/10L/L50G00FP.PS/.PDF BAM-Material: Code=rha4ta
Anwendung für Beurteilung und Messung von Drucker- oder Monitorsystemen**

Daten der 3x3x3 Farben im Farbmatrik-System ORS18 für Eingabe; Sechs Buntonwinkel des Farbgerätes: (21.9, 107.3, 142.3, 197.9, 293.9, 326.1); Vier Buntonwinkel der Elementarfarben: (25.5, 92.3, 162.2, 271.7)
Daten der 3x3x3 Farben im Farbmatrik-System ORS18 für Ausgabe; Sechs Buntonwinkel des Farbgerätes: (21.9, 107.3, 142.3, 197.9, 293.9, 326.1); Vier Buntonwinkel der Elementarfarben: (25.5, 92.3, 162.2, 271.7)

<i>n</i>	<i>ein System</i>	<i>o₃</i>	<i>I₃</i>	<i>v₃</i>	<i>e[*]</i>	<i>t[*]</i>	<i>c[*]</i>	<i>h[*]</i>	<i>n[*]</i>	<i>w[*]</i>	<i>LCH[*]CIE</i>	<i>a[*]b[*]CIE</i>	<i>XYZCIE</i>	<i>xyCIE</i>	<i>XYZRGB</i>	<i>RGB'sRGB</i>	<i>RGB'AdobeRGB</i>													
0	0	ORS18	0.0	0.0	0.0	0.0	0.0	1.0	0.0	0.0	0.0	2.4	2.5	2.7	0.313	0.313	0.027	0.028	0.031	0.184	0.184	0.184	0.198	0.198	0.198					
0	5	NRS18	0.0	0.0	0.0	0.0	0.0	1.0	0.0	18.0	0.0	0.0	0.0	2.4	2.5	2.7	0.313	0.313	0.027	0.028	0.031	0.184	0.184	0.184	0.198	0.198	0.198			
0	5	NRS18	0.0	0.0	0.0	0.0	0.0	0.0	1.0	0.0	18.0	0.0	0.0	0.0	2.4	2.5	2.7	0.313	0.313	0.027	0.028	0.031	0.184	0.184	0.184	0.198	0.198	0.198		
0	0	ORS18	0.0	0.0	0.0	0.0	0.0	0.0	1.0	0.0	18.0	0.0	0.0	0.0	2.4	2.5	2.7	0.313	0.313	0.027	0.028	0.031	0.184	0.184	0.184	0.198	0.198	0.198		
1	0	ORS18	0.0	0.0	0.5	0.778	0.25	0.5	0.847	0.5	0.0	12.9	27.1	305.0	15.5	-22.1	2.1	1.5	5.1	0.24	0.24	0.024	0.017	0.057	0.156	0.113	0.268	0.163	0.135	0.27
1	5	NRS18	0.292	0.0	0.5	0.778	0.25	0.5	0.847	0.5	0.0	28.4	38.7	305.0	22.2	-31.6	7.4	5.6	17.2	0.245	0.245	0.083	0.063	0.194	0.306	0.237	0.482	0.294	0.246	0.471
1	5	NRS18	0.292	0.0	0.5	0.778	0.25	0.5	0.847	0.5	0.0	28.4	38.7	305.0	22.2	-31.6	7.4	5.6	17.2	0.245	0.245	0.083	0.063	0.194	0.306	0.237	0.482	0.294	0.246	0.471
1	0	ORS18	0.0	0.0	0.5	0.778	0.25	0.5	0.847	0.5	0.0	12.9	27.1	305.0	15.5	-22.1	2.1	1.5	5.1	0.24	0.24	0.024	0.017	0.057	0.156	0.113	0.268	0.163	0.135	0.27
2	0	ORS18	0.0	0.0	1.0	0.778	0.5	1.0	0.847	0.0	0.0	25.7	54.2	305.0	31.1	-44.3	7.1	4.7	21.4	0.215	0.215	0.081	0.053	0.242	0.271	0.192	0.537	0.259	0.205	0.523
2	5	NRS18	0.585	0.0	1.0	0.778	0.5	1.0	0.847	0.0	0.0	56.7	77.4	305.0	44.4	-63.3	34.8	24.6	91.5	0.231	0.231	0.393	0.278	1.033	0.611	0.466	1.025	0.569	0.462	1.01
2	5	NRS18	0.585	0.0	1.0	0.778	0.5	1.0	0.847	0.0	0.0	56.7	77.4	305.0	44.4	-63.3	34.8	24.6	91.5	0.231	0.231	0.393	0.278	1.033	0.611	0.466	1.025	0.569	0.462	1.01
2	0	ORS18	0.0	0.0	1.0	0.778	0.5	1.0	0.847	0.0	0.0	25.7	54.2	305.0	31.1	-44.3	7.1	4.7	21.4	0.215	0.215	0.081	0.053	0.242	0.271	0.192	0.537	0.259	0.205	0.523
3	0	ORS18	0.0	0.5	0.0	0.35	0.25	0.5	0.419	0.5	0.0	25.5	36.0	150.9	-31.3	17.5	2.4	4.6	2.1	0.266	0.266	0.027	0.051	0.024	-0.03	0.296	0.136	0.163	0.3	0.164
3	5	NRS18	0.081	0.5	0.0	0.35	0.25	0.5	0.419	0.5	0.0	28.4	38.7	150.9	-33.7	18.8	3.0	5.6	2.6	0.265	0.265	0.033	0.063	0.029	-0.041	0.327	0.152	0.178	0.33	0.18
3	5	NRS18	0.081	0.5	0.0	0.35	0.25	0.5	0.419	0.5	0.0	28.4	38.7	150.9	-33.7	18.8	3.0	5.6	2.6	0.265	0.265	0.033	0.063	0.029	-0.041	0.327	0.152	0.178	0.33	0.18
3	0	ORS18	0.0	0.5	0.0	0.35	0.25	0.5	0.419	0.5	0.0	25.5	36.0	150.9	-31.3	17.5	2.4	4.6	2.1	0.266	0.266	0.027	0.051	0.024	-0.03	0.296	0.136	0.163	0.3	0.164
4	0	ORS18	0.0	0.5	0.5	0.586	0.25	0.5	0.656	0.5	0.0	29.3	27.1	236.0	-15.1	-22.4	4.4	6.0	13.9	0.183	0.183	0.05	0.067	0.157	-0.243	0.321	0.43	0.126	0.324	0.424
4	5	NRS18	0.0	0.326	0.5	0.586	0.25	0.5	0.656	0.5	0.0	28.4	38.7	236.0	-21.5	-32.0	3.7	5.6	17.4	0.139	0.139	0.042	0.063	0.197	-0.767	0.325	0.481	-0.16	0.328	0.473
4	5	NRS18	0.0	0.326	0.5	0.586	0.25	0.5	0.656	0.5	0.0	28.4	38.7	236.0	-21.5	-32.0	3.7	5.6	17.4	0.139	0.139	0.042	0.063	0.197	-0.767	0.325	0.481	-0.16	0.328	0.473
4	0	ORS18	0.0	0.5	0.5	0.586	0.25	0.5	0.656	0.5	0.0	29.3	27.1	236.0	-15.1	-22.4	4.4	6.0	13.9	0.183	0.183	0.05	0.067	0.157	-0.243	0.321	0.43	0.126	0.324	0.424
5	0	ORS18	0.0	0.5	1.0	0.683	0.5	1.0	0.751	0.0	0.0	42.2	54.3	270.5	0.5	-54.2	12.1	12.6	50.2	0.161	0.161	0.136	0.142	0.567	-0.782	0.435	0.785	0.057	0.433	0.769
5	5	NRS18	0.0	0.022	1.0	0.683	0.5	1.0	0.751	0.0	0.0	56.7	77.4	270.5	0.7	-77.3	23.6	24.6	113.4	0.146	0.146	0.266	0.278	1.28	-2.633	0.599	1.126	-0.268	0.593	1.115
5	5	NRS18	0.0	0.022	1.0	0.683	0.5	1.0	0.751	0.0	0.0	56.7	77.4	270.5	0.7	-77.3	23.6	24.6	113.4	0.146	0.146	0.266	0.278	1.28	-2.633	0.599	1.126	-0.268	0.593	1.115
5	0	ORS18	0.0	0.5	1.0	0.683	0.5	1.0	0.751	0.0	0.0	42.2	54.3	270.5	0.5	-54.2	12.1	12.6	50.2	0.161	0.161	0.136	0.142	0.567	-0.782	0.435	0.785	0.057	0.433	0.769
6	0	ORS18	0.0	1.0	0.0	0.35	0.5	1.0	0.419	0.0	0.0	50.9	71.9	150.9	-62.7	35.0	8.7	19.2	7.1	0.249	0.249	0.098	0.217	0.08	-0.691	0.596	0.237	0.259	0.591	0.271
6	5	NRS18	0.162	1.0	0.0	0.35	0.5	1.0	0.419	0.0	0.0	56.7	77.4	150.9	-67.5	37.6	11.3	24.6	9.2	0.25	0.25	0.127	0.278	0.104	-0.853	0.667	0.272	0.293	0.661	0.306
6	5	NRS18	0.162	1.0	0.0	0.35	0.5	1.0	0.419	0.0	0.0	56.7	77.4	150.9	-67.5	37.6	11.3	24.6	9.2	0.25	0.25	0.127	0.278	0.104	-0.853	0.667	0.272	0.293	0.661	0.306
6	0	ORS18	0.0	1.0	0.0	0.35	0.5	1.0	0.419	0.0	0.0	50.9	71.9	150.9	-62.7	35.0	8.7	19.2	7.1	0.249	0.249	0.098	0.217	0.08	-0.691	0.596	0.237	0.259	0.591	0.271
7	0	ORS18	0.0	1.0	0.5	0.467	0.5	1.0	0.537	0.0	0.0	54.8	63.1	193.5	-61.3	-14.6	11.0	22.7	34.8	0.161	0.161	0.124	0.256	0.392	-2.419	0.647	0.642	-0.191	0.641	0.636
7	5	NRS18	0.0	1.0	0.571	0.467	0.5	1.0	0.537	0.0	0.0	56.7	77.4	193.5	-75.2	-17.9	10.3	24.6	40.1	0.137	0.137	0.116	0.278	0.453	-3.584	0.686	0.686	-0.31	0.68	0.68
7	5	NRS18	0.0	1.0	0.571	0.467	0.5	1.0	0.537	0.0	0.0	56.7	77.4	193.5	-75.2	-17.9	10.3	24.6	40.1	0.137	0.137	0.116	0.278	0.453	-3.584	0.686	0.686	-0.31	0.68	0.68
7	0	ORS18	0.0	1.0	0.5	0.467	0.5	1.0	0.537	0.0	0.0	54.8	63.1	193.5	-61.3	-14.6	11.0	22.7	34.8	0.161	0.161	0.124	0.256	0.392	-2.419	0.647	0.642	-0.191	0.641	0.636
8	0	ORS18	0.0	1.0	1.0	0.586	0.5	1.0	0.656	0.0	0.0	58.6	54.3	236.0	-30.2	-44.9	18.8	26.6	71.3	0.161	0.161	0.212	0.3	0.805	-2.27	0.659	0.907	-0.143	0.653	0.895
8	5	NRS18	0.0	0.652	1.0	0.586	0.5	1.0	0.656	0.0	0.0	56.7	77.4	236.0	-43.2	-64.1	15.0	24.6	92.7	0.113	0.113	0.169	0.278	1.046	-5.173	0.666	1.025	-0.448	0.66	1.014
8	5	NRS18	0.0	0.652	1.0	0.586	0.5	1.0	0.656	0.0	0.0	56.7	77.4	236.0	-43.2	-64.1	15.0	24.6	92.7	0.113	0.113	0.169	0.278	1.046	-5.173	0.666	1.025	-0.448	0.66	1.014
8	0	ORS18	0.0	1.0	1.0	0.586	0.5	1.0	0.656	0.0	0.0	58.6	54.3	236.0	-30.2	-44.9	18.8	26.6	71.3	0.161	0.161	0.212	0.3	0.805	-2.27	0.659	0.907	-0.143	0.653	0.895

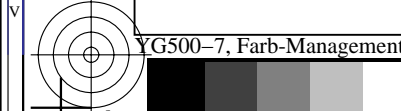
YG500-7, Farb-Management-Workflow: Geräte-Farbeingabedaten des Farbenraums ORS18 -> Geräte-Farbausgabedaten des Farbenraums ORS18, Seite 2/32

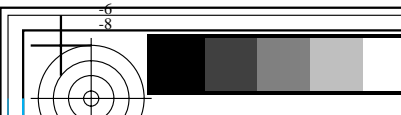
BAM-Prüfvorlage YG50; Farbmatrikworkflow ORS18->ORS18 Eingabe: *olv** *setrgbcolor*
D65: 3x3x3=27 Farben; Geräte- und Musterdaten; Seite 2/32 Ausgabe: *olv** *(TRI9) setrgbcolor*</



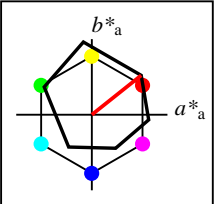
BAM-Registrierung: 20061101-YG50/10L/L50G00FP.PS/.PDF BAM-Material: Code=rha4ta
Anwendung für Beurteilung und Messung von Drucker- oder Monitorsystemen
YG50 Form: 3/8, Serie: 1/A, Seite: 3 Seitenanzahl 1

Daten der 3x3x3 Farben im Farbmietrik-Sytem ORS18 für Eingabe; Sechs Bunttonwinkel des Farbgerätes: (21,9, 107,3, 142,3, 197,9, 293,9, 326,1); Vier Bunttonwinkel der Elementarfärbungen: (25,5, 92,3, 162,2, 271,7)
Daten der 3x3x3 Farben im Farbmietrik-Sytem ORS18 für Ausgabe; Sechs Bunttonwinkel des Farbgerätes: (21,9, 107,3, 142,3, 197,9, 293,9, 326,1); Vier Bunttonwinkel der Elementarfärbungen: (25,5, 92,3, 162,2, 271,7)





metrik-Sytem ORS18 für Eingabe; Sechs Bunttonwinkel des Farbgerätes: (21,9, 107,3, 142,3, 197,9, 293,9, 326,1); Vier Bunttonwinkel der Elementarfarben: (25,5, 92,3, 162,2, 271,7) metrik-Sytem ORS18 für Ausgabe; Sechs Bunttonwinkel des Farbgerätes: (21,9, 107,3, 142,3, 197,9, 293,9, 326,1); Vier Bunttonwinkel der Elementarfarben: (25,5, 92,3, 162,2, 271,7)



%Umfang

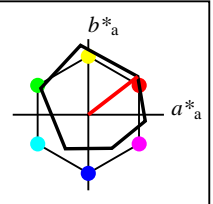
$u^*_{rel} = 94$

%Regularität

$g^*_{H,rel} = 58$

$g^*_{C,rel} = 54$

ORS18					
	$L^*=L^*_a$	a^*_{a}	b^*_{a}	$C^*_{ab,a}$	$h^*_{ab,a}$
O _M	47.94	65.31	52.07	83.53	39
Y _M	90.37	-11.15	96.17	96.82	97
L _M	50.9	-62.96	36.71	72.89	150
C _M	58.62	-30.62	-42.74	52.59	234
V _M	25.72	31.45	-44.35	54.38	305
M _M	48.13	75.2	-6.79	75.51	355
N _M	18.01	0.5	-0.46	0.69	317
W _M	95.41	-0.98	4.76	4.86	102
R _{CIE}	39.92	58.74	27.99	65.07	25
J _{CIE}	81.26	-2.88	71.56	71.62	92
G _{CIE}	52.23	-42.41	13.6	44.55	162
B _{CIE}	30.57	1.41	-46.46	46.49	272



%Umfang

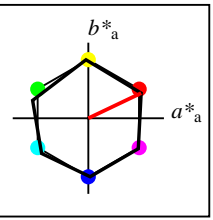
$u^*_{rel} = 93$

%Regularität

$g^*_{H,rel} = 57$

$g^*_{C,rel} = 59$

ORS18a; adaptierte CIELAB-Daten					
	$L^*=L^*_a$	a^*_{a}	b^*_{a}	$C^*_{ab,a}$	$h^*_{ab,a}$
O _{Ma}	47.94	65.39	50.52	82.63	38
Y _{Ma}	90.37	-10.26	91.75	92.32	96
L _{Ma}	50.9	-62.83	34.96	71.91	151
C _{Ma}	58.62	-30.34	-45.01	54.3	236
V _{Ma}	25.72	31.1	-44.4	54.22	305
M _{Ma}	48.13	75.28	-8.36	75.74	354
N _{Ma}	18.01	0.0	0.0	0.0	0
W _{Ma}	95.41	0.0	0.0	0.0	0
R _{CIE}	39.92	58.66	26.98	64.57	25
J _{CIE}	81.26	-2.16	67.76	67.79	92
G _{CIE}	52.23	-42.25	11.76	43.87	164
B _{CIE}	30.57	1.15	-46.84	46.86	271



%Umfang

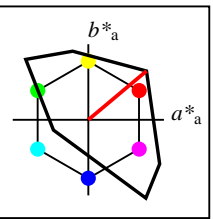
$u^*_{rel} = 100$

%Regularität

$g^*_{H,rel} = 78$

$g^*_{C,rel} = 100$

NRS18a; adaptierte CIELAB-Daten					
	$L^*=L^*_a$	a^*_{a}	b^*_{a}	$C^*_{ab,a}$	$h^*_{ab,a}$
O _{Ma}	56.71	69.87	33.29	77.4	25
Y _{Ma}	56.71	-3.1	77.34	77.4	92
L _{Ma}	56.71	-73.68	23.63	77.39	162
C _{Ma}	56.71	-61.81	-46.54	77.39	217
V _{Ma}	56.71	2.35	-77.34	77.39	272
M _{Ma}	56.71	66.07	-40.3	77.4	329
N _{Ma}	18.01	0.0	0.0	0.0	0
W _{Ma}	95.41	0.0	0.0	0.0	0
R _{CIE}	39.92	58.74	27.99	65.07	25
J _{CIE}	81.26	-2.88	71.56	71.62	92
G _{CIE}	52.23	-42.41	13.6	44.55	162
B _{CIE}	30.57	1.41	-46.46	46.49	272



%Umfang

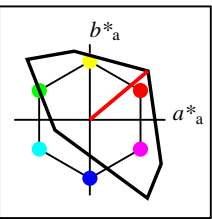
$u^*_{rel} = 158$

%Regularität

$g^*_{H,rel} = 20$

$g^*_{C,rel} = 37$

TLS00a; adaptierte CIELAB-Daten					
	$L^*=L^*_a$	a^*_{a}	b^*_{a}	$C^*_{ab,a}$	$h^*_{ab,a}$
O _{Ma}	50.5	76.92	64.55	100.42	40
Y _{Ma}	92.66	-20.69	90.75	93.08	103
L _{Ma}	83.63	-82.75	79.9	115.04	136
C _{Ma}	86.88	-46.16	-13.55	48.12	196
V _{Ma}	30.39	76.06	-103.59	128.52	306
M _{Ma}	57.3	94.35	-58.41	110.97	328
N _{Ma}	0.01	0.0	0.0	0.0	0
W _{Ma}	95.41	0.0	0.0	0.0	0
R _{CIE}	39.92	58.74	27.99	65.07	25
J _{CIE}	81.26	-2.88	71.56	71.62	92
G _{CIE}	52.23	-42.41	13.6	44.55	162
B _{CIE}	30.57	1.41	-46.46	46.49	272



%Umfang

$u^*_{rel} = 158$

%Regularität

$g^*_{H,rel} = 20$

$g^*_{C,rel} = 37$

TLS00					
	$L^*=L^*_a$	a^*_{a}	b^*_{a}	$C^*_{ab,a}$	$h^*_{ab,a}$
O _M	50.5	76.92	64.55	100.42	40
Y _M	92.66	-20.69	90.75	93.08	103
L _M	83.63	-82.75	79.9	115.04	136
C _M	86.88	-46.16	-13.55	48.12	196
V _M	30.39	76.06	-103.59	128.52	306
M _M	57.3	94.35	-58.41	110.97	328
N _M	0.01	0.0	0.0	0.0	0
W _M	95.41	0.0	0.0	0.0	0
R _{CIE}	39.92	58.74	27.99	65.07	25
J _{CIE}	81.26	-2.88	71.56	71.62	92
G _{CIE}	52.23	-42.41	13.6	44.55	162
B _{CIE}	30.57	1.41	-46.46	46.49	272

YG500-7, Farb-Management-Workflow: Geräte-Farbeingabedaten des Farbenraums ORS18 → Geräte-Farbausgabedaten des Farbenraums TLS00, Seite 5/32

BAM-Prüfvorlage YG50; Farbmetrikkworkflow ORS18→TLS00 Eingabe: $olv^* setrgbcolor$
 D65: 3x3x3=27 Farben; Geräte- und Musterdaten; Seite 5/32 Ausgabe: $olv^* (TRI9) setrgbcolor$

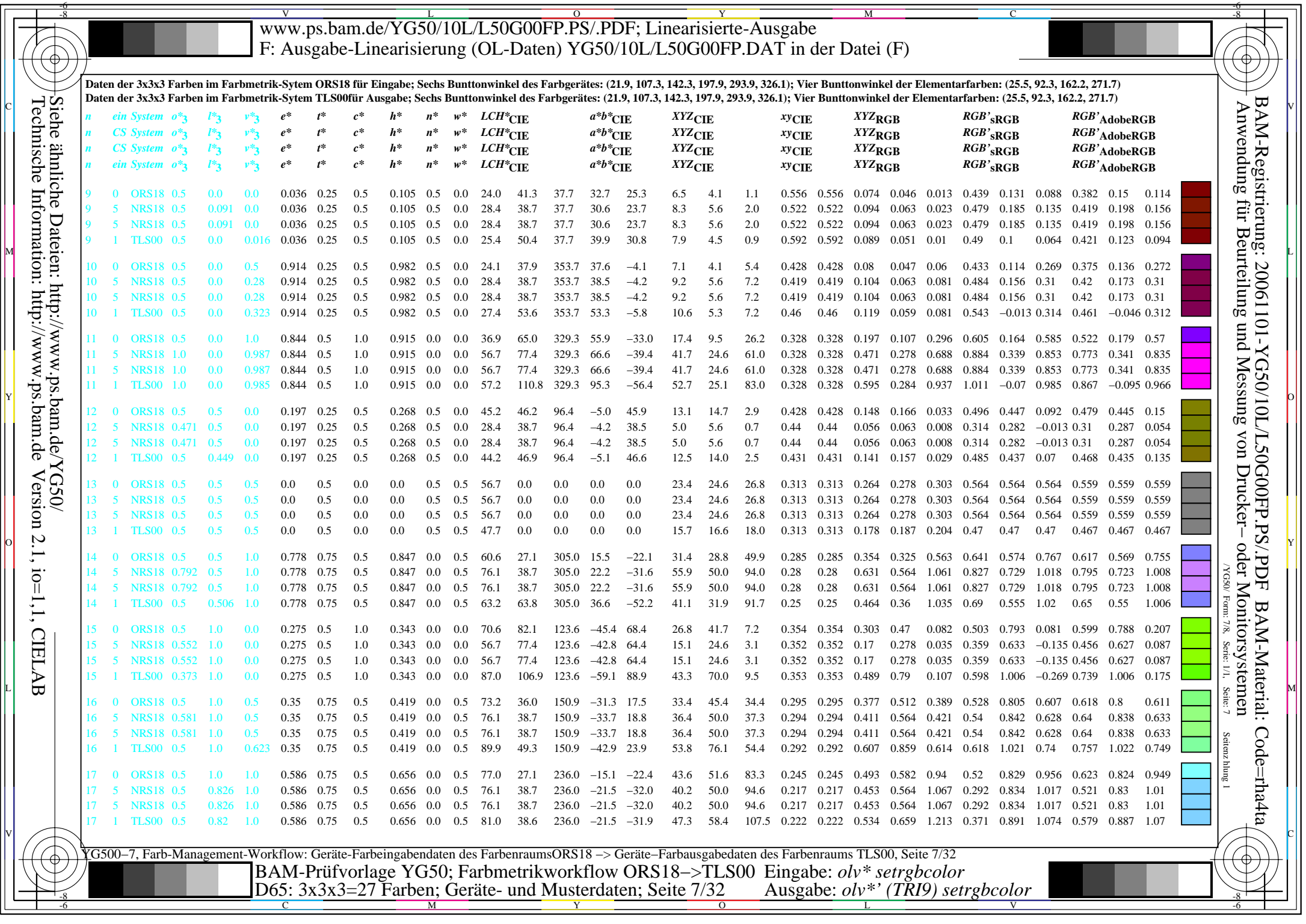
**BAM-Registrierung: 20061101-YG50/10L/L50G00FP.PS/.PDF BAM-Material: Code=rha4ta
Anwendung für Beurteilung und Messung von Drucker- oder Monitorsystemen**

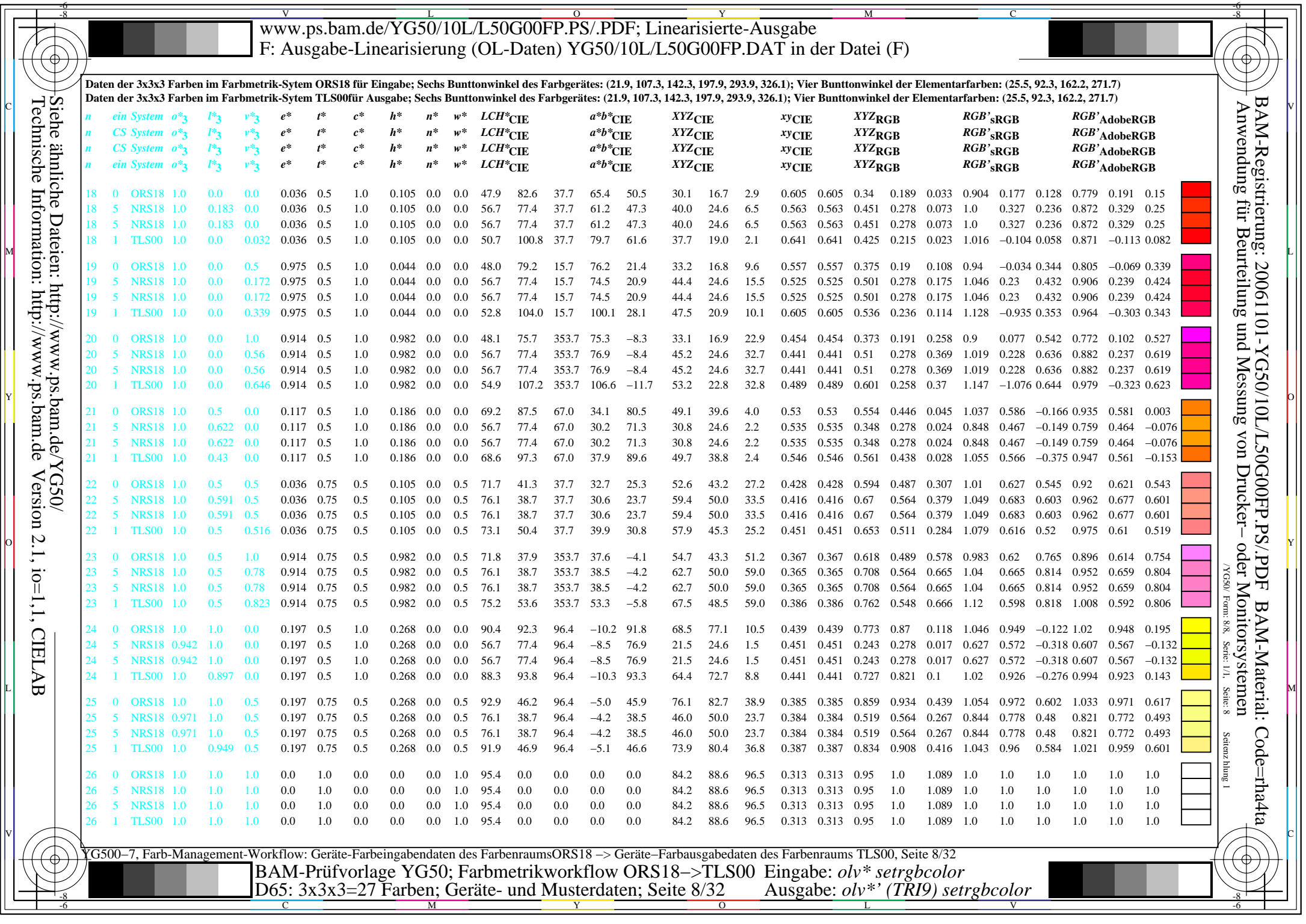
Daten der 3x3x3 Farben im Farbmatrik-System ORS18 für Eingabe; Sechs Buntonwinkel des Farbgerätes: (21.9, 107.3, 142.3, 197.9, 293.9, 326.1); Vier Buntonwinkel der Elementarfarben: (25.5, 92.3, 162.2, 271.7)
Daten der 3x3x3 Farben im Farbmatrik-System TLS00 für Ausgabe; Sechs Buntonwinkel des Farbgerätes: (21.9, 107.3, 142.3, 197.9, 293.9, 326.1); Vier Buntonwinkel der Elementarfarben: (25.5, 92.3, 162.2, 271.7)

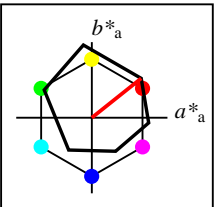
<i>n</i>	<i>ein System</i>	<i>o₃</i>	<i>I₃</i>	<i>v₃</i>	<i>e[*]</i>	<i>t[*]</i>	<i>c[*]</i>	<i>h[*]</i>	<i>n[*]</i>	<i>w[*]</i>	LCH [*] CIE	a [*] b [*] CIE	XYZCIE	x ^y CIE	XYZRGB	RGB'sRGB	RGB'AdobeRGB													
0	0	ORS18	0.0	0.0	0.0	0.0	0.0	1.0	0.0	18.0	0.0	0.0	0.0	2.4	2.5	2.7	0.313	0.313	0.027	0.028	0.031	0.184	0.184	0.184	0.198	0.198	0.198			
0	5	NRS18	0.0	0.0	0.0	0.0	0.0	1.0	0.0	18.0	0.0	0.0	0.0	2.4	2.5	2.7	0.313	0.313	0.027	0.028	0.031	0.184	0.184	0.184	0.198	0.198	0.198			
0	5	NRS18	0.0	0.0	0.0	0.0	0.0	1.0	0.0	18.0	0.0	0.0	0.0	2.4	2.5	2.7	0.313	0.313	0.027	0.028	0.031	0.184	0.184	0.184	0.198	0.198	0.198			
0	1	TLS00	0.0	0.0	0.0	0.0	0.0	1.0	0.0	0.0	0.0	0.0	0.0	0.0	0.0	0.0	0.328	0.328	0.0	0.0	0.0	0.0	0.0	0.0	0.006	0.006	0.006			
1	0	ORS18	0.0	0.0	0.5	0.778	0.25	0.5	0.847	0.5	0.0	12.9	27.1	305.0	15.5	-22.1	2.1	1.5	5.1	0.24	0.24	0.024	0.017	0.057	0.156	0.113	0.268	0.163	0.135	0.27
1	5	NRS18	0.292	0.0	0.5	0.778	0.25	0.5	0.847	0.5	0.0	28.4	38.7	305.0	22.2	-31.6	7.4	5.6	17.2	0.245	0.245	0.083	0.063	0.194	0.306	0.237	0.482	0.294	0.246	0.471
1	5	NRS18	0.292	0.0	0.5	0.778	0.25	0.5	0.847	0.5	0.0	28.4	38.7	305.0	22.2	-31.6	7.4	5.6	17.2	0.245	0.245	0.083	0.063	0.194	0.306	0.237	0.482	0.294	0.246	0.471
1	1	TLS00	0.0	0.006	0.5	0.778	0.25	0.5	0.847	0.5	0.0	15.5	63.8	305.0	36.6	-52.2	3.9	2.0	16.5	0.174	0.174	0.044	0.023	0.186	0.129	0.083	0.478	0.138	0.108	0.466
2	0	ORS18	0.0	0.0	1.0	0.778	0.5	1.0	0.847	0.0	0.0	25.7	54.2	305.0	31.1	-44.3	7.1	4.7	21.4	0.215	0.215	0.081	0.053	0.242	0.271	0.192	0.537	0.259	0.205	0.523
2	5	NRS18	0.585	0.0	1.0	0.778	0.5	1.0	0.847	0.0	0.0	56.7	77.4	305.0	44.4	-63.3	34.8	24.6	91.5	0.231	0.231	0.393	0.278	1.033	0.611	0.466	1.025	0.569	0.462	1.01
2	5	NRS18	0.585	0.0	1.0	0.778	0.5	1.0	0.847	0.0	0.0	56.7	77.4	305.0	44.4	-63.3	34.8	24.6	91.5	0.231	0.231	0.393	0.278	1.033	0.611	0.466	1.025	0.569	0.462	1.01
2	1	TLS00	0.0	0.012	1.0	0.778	0.5	1.0	0.847	0.0	0.0	31.1	127.6	305.0	73.2	-104.4	16.0	6.7	87.1	0.146	0.146	0.18	0.075	0.983	-0.272	0.081	1.015	-0.138	0.107	0.996
3	0	ORS18	0.0	0.5	0.0	0.35	0.25	0.5	0.419	0.5	0.0	25.5	36.0	150.9	-31.3	17.5	2.4	4.6	2.1	0.266	0.266	0.027	0.051	0.024	-0.03	0.296	0.136	0.163	0.3	0.164
3	5	NRS18	0.081	0.5	0.0	0.35	0.25	0.5	0.419	0.5	0.0	28.4	38.7	150.9	-33.7	18.8	3.0	5.6	2.6	0.265	0.265	0.033	0.063	0.029	-0.041	0.327	0.152	0.178	0.33	0.18
3	5	NRS18	0.081	0.5	0.0	0.35	0.25	0.5	0.419	0.5	0.0	28.4	38.7	150.9	-33.7	18.8	3.0	5.6	2.6	0.265	0.265	0.033	0.063	0.029	-0.041	0.327	0.152	0.178	0.33	0.18
3	1	TLS00	0.0	0.5	0.123	0.35	0.25	0.5	0.419	0.5	0.0	42.2	49.3	150.9	-42.9	23.9	6.8	12.6	6.1	0.267	0.267	0.077	0.143	0.069	-0.046	0.48	0.242	0.263	0.476	0.265
4	0	ORS18	0.0	0.5	0.5	0.586	0.25	0.5	0.656	0.5	0.0	29.3	27.1	236.0	-15.1	-22.4	4.4	6.0	13.9	0.183	0.183	0.05	0.067	0.157	-0.243	0.321	0.43	0.126	0.324	0.424
4	5	NRS18	0.0	0.326	0.5	0.586	0.25	0.5	0.656	0.5	0.0	28.4	38.7	236.0	-21.5	-32.0	3.7	5.6	17.4	0.139	0.139	0.042	0.063	0.197	-0.767	0.325	0.481	-0.16	0.328	0.473
4	5	NRS18	0.0	0.326	0.5	0.586	0.25	0.5	0.656	0.5	0.0	28.4	38.7	236.0	-21.5	-32.0	3.7	5.6	17.4	0.139	0.139	0.042	0.063	0.197	-0.767	0.325	0.481	-0.16	0.328	0.473
4	1	TLS00	0.0	0.32	0.5	0.586	0.25	0.5	0.656	0.5	0.0	33.3	38.6	236.0	-21.5	-31.9	5.3	7.7	21.7	0.152	0.152	0.06	0.086	0.245	-0.802	0.373	0.532	-0.132	0.373	0.522
5	0	ORS18	0.0	0.5	1.0	0.683	0.5	1.0	0.751	0.0	0.0	42.2	54.3	270.5	0.5	-54.2	12.1	12.6	50.2	0.161	0.161	0.136	0.142	0.567	-0.782	0.435	0.785	0.057	0.433	0.769
5	5	NRS18	0.0	0.022	1.0	0.683	0.5	1.0	0.751	0.0	0.0	56.7	77.4	270.5	0.7	-77.3	23.6	24.6	113.4	0.146	0.146	0.266	0.278	1.28	-2.633	0.599	1.126	-0.268	0.593	1.115
5	5	NRS18	0.0	0.022	1.0	0.683	0.5	1.0	0.751	0.0	0.0	56.7	77.4	270.5	0.7	-77.3	23.6	24.6	113.4	0.146	0.146	0.266	0.278	1.28	-2.633	0.599	1.126	-0.268	0.593	1.115
5	1	TLS00	0.0	0.325	1.0	0.683	0.5	1.0	0.751	0.0	0.0	48.8	102.4	270.5	0.9	-102.2	16.7	17.4	133.5	0.1	0.1	0.189	0.197	1.506	-5.708	0.536	1.216	-0.527	0.531	1.206
6	0	ORS18	0.0	1.0	0.0	0.35	0.5	1.0	0.419	0.0	0.0	50.9	71.9	150.9	-62.7	35.0	8.7	19.2	7.1	0.249	0.249	0.098	0.217	0.08	-0.691	0.596	0.237	0.259	0.591	0.271
6	5	NRS18	0.162	1.0	0.0	0.35	0.5	1.0	0.419	0.0	0.0	56.7	77.4	150.9	-67.5	37.6	11.3	24.6	9.2	0.25	0.25	0.127	0.278	0.104	-0.853	0.667	0.272	0.293	0.661	0.306
6	5	NRS18	0.162	1.0	0.0	0.35	0.5	1.0	0.419	0.0	0.0	56.7	77.4	150.9	-67.5	37.6	11.3	24.6	9.2	0.25	0.25	0.127	0.278	0.104	-0.853	0.667	0.272	0.293	0.661	0.306
6	1	TLS00	0.0	1.0	0.247	0.35	0.5	1.0	0.419	0.0	0.0	84.4	98.5	150.9	-86.0	47.9	31.7	64.9	26.8	0.257	0.257	0.358	0.733	0.302	-1.504	1.017	0.473	0.495	1.018	0.507
7	0	ORS18	0.0	1.0	0.5	0.467	0.5	1.0	0.537	0.0	0.0	54.8	63.1	193.5	-61.3	-14.6	11.0	22.7	34.8	0.161	0.161	0.124	0.256	0.392	-2.419	0.647	0.642	-0.191	0.641	0.636
7	5	NRS18	0.0	1.0	0.571	0.467	0.5	1.0	0.537	0.0	0.0	56.7	77.4	193.5	-75.2	-17.9	10.3	24.6	40.1	0.137	0.137	0.116	0.278	0.453	-3.584	0.686	0.686	-0.31	0.68	0.68
7	5	NRS18	0.0	1.0	0.571	0.467	0.5	1.0	0.537	0.0	0.0	56.7	77.4	193.5	-75.2	-17.9	10.3	24.6	40.1	0.137	0.137	0.116	0.278	0.453	-3.584	0.686	0.686	-0.31	0.68	0.68
7	1	TLS00	0.0	1.0	0.952	0.467	0.5	1.0	0.537	0.0	0.0	86.7	51.3	193.5	-49.8	-11.9	46.1	69.4	92.0	0.222	0.222	0.52	0.784	1.038	-0.469	1.004	0.985	0.543	1.004	0.985
8	0	ORS18	0.0	1.0	1.0	0.586	0.5	1.0	0.656	0.0	0.0	58.6	54.3	236.0	-30.2	-44.9	18.8	26.6	71.3	0.161	0.161	0.212	0.3	0.805	-2.27	0.659	0.907	-0.143	0.653	0.895
8	5	NRS18	0.0	0.652	1.0	0.586	0.5	1.0	0.656	0.0	0.0	56.7	77.4	236.0	-43.2	-64.1	15.0	24.6	92.7	0.113	0.113	0.169	0.278	1.046	-5.173	0.666	1.025	-0.448	0.66	1.014
8	5	NRS18	0.0	0.652	1.0	0.586	0.5	1.0	0.656	0.0	0.0	56.7	77.4	236.0	-43.2	-64.1	15.0	24.6	92.7	0.113	0.113	0.169	0.278	1.046	-5.173	0.666	1.025	-0.448	0.66	1.014
8	1	TLS00	0.0	0.639	1.0	0.586	0.5	1.0	0.656	0.0	0.0	66.5	77.1	236.0	-43.0	-63.9	23.2	36.0	119.3	0.13	0.13	0.262	0.406	1.347	-5.774	0.776	1.143	-0.432	0.771	1.136

YG500-7, Farb-Management-Workflow: Geräte-Farbeingabedaten des Farbenraums ORS18 -> Geräte-Farbausgabedaten des Farbenraums TLS00, Seite 6/32

BAM-Prüfvorlage YG50; Farbmatrikworkflow ORS18->TLS00 Eingabe: olv* setrgbcolor
D65: 3x3x3=27 Farben; Geräte- und Musterdaten; Seite 6/32 Ausgabe: olv*(TRI9) setrgbcolor







%Umfang

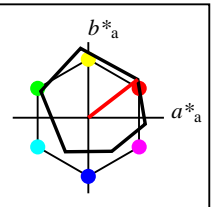
$u^*_{rel} = 94$

%Regularität

$g^*_{H,rel} = 58$

$g^*_{C,rel} = 54$

ORS18					
	$L^*=L^*_a$	a^*_a	b^*_a	$C^*_{ab,a}$	$h^*_{ab,a}$
O _M	47.94	65.31	52.07	83.53	39
Y _M	90.37	-11.15	96.17	96.82	97
L _M	50.9	-62.96	36.71	72.89	150
C _M	58.62	-30.62	-42.74	52.59	234
V _M	25.72	31.45	-44.35	54.38	305
M _M	48.13	75.2	-6.79	75.51	355
N _M	18.01	0.5	-0.46	0.69	317
W _M	95.41	-0.98	4.76	4.86	102
R _{CIE}	39.92	58.74	27.99	65.07	25
J _{CIE}	81.26	-2.88	71.56	71.62	92
G _{CIE}	52.23	-42.41	13.6	44.55	162
B _{CIE}	30.57	1.41	-46.46	46.49	272



%Umfang

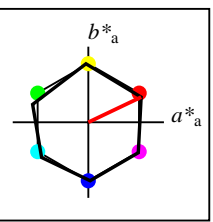
$u^*_{rel} = 93$

%Regularität

$g^*_{H,rel} = 57$

$g^*_{C,rel} = 59$

ORS18a; adaptierte CIELAB-Daten					
	$L^*=L^*_a$	a^*_a	b^*_a	$C^*_{ab,a}$	$h^*_{ab,a}$
O _{Ma}	47.94	65.39	50.52	82.63	38
Y _{Ma}	90.37	-10.26	91.75	92.32	96
L _{Ma}	50.9	-62.83	34.96	71.91	151
C _{Ma}	58.62	-30.34	-45.01	54.3	236
V _{Ma}	25.72	31.1	-44.4	54.22	305
M _{Ma}	48.13	75.28	-8.36	75.74	354
N _{Ma}	18.01	0.0	0.0	0.0	0
W _{Ma}	95.41	0.0	0.0	0.0	0
R _{CIE}	39.92	58.66	26.98	64.57	25
J _{CIE}	81.26	-2.16	67.76	67.79	92
G _{CIE}	52.23	-42.25	11.76	43.87	164
B _{CIE}	30.57	1.15	-46.84	46.86	271



%Umfang

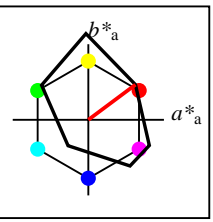
$u^*_{rel} = 100$

%Regularität

$g^*_{H,rel} = 78$

$g^*_{C,rel} = 100$

NRS18a; adaptierte CIELAB-Daten					
	$L^*=L^*_a$	a^*_a	b^*_a	$C^*_{ab,a}$	$h^*_{ab,a}$
O _{Ma}	56.71	69.87	33.29	77.4	25
Y _{Ma}	56.71	-3.1	77.34	77.4	92
L _{Ma}	56.71	-73.68	23.63	77.39	162
C _{Ma}	56.71	-61.81	-46.54	77.39	217
V _{Ma}	56.71	2.35	-77.34	77.39	272
M _{Ma}	56.71	66.07	-40.3	77.4	329
N _{Ma}	18.01	0.0	0.0	0.0	0
W _{Ma}	95.41	0.0	0.0	0.0	0
R _{CIE}	39.92	58.74	27.99	65.07	25
J _{CIE}	81.26	-2.88	71.56	71.62	92
G _{CIE}	52.23	-42.41	13.6	44.55	162
B _{CIE}	30.57	1.41	-46.46	46.49	272



%Umfang

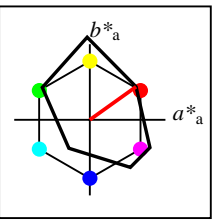
$u^*_{rel} = 115$

%Regularität

$g^*_{H,rel} = 28$

$g^*_{C,rel} = 38$

FRS06a; adaptierte CIELAB-Daten					
	$L^*=L^*_a$	a^*_a	b^*_a	$C^*_{ab,a}$	$h^*_{ab,a}$
O _{Ma}	32.57	62.32	46.49	77.75	37
Y _{Ma}	82.73	-3.16	113.99	114.03	92
L _{Ma}	39.43	-61.79	45.84	76.95	143
C _{Ma}	47.86	-26.79	-34.24	43.49	232
V _{Ma}	10.16	55.12	-61.03	82.24	312
M _{Ma}	34.5	80.68	-33.92	87.52	337
N _{Ma}	6.25	0.0	0.0	0.0	0
W _{Ma}	91.97	0.0	0.0	0.0	0
R _{CIE}	39.92	59.8	31.05	67.38	27
J _{CIE}	81.26	-2.52	76.25	76.29	92
G _{CIE}	52.23	-41.56	17.14	44.96	158
B _{CIE}	30.57	2.63	-43.77	43.86	273



%Umfang

$u^*_{rel} = 114$

%Regularität

$g^*_{H,rel} = 28$

$g^*_{C,rel} = 43$

FRS06					
	$L^*=L^*_a$	a^*_a	b^*_a	$C^*_{ab,a}$	$h^*_{ab,a}$
O _M	32.57	61.14	43.72	75.16	36
Y _M	82.73	-3.5	109.24	109.3	92
L _M	39.43	-62.86	42.8	76.06	146
C _M	47.86	-27.72	-37.61	46.74	234
V _M	10.16	53.56	-62.91	82.63	310
M _M	34.5	79.53	-36.76	87.62	335
N _M	6.25	-1.62	-1.72	2.38	227
W _M	91.97	-0.17	-5.1	5.11	268
R _{CIE}	39.92	58.74	27.99	65.07	25
J _{CIE}	81.26	-2.88	71.56	71.62	92
G _{CIE}	52.23	-42.41	13.6	44.55	162
B _{CIE}	30.57	1.41	-46.46	46.49	272

YG500-7, Farb-Management-Workflow: Geräte-Farbeingabedaten des Farbenraums ORS18 → Geräte-Farbausgabedaten des Farbenraums FRS06, Seite 9/32

BAM-Prüfvorlage YG50; Farbmatrikworkflow ORS18→FRS06 Eingabe: olv* setrgbcolor

D65: 3x3x3=27 Farben; Geräte- und Musterdaten; Seite 9/32 Ausgabe: olv*' (TRI9) setrgbcolor

**BAM-Registrierung: 20061101-YG50/10L/L50G00FP.PS/.PDF BAM-Material: Code=rha4ta
Anwendung für Beurteilung und Messung von Drucker- oder Monitorsystemen**

/YG50/ Form: 108, Serie: 1/1, Seite: 10
Seitenanzahl 1

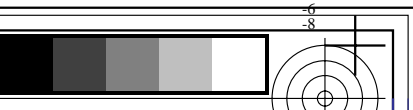
Daten der 3x3x3 Farben im Farbmatrik-System ORS18 für Eingabe; Sechs Buntonwinkel des Farbgerätes: (21.9, 107.3, 142.3, 197.9, 293.9, 326.1); Vier Buntonwinkel der Elementarfarben: (25.5, 92.3, 162.2, 271.7)

Daten der 3x3x3 Farben im Farbmatrik-System FRS06 für Ausgabe; Sechs Buntonwinkel des Farbgerätes: (21.9, 107.3, 142.3, 197.9, 293.9, 326.1); Vier Buntonwinkel der Elementarfarben: (25.5, 92.3, 162.2, 271.7)

<i>n</i>	<i>ein System</i>	<i>o*3</i>	<i>I*3</i>	<i>v*3</i>	<i>e*</i>	<i>t*</i>	<i>c*</i>	<i>h*</i>	<i>n*</i>	<i>w*</i>	<i>LCH*CIE</i>	<i>a*b*CIE</i>	<i>XYZCIE</i>	<i>xyCIE</i>	<i>XYZRGB</i>	<i>RGB'sRGB</i>	<i>RGB'AdobeRGB</i>
0	0	ORS18	0.0	0.0	0.0	0.0	0.0	1.0	0.0	18.0	0.0	0.0	0.0	2.4	2.5	2.7	0.198
0	5	NRS18	0.0	0.0	0.0	0.0	0.0	1.0	0.0	18.0	0.0	0.0	0.0	2.4	2.5	2.7	0.198
0	5	NRS18	0.0	0.0	0.0	0.0	0.0	1.0	0.0	18.0	0.0	0.0	0.0	2.4	2.5	2.7	0.198
0	2	FRS06	0.0	0.0	0.0	0.0	0.0	1.0	0.0	6.3	0.0	0.0	0.0	0.7	0.7	0.8	0.11
1	0	ORS18	0.0	0.0	0.5	0.778	0.25	0.5	0.847	0.5	0.0	12.9	27.1	305.0	15.5	-22.1	0.27
1	5	NRS18	0.292	0.0	0.5	0.778	0.25	0.5	0.847	0.5	0.0	28.4	38.7	305.0	22.2	-31.6	0.471
1	5	NRS18	0.292	0.0	0.5	0.778	0.25	0.5	0.847	0.5	0.0	28.4	38.7	305.0	22.2	-31.6	0.471
1	2	FRS06	0.0	0.044	0.5	0.778	0.25	0.5	0.847	0.5	0.0	6.7	39.4	305.0	22.6	-32.2	0.27
2	0	ORS18	0.0	0.0	1.0	0.778	0.5	1.0	0.847	0.0	0.0	25.7	54.2	305.0	31.1	-44.3	0.523
2	5	NRS18	0.585	0.0	1.0	0.778	0.5	1.0	0.847	0.0	0.0	56.7	77.4	305.0	44.4	-63.3	1.01
2	5	NRS18	0.585	0.0	1.0	0.778	0.5	1.0	0.847	0.0	0.0	56.7	77.4	305.0	44.4	-63.3	1.01
2	2	FRS06	0.0	0.088	1.0	0.778	0.5	1.0	0.847	0.0	0.0	13.5	78.8	305.0	45.2	-64.5	0.521
3	0	ORS18	0.0	0.5	0.0	0.35	0.25	0.5	0.419	0.5	0.0	25.5	36.0	150.9	-31.3	17.5	0.164
3	5	NRS18	0.081	0.5	0.0	0.35	0.25	0.5	0.419	0.5	0.0	28.4	38.7	150.9	-33.7	18.8	0.18
3	5	NRS18	0.081	0.5	0.0	0.35	0.25	0.5	0.419	0.5	0.0	28.4	38.7	150.9	-33.7	18.8	0.18
3	2	FRS06	0.0	0.5	0.042	0.35	0.25	0.5	0.419	0.5	0.0	20.1	37.1	150.9	-32.3	18.0	0.121
4	0	ORS18	0.0	0.5	0.5	0.586	0.25	0.5	0.656	0.5	0.0	29.3	27.1	236.0	-15.1	-22.4	0.424
4	5	NRS18	0.0	0.326	0.5	0.586	0.25	0.5	0.656	0.5	0.0	28.4	38.7	236.0	-21.5	-32.0	0.473
4	5	NRS18	0.0	0.326	0.5	0.586	0.25	0.5	0.656	0.5	0.0	28.4	38.7	236.0	-21.5	-32.0	0.473
4	2	FRS06	0.0	0.475	0.5	0.586	0.25	0.5	0.656	0.5	0.0	23.0	22.7	236.0	-12.6	-18.7	0.342
5	0	ORS18	0.0	0.5	1.0	0.683	0.5	1.0	0.751	0.0	0.0	42.2	54.3	270.5	0.5	-54.2	0.769
5	5	NRS18	0.0	0.022	1.0	0.683	0.5	1.0	0.751	0.0	0.0	56.7	77.4	270.5	0.7	-77.3	1.115
5	5	NRS18	0.0	0.022	1.0	0.683	0.5	1.0	0.751	0.0	0.0	56.7	77.4	270.5	0.7	-77.3	1.115
5	2	FRS06	0.0	0.519	1.0	0.683	0.5	1.0	0.751	0.0	0.0	29.7	62.1	270.5	0.6	-62.0	0.681
6	0	ORS18	0.0	1.0	0.0	0.35	0.5	1.0	0.419	0.0	0.0	50.9	71.9	150.9	-62.7	35.0	0.271
6	5	NRS18	0.162	1.0	0.0	0.35	0.5	1.0	0.419	0.0	0.0	56.7	77.4	150.9	-67.5	37.6	0.306
6	5	NRS18	0.162	1.0	0.0	0.35	0.5	1.0	0.419	0.0	0.0	56.7	77.4	150.9	-67.5	37.6	0.306
6	2	FRS06	0.0	1.0	0.084	0.35	0.5	1.0	0.419	0.0	0.0	40.1	74.1	150.9	-64.7	36.0	0.171
7	0	ORS18	0.0	1.0	0.5	0.467	0.5	1.0	0.537	0.0	0.0	54.8	63.1	193.5	-61.3	-14.6	0.636
7	5	NRS18	0.0	1.0	0.571	0.467	0.5	1.0	0.537	0.0	0.0	56.7	77.4	193.5	-75.2	-17.9	0.68
7	5	NRS18	0.0	1.0	0.571	0.467	0.5	1.0	0.537	0.0	0.0	56.7	77.4	193.5	-75.2	-17.9	0.68
7	2	FRS06	0.0	1.0	0.565	0.467	0.5	1.0	0.537	0.0	0.0	44.2	58.0	193.5	-56.3	-13.4	0.517
8	0	ORS18	0.0	1.0	1.0	0.586	0.5	1.0	0.656	0.0	0.0	58.6	54.3	236.0	-30.2	-44.9	0.895
8	5	NRS18	0.0	0.652	1.0	0.586	0.5	1.0	0.656	0.0	0.0	56.7	77.4	236.0	-43.2	-64.1	1.014
8	5	NRS18	0.0	0.652	1.0	0.586	0.5	1.0	0.656	0.0	0.0	56.7	77.4	236.0	-43.2	-64.1	1.014
8	2	FRS06	0.0	0.949	1.0	0.586	0.5	1.0	0.656	0.0	0.0	45.9	45.5	236.0	-25.3	-37.6	0.697

YG500-7, Farb-Management-Workflow: Geräte-Farbeingabedaten des Farbenraums ORS18 -> Geräte-Farbausgabedaten des Farbenraums FRS06, Seite 10/32

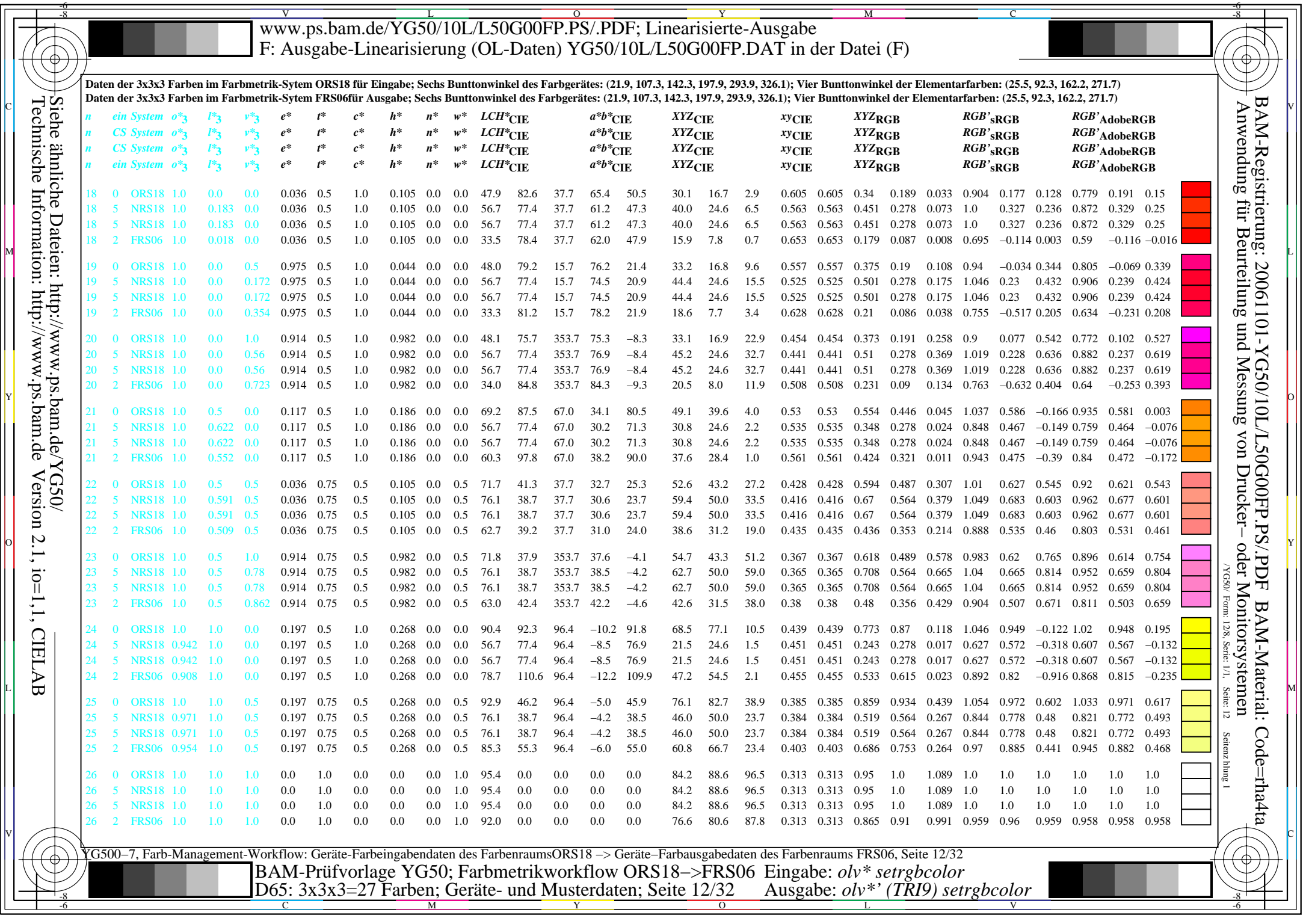
BAM-Prüfvorlage YG50; Farbmatrikworkflow ORS18->FRS06 Eingabe: *olv* setrgbcolor*
D65: 3x3x3=27 Farben; Geräte- und Musterdaten; Seite 10/32 Ausgabe: *olv*' (TRI9) setrgbcolor*

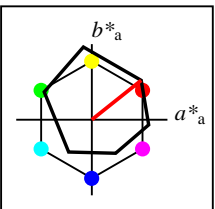


BAM-Registrierung: 20061101-YG50/10L/L50G0FP.PS/PDF BAM-Material: Code=rha4ta
Anwendung für Beurteilung und Messung von Drucker- oder Monitorsystemen
(YG50) Form: 118, Serie: 1/1, Seite: 11 Seitenanzahl: 1

Daten der 3x3x3 Farben im Farbmuster-System ORS18 für Eingabe; Sechs Bunttonwinkel des Farbgerätes: (21,9, 107,3, 142,3, 197,9, 293,9, 326,1); Vier Bunttonwinkel der Elementarfärbungen: (25,5, 92,3, 162,2, 271,7)
Daten der 3x3x3 Farben im Farbmuster-System FRS06 für Ausgabe; Sechs Bunttonwinkel des Farbgerätes: (21,9, 107,3, 142,3, 197,9, 293,9, 326,1); Vier Bunttonwinkel der Elementarfärbungen: (25,5, 92,3, 162,2, 271,7)

<i>n</i>	<i>ein System</i>	<i>o*₃</i>	<i>I*₃</i>	<i>v*₃</i>	<i>e*</i>	<i>t*</i>	<i>c*</i>	<i>h*</i>	<i>n*</i>	<i>w*</i>	<i>LCH*cie</i>	<i>a*b*cie</i>	<i>xyzcie</i>	<i>xycie</i>	<i>xyzrgb</i>	<i>RGB'srgb</i>	<i>RGB'AdobeRGB</i>													
<i>n</i>	<i>CS System</i>	<i>o*₃</i>	<i>I*₃</i>	<i>v*₃</i>	<i>e*</i>	<i>t*</i>	<i>c*</i>	<i>h*</i>	<i>n*</i>	<i>w*</i>	<i>LCH*cie</i>	<i>a*b*cie</i>	<i>xyzcie</i>	<i>xycie</i>	<i>xyzrgb</i>	<i>RGB'srgb</i>	<i>RGB'AdobeRGB</i>													
<i>n</i>	<i>CS System</i>	<i>o*₃</i>	<i>I*₃</i>	<i>v*₃</i>	<i>e*</i>	<i>t*</i>	<i>c*</i>	<i>h*</i>	<i>n*</i>	<i>w*</i>	<i>LCH*cie</i>	<i>a*b*cie</i>	<i>xyzcie</i>	<i>xycie</i>	<i>xyzrgb</i>	<i>RGB'srgb</i>	<i>RGB'AdobeRGB</i>													
<i>n</i>	<i>ein System</i>	<i>o*₃</i>	<i>I*₃</i>	<i>v*₃</i>	<i>e*</i>	<i>t*</i>	<i>c*</i>	<i>h*</i>	<i>n*</i>	<i>w*</i>	<i>LCH*cie</i>	<i>a*b*cie</i>	<i>xyzcie</i>	<i>xycie</i>	<i>xyzrgb</i>	<i>RGB'srgb</i>	<i>RGB'AdobeRGB</i>													
9	0	ORS18	0.5	0.0	0.036	0.25	0.5	0.105	0.5	0.0	24.0	41.3	37.7	32.7	25.3	6.5	4.1	1.1	0.556	0.556	0.074	0.046	0.013	0.439	0.131	0.088	0.382	0.15	0.114	
9	5	NRS18	0.5	0.091	0.0	0.036	0.25	0.5	0.105	0.5	0.0	28.4	38.7	37.7	30.6	23.7	8.3	5.6	2.0	0.522	0.522	0.094	0.063	0.023	0.479	0.185	0.135	0.419	0.198	0.156
9	5	NRS18	0.5	0.091	0.0	0.036	0.25	0.5	0.105	0.5	0.0	28.4	38.7	37.7	30.6	23.7	8.3	5.6	2.0	0.522	0.522	0.094	0.063	0.023	0.479	0.185	0.135	0.419	0.198	0.156
9	2	FRS06	0.5	0.009	0.0	0.036	0.25	0.5	0.105	0.5	0.0	16.7	39.2	37.7	31.0	24.0	3.9	2.2	0.3	0.6	0.6	0.044	0.025	0.004	0.351	0.064	0.017	0.305	0.092	0.052
10	0	ORS18	0.5	0.0	0.5	0.914	0.25	0.5	0.982	0.5	0.0	24.1	37.9	353.7	37.6	-4.1	7.1	4.1	5.4	0.428	0.428	0.08	0.047	0.06	0.433	0.114	0.269	0.375	0.136	0.272
10	5	NRS18	0.5	0.0	0.28	0.914	0.25	0.5	0.982	0.5	0.0	28.4	38.7	353.7	38.5	-4.2	9.2	5.6	7.2	0.419	0.419	0.104	0.063	0.081	0.484	0.156	0.31	0.42	0.173	0.31
10	5	NRS18	0.5	0.0	0.28	0.914	0.25	0.5	0.982	0.5	0.0	28.4	38.7	353.7	38.5	-4.2	9.2	5.6	7.2	0.419	0.419	0.104	0.063	0.081	0.484	0.156	0.31	0.42	0.173	0.31
10	2	FRS06	0.5	0.0	0.362	0.914	0.25	0.5	0.982	0.5	0.0	17.0	42.4	353.7	42.2	-4.6	4.8	2.3	3.2	0.465	0.465	0.054	0.026	0.036	0.376	-0.024	0.208	0.322	-0.057	0.215
11	0	ORS18	0.5	0.0	1.0	0.844	0.5	1.0	0.915	0.0	0.0	36.9	65.0	329.3	55.9	-33.0	17.4	9.5	26.2	0.328	0.328	0.197	0.107	0.296	0.605	0.164	0.585	0.522	0.179	0.57
11	5	NRS18	1.0	0.0	0.987	0.844	0.5	1.0	0.915	0.0	0.0	56.7	77.4	329.3	66.6	-39.4	41.7	24.6	61.0	0.328	0.328	0.471	0.278	0.688	0.884	0.339	0.853	0.773	0.341	0.835
11	5	NRS18	1.0	0.0	0.987	0.844	0.5	1.0	0.915	0.0	0.0	56.7	77.4	329.3	66.6	-39.4	41.7	24.6	61.0	0.328	0.328	0.471	0.278	0.688	0.884	0.339	0.853	0.773	0.341	0.835
11	2	FRS06	0.687	0.0	1.0	0.844	0.5	1.0	0.915	0.0	0.0	26.9	85.9	329.3	73.9	-43.7	13.2	5.0	22.2	0.326	0.326	0.149	0.057	0.251	0.555	-0.342	0.548	0.464	-0.191	0.532
12	0	ORS18	0.5	0.5	0.0	0.197	0.25	0.5	0.268	0.5	0.0	45.2	46.2	96.4	-5.0	45.9	13.1	14.7	2.9	0.428	0.428	0.148	0.166	0.033	0.496	0.447	0.092	0.479	0.445	0.15
12	5	NRS18	0.471	0.5	0.0	0.197	0.25	0.5	0.268	0.5	0.0	28.4	38.7	96.4	-4.2	38.5	5.0	5.6	0.7	0.44	0.44	0.056	0.063	0.008	0.314	0.282	-0.013	0.31	0.287	0.054
12	5	NRS18	0.471	0.5	0.0	0.197	0.25	0.5	0.268	0.5	0.0	28.4	38.7	96.4	-4.2	38.5	5.0	5.6	0.7	0.44	0.44	0.056	0.063	0.008	0.314	0.282	-0.013	0.31	0.287	0.054
12	2	FRS06	0.454	0.5	0.0	0.197	0.25	0.5	0.268	0.5	0.0	39.4	55.3	96.4	-6.0	55.0	9.6	10.9	0.9	0.448	0.448	0.108	0.123	0.01	0.431	0.39	-0.106	0.419	0.39	-0.067
13	0	ORS18	0.5	0.5	0.5	0.0	0.5	0.0	0.5	0.5	56.7	0.0	0.0	0.0	0.0	23.4	24.6	26.8	0.313	0.313	0.264	0.278	0.303	0.564	0.564	0.564	0.559	0.559	0.559	
13	5	NRS18	0.5	0.5	0.5	0.0	0.5	0.0	0.5	0.5	56.7	0.0	0.0	0.0	0.0	23.4	24.6	26.8	0.313	0.313	0.264	0.278	0.303	0.564	0.564	0.564	0.559	0.559	0.559	
13	5	NRS18	0.5	0.5	0.5	0.0	0.5	0.0	0.5	0.5	56.7	0.0	0.0	0.0	0.0	23.4	24.6	26.8	0.313	0.313	0.264	0.278	0.303	0.564	0.564	0.564	0.559	0.559	0.559	
13	2	FRS06	0.5	0.5	0.5	0.0	0.5	0.0	0.5	0.5	49.1	0.0	0.0	0.0	0.0	16.8	17.7	19.3	0.313	0.313	0.19	0.2	0.217	0.484	0.484	0.484	0.481	0.481	0.481	
14	0	ORS18	0.5	0.5	1.0	0.778	0.75	0.5	0.847	0.0	0.5	60.6	27.1	305.0	15.5	-22.1	31.4	28.8	49.9	0.285	0.285	0.354	0.325	0.563	0.641	0.574	0.767	0.617	0.569	0.755
14	5	NRS18	0.792	0.5	1.0	0.778	0.75	0.5	0.847	0.0	0.5	76.1	38.7	305.0	22.2	-31.6	55.9	50.0	94.0	0.28	0.28	0.631	0.564	1.061	0.827	0.729	1.018	0.795	0.723	1.008
14	5	NRS18	0.792	0.5	1.0	0.778	0.75	0.5	0.847	0.0	0.5	76.1	38.7	305.0	22.2	-31.6	55.9	50.0	94.0	0.28	0.28	0.631	0.564	1.061	0.827	0.729	1.018	0.795	0.723	1.008
14	2	FRS06	0.5	0.544	1.0	0.778	0.75	0.5	0.847	0.0	0.5	52.7	39.4	305.0	22.6	-32.2	24.7	20.8	46.7	0.268	0.268	0.278	0.235	0.527	0.564	0.476	0.751	0.536	0.473	0.737
15	0	ORS18	0.5	1.0	0.0	0.275	0.5	1.0	0.343	0.0	0.0	70.6	82.1	123.6	-45.4	68.4	26.8	41.7	7.2	0.354	0.354	0.303	0.47	0.082	0.503	0.793	0.081	0.599	0.788	0.207
15	5	NRS18	0.552	1.0	0.0	0.275	0.5	1.0	0.343	0.0	0.0	56.7	77.4	123.6	-42.8	64.4	15.1	24.6	3.1	0.352	0.352	0.17	0.278	0.035	0.359	0.633	-0.135	0.456	0.627	0.087
15	5	NRS18	0.552	1.0	0.0	0.275	0.5	1.0	0.343	0.0	0.0	56.7	77.4	123.6	-42.8	64.4	15.1	24.6	3.1	0.352	0.352	0.17	0.278	0.035	0.359	0.633	-0.135	0.456	0.627	0.087
15	2	FRS06	0.382	1.0	0.0	0.275	0.5	1.0	0.343	0.0	0.0	56.0	91.1	123.6	-50.4	75.8	13.3	23.9	1.5	0.344	0.344	0.15	0.269	0.017	0.281	0.635	-0.366	0.42	0.629	-0.135
16	0	ORS18	0.5	1.0	0.5	0.35	0.75	0.5	0.419	0.0	0.5	73.2	36.0	150.9	-31.3	17.5	33.4	45.4	34.4	0.295	0.295	0.377	0.512	0.389	0.528	0.805	0.607	0.618	0.8	0.611
16	5	NRS18	0.581	1.0	0.5	0.35	0.75	0.5	0.419	0.0	0.5	76.1	38.7	150.9	-33.7	18.8	36.4	50.0	37.3	0.294	0.294	0.411	0.564	0.421	0.54	0.842	0.628	0.64	0.838	0.633
16	5	NRS18	0.581	1.0	0.5	0.35	0.75	0.5	0.419	0.0	0.5	76.1	38.7	150.9	-33.7	18.8	36.4	50.0	37.3	0.294	0.294	0.411	0.564	0.421	0.54	0.842	0.628	0.64	0.838	0.633
16	2	FRS06	0.5	1.0	0.542	0.35	0.75	0.5	0.419	0.0	0.5	66.1	37.1	150.9	-32.3	18.0	25.2	35.4	25.6	0.292	0.292	0.285	0.4	0.289	0.442	0.726	0.527	0.538	0.72	0.532
17	0	ORS18	0.5	1.0	1.0	0.586	0.75	0.5	0.656	0.0	0.5	77.0	27.1	236.0	-15.1	-22.4	43.6	51.6	83.3	0.245	0.245	0.493	0.582	0.94	0.52	0.829	0.956	0.623	0.824	0.949
17	5	NRS18	0.826	1.0	0.586	0.75	0.5	0.656	0.0	0.5	76.1	38.7	236.0	-21.5	-32.0	40.2	50.0	94.6	0.217	0.217	0.453	0.564	1.067	0.292	0.834	1.017	0.521	0.83	1.01	
17	5	NRS18	0.826	1.0	0.586	0.75	0.5	0.656	0.0	0.5	76.1	38.7	236.0	-21.5	-32.0	40.2	50.0	94.6	0.217	0.217	0.453	0.564	1.067	0.292	0.834	1.017	0.521	0.83	1.01	
17	2	FRS06	0.5	0.975	1.0	0.586	0.75	0.5	0.656	0.0	0.5	69.0	22.7	236.0	-12.6	-18.7	33.6	39.3	61.5	0.25	0.25	0.379	0.443	0.694	0.485	0.731	0.835	0.564	0.725	0.826





%Umfang

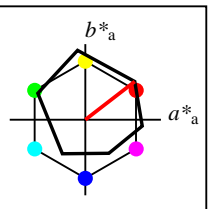
$u^*_{rel} = 94$

%Regularität

$g^*_{H,rel} = 58$

$g^*_{C,rel} = 54$

ORS18					
	$L^*=L^*_a$	a^*_{a}	b^*_{a}	$C^*_{ab,a}$	$h^*_{ab,a}$
O _M	47.94	65.31	52.07	83.53	39
Y _M	90.37	-11.15	96.17	96.82	97
L _M	50.9	-62.96	36.71	72.89	150
C _M	58.62	-30.62	-42.74	52.59	234
V _M	25.72	31.45	-44.35	54.38	305
M _M	48.13	75.2	-6.79	75.51	355
N _M	18.01	0.5	-0.46	0.69	317
W _M	95.41	-0.98	4.76	4.86	102
R _{CIE}	39.92	58.74	27.99	65.07	25
J _{CIE}	81.26	-2.88	71.56	71.62	92
G _{CIE}	52.23	-42.41	13.6	44.55	162
B _{CIE}	30.57	1.41	-46.46	46.49	272



%Umfang

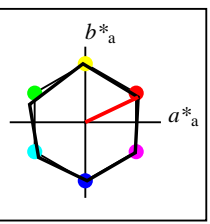
$u^*_{rel} = 93$

%Regularität

$g^*_{H,rel} = 57$

$g^*_{C,rel} = 59$

ORS18a; adaptierte CIELAB-Daten					
	$L^*=L^*_a$	a^*_{a}	b^*_{a}	$C^*_{ab,a}$	$h^*_{ab,a}$
O _{Ma}	47.94	65.39	50.52	82.63	38
Y _{Ma}	90.37	-10.26	91.75	92.32	96
L _{Ma}	50.9	-62.83	34.96	71.91	151
C _{Ma}	58.62	-30.34	-45.01	54.3	236
V _{Ma}	25.72	31.1	-44.4	54.22	305
M _{Ma}	48.13	75.28	-8.36	75.74	354
N _{Ma}	18.01	0.0	0.0	0.0	0
W _{Ma}	95.41	0.0	0.0	0.0	0
R _{CIE}	39.92	58.66	26.98	64.57	25
J _{CIE}	81.26	-2.16	67.76	67.79	92
G _{CIE}	52.23	-42.25	11.76	43.87	164
B _{CIE}	30.57	1.15	-46.84	46.86	271



%Umfang

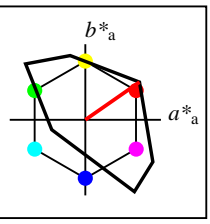
$u^*_{rel} = 100$

%Regularität

$g^*_{H,rel} = 78$

$g^*_{C,rel} = 100$

NRS18a; adaptierte CIELAB-Daten					
	$L^*=L^*_a$	a^*_{a}	b^*_{a}	$C^*_{ab,a}$	$h^*_{ab,a}$
O _{Ma}	56.71	69.87	33.29	77.4	25
Y _{Ma}	56.71	-3.1	77.34	77.4	92
L _{Ma}	56.71	-73.68	23.63	77.39	162
C _{Ma}	56.71	-61.81	-46.54	77.39	217
V _{Ma}	56.71	2.35	-77.34	77.39	272
M _{Ma}	56.71	66.07	-40.3	77.4	329
N _{Ma}	18.01	0.0	0.0	0.0	0
W _{Ma}	95.41	0.0	0.0	0.0	0
R _{CIE}	39.92	58.74	27.99	65.07	25
J _{CIE}	81.26	-2.88	71.56	71.62	92
G _{CIE}	52.23	-42.41	13.6	44.55	162
B _{CIE}	30.57	1.41	-46.46	46.49	272



%Umfang

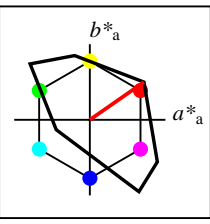
$u^*_{rel} = 118$

%Regularität

$g^*_{H,rel} = 22$

$g^*_{C,rel} = 40$

TLS18a; adaptierte CIELAB-Daten					
	$L^*=L^*_a$	a^*_{a}	b^*_{a}	$C^*_{ab,a}$	$h^*_{ab,a}$
O _{Ma}	52.76	71.63	49.88	87.29	35
Y _{Ma}	92.74	-20.02	84.97	87.3	103
L _{Ma}	84.0	-78.98	73.94	108.2	137
C _{Ma}	87.14	-44.41	-13.11	46.32	196
V _{Ma}	35.47	64.92	-95.06	115.12	304
M _{Ma}	59.01	89.33	-55.67	105.26	328
N _{Ma}	18.01	0.0	0.0	0.0	0
W _{Ma}	95.41	0.0	0.0	0.0	0
R _{CIE}	39.92	58.74	27.99	65.07	25
J _{CIE}	81.26	-2.88	71.56	71.62	92
G _{CIE}	52.23	-42.41	13.6	44.55	162
B _{CIE}	30.57	1.41	-46.46	46.49	272



%Umfang

$u^*_{rel} = 118$

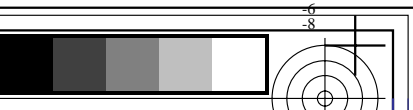
%Regularität

$g^*_{H,rel} = 22$

$g^*_{C,rel} = 40$

TLS18					
	$L^*=L^*_a$	a^*_{a}	b^*_{a}	$C^*_{ab,a}$	$h^*_{ab,a}$
O _M	52.76	71.63	49.88	87.29	35
Y _M	92.74	-20.02	84.97	87.3	103
L _M	84.0	-78.98	73.94	108.2	137
C _M	87.14	-44.41	-13.11	46.32	196
V _M	35.47	64.92	-95.06	115.12	304
M _M	59.01	89.33	-55.67	105.26	328
N _M	18.01	0.0	0.0	0.0	0
W _M	95.41	0.0	0.0	0.0	0
R _{CIE}	39.92	58.74	27.99	65.07	25
J _{CIE}	81.26	-2.88	71.56	71.62	92
G _{CIE}	52.23	-42.41	13.6	44.55	162
B _{CIE}	30.57	1.41	-46.46	46.49	272

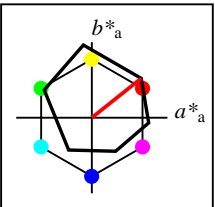
C		M		Y		O		L		V		W		L		O		Y		M		C								
6	8	6	8	6	8	6	8	6	8	6	8	6	8	6	8	6	8	6	8	6	8									
www.ps.bam.de/YG50/10L/L50G00FP.PS/.PDF; Linearisierte-Ausgabe		F: Ausgabe-Linearisierung (OL-Daten) YG50/10L/L50G00FP.DAT in der Datei (F)																												
Daten der 3x3x3 Farben im Farbmatrik-System ORS18 für Eingabe; Sechs Buntonwinkel des Farbgerätes: (21.9, 107.3, 142.3, 197.9, 293.9, 326.1); Vier Buntonwinkel der Elementarfarben: (25.5, 92.3, 162.2, 271.7)		BAM-Registrierung: 20061101-YG50/10L/L50G00FP.PS/.PDF BAM-Material: Code=rha4ta Anwendung für Beurteilung und Messung von Drucker- oder Monitorsystemen																												
Daten der 3x3x3 Farben im Farbmatrik-System TLS18 für Ausgabe; Sechs Buntonwinkel des Farbgerätes: (21.9, 107.3, 142.3, 197.9, 293.9, 326.1); Vier Buntonwinkel der Elementarfarben: (25.5, 92.3, 162.2, 271.7)		Anwendung für Beurteilung und Messung von Drucker- oder Monitorsystemen																												
<i>n</i>	<i>ein System</i>	<i>o₃</i>	<i>l₃</i>	<i>v₃</i>	<i>e*</i>	<i>t*</i>	<i>c*</i>	<i>h*</i>	<i>n*</i>	<i>w*</i>	<i>LCH*</i> CIE	<i>a*b*CIE</i>	<i>XYZ</i> CIE	<i>xy</i> CIE	<i>XYZ</i> RGB	<i>RGB's</i> RGB	<i>RGB'Adobe</i> RGB													
<i>n</i>	<i>CS System</i>	<i>o₃</i>	<i>l₃</i>	<i>v₃</i>	<i>e*</i>	<i>t*</i>	<i>c*</i>	<i>h*</i>	<i>n*</i>	<i>w*</i>	<i>LCH*</i> CIE	<i>a*b*CIE</i>	<i>XYZ</i> CIE	<i>xy</i> CIE	<i>XYZ</i> RGB	<i>RGB's</i> RGB	<i>RGB'Adobe</i> RGB													
<i>n</i>	<i>CS System</i>	<i>o₃</i>	<i>l₃</i>	<i>v₃</i>	<i>e*</i>	<i>t*</i>	<i>c*</i>	<i>h*</i>	<i>n*</i>	<i>w*</i>	<i>LCH*</i> CIE	<i>a*b*CIE</i>	<i>XYZ</i> CIE	<i>xy</i> CIE	<i>XYZ</i> RGB	<i>RGB's</i> RGB	<i>RGB'Adobe</i> RGB													
<i>n</i>	<i>ein System</i>	<i>o₃</i>	<i>l₃</i>	<i>v₃</i>	<i>e*</i>	<i>t*</i>	<i>c*</i>	<i>h*</i>	<i>n*</i>	<i>w*</i>	<i>LCH*</i> CIE	<i>a*b*CIE</i>	<i>XYZ</i> CIE	<i>xy</i> CIE	<i>XYZ</i> RGB	<i>RGB's</i> RGB	<i>RGB'Adobe</i> RGB													
0	0	ORS18	0.0	0.0	0.0	0.0	0.0	1.0	0.0	18.0	0.0	0.0	0.0	2.4	2.5	2.7	0.313	0.313	0.027	0.028	0.031	0.184	0.184	0.184	0.198	0.198	0.198			
0	5	NRS18	0.0	0.0	0.0	0.0	0.0	1.0	0.0	18.0	0.0	0.0	0.0	2.4	2.5	2.7	0.313	0.313	0.027	0.028	0.031	0.184	0.184	0.184	0.198	0.198	0.198			
0	5	NRS18	0.0	0.0	0.0	0.0	0.0	1.0	0.0	18.0	0.0	0.0	0.0	2.4	2.5	2.7	0.313	0.313	0.027	0.028	0.031	0.184	0.184	0.184	0.198	0.198	0.198			
0	3	TLS18	0.0	0.0	0.0	0.0	0.0	1.0	0.0	18.0	0.0	0.0	0.0	2.4	2.5	2.7	0.313	0.313	0.027	0.028	0.031	0.184	0.184	0.184	0.198	0.198	0.198			
1	0	ORS18	0.0	0.0	0.5	0.778	0.25	0.5	0.847	0.5	0.0	12.9	27.1	305.0	15.5	-22.1	2.1	1.5	5.1	0.24	0.24	0.024	0.017	0.057	0.156	0.113	0.268	0.163	0.135	0.27
1	5	NRS18	0.292	0.0	0.5	0.778	0.25	0.5	0.847	0.5	0.0	28.4	38.7	305.0	22.2	-31.6	7.4	5.6	17.2	0.245	0.245	0.083	0.063	0.194	0.306	0.237	0.482	0.294	0.246	0.471
1	5	NRS18	0.292	0.0	0.5	0.778	0.25	0.5	0.847	0.5	0.0	28.4	38.7	305.0	22.2	-31.6	7.4	5.6	17.2	0.245	0.245	0.083	0.063	0.194	0.306	0.237	0.482	0.294	0.246	0.471
1	3	TLS18	0.014	0.0	0.5	0.778	0.25	0.5	0.847	0.5	0.0	18.1	57.4	305.0	32.9	-46.9	4.4	2.5	16.1	0.192	0.192	0.05	0.029	0.182	0.179	0.117	0.472	0.18	0.138	0.461
2	0	ORS18	0.0	0.0	1.0	0.778	0.5	1.0	0.847	0.0	0.0	25.7	54.2	305.0	31.1	-44.3	7.1	4.7	21.4	0.215	0.215	0.081	0.053	0.242	0.271	0.192	0.537	0.259	0.205	0.523
2	5	NRS18	0.585	0.0	1.0	0.778	0.5	1.0	0.847	0.0	0.0	56.7	77.4	305.0	44.4	-63.3	34.8	24.6	91.5	0.231	0.231	0.393	0.278	1.033	0.611	0.466	1.025	0.569	0.462	1.01
2	5	NRS18	0.585	0.0	1.0	0.778	0.5	1.0	0.847	0.0	0.0	56.7	77.4	305.0	44.4	-63.3	34.8	24.6	91.5	0.231	0.231	0.393	0.278	1.033	0.611	0.466	1.025	0.569	0.462	1.01
2	3	TLS18	0.028	0.0	1.0	0.778	0.5	1.0	0.847	0.0	0.0	36.1	114.8	305.0	65.9	-94.0	18.7	9.1	84.7	0.166	0.166	0.211	0.102	0.957	0.243	0.183	1.001	0.238	0.196	0.982
3	0	ORS18	0.0	0.5	0.0	0.35	0.25	0.5	0.419	0.5	0.0	25.5	36.0	150.9	-31.3	17.5	2.4	4.6	2.1	0.266	0.266	0.027	0.051	0.024	-0.03	0.296	0.136	0.163	0.3	0.164
3	5	NRS18	0.081	0.5	0.0	0.35	0.25	0.5	0.419	0.5	0.0	28.4	38.7	150.9	-33.7	18.8	3.0	5.6	2.6	0.265	0.265	0.033	0.063	0.029	-0.041	0.327	0.152	0.178	0.33	0.18
3	5	NRS18	0.081	0.5	0.0	0.35	0.25	0.5	0.419	0.5	0.0	28.4	38.7	150.9	-33.7	18.8	3.0	5.6	2.6	0.265	0.265	0.033	0.063	0.029	-0.041	0.327	0.152	0.178	0.33	0.18
3	3	TLS18	0.0	0.5	0.118	0.35	0.25	0.5	0.419	0.5	0.0	42.4	46.8	150.9	-40.8	22.8	7.1	12.7	6.4	0.271	0.271	0.08	0.144	0.073	0.037	0.479	0.252	0.273	0.476	0.273
4	0	ORS18	0.0	0.5	0.5	0.586	0.25	0.5	0.656	0.5	0.0	29.3	27.1	236.0	-15.1	-22.4	4.4	6.0	13.9	0.183	0.183	0.05	0.067	0.157	-0.243	0.321	0.43	0.126	0.324	0.424
4	5	NRS18	0.0	0.326	0.5	0.586	0.25	0.5	0.656	0.5	0.0	28.4	38.7	236.0	-21.5	-32.0	3.7	5.6	17.4	0.139	0.139	0.042	0.063	0.197	-0.767	0.325	0.481	-0.16	0.328	0.473
4	5	NRS18	0.0	0.326	0.5	0.586	0.25	0.5	0.656	0.5	0.0	28.4	38.7	236.0	-21.5	-32.0	3.7	5.6	17.4	0.139	0.139	0.042	0.063	0.197	-0.767	0.325	0.481	-0.16	0.328	0.473
4	3	TLS18	0.0	0.317	0.5	0.586	0.25	0.5	0.656	0.5	0.0	34.1	35.8	236.0	-19.9	-29.6	5.7	8.1	21.3	0.163	0.163	0.065	0.091	0.24	-0.648	0.378	0.526	-0.062	0.378	0.516
5	0	ORS18	0.0	0.5	1.0	0.683	0.5	1.0	0.751	0.0	0.0	42.2	54.3	270.5	0.5	-54.2	12.1	12.6	50.2	0.161	0.161	0.136	0.142	0.567	-0.782	0.435	0.785	0.057	0.433	0.769
5	5	NRS18	0.0	0.022	1.0	0.683	0.5	1.0	0.751	0.0	0.0	56.7	77.4	270.5	0.7	-77.3	23.6	24.6	113.4	0.146	0.146	0.266	0.278	1.28	-2.633	0.599	1.126	-0.268	0.593	1.115
5	5	NRS18	0.0	0.022	1.0	0.683	0.5	1.0	0.751	0.0	0.0	56.7	77.4	270.5	0.7	-77.3	23.6	24.6	113.4	0.146	0.146	0.266	0.278	1.28	-2.633	0.599	1.126	-0.268	0.593	1.115
5	3	TLS18	0.0	0.314	1.0	0.683	0.5	1.0	0.751	0.0	0.0	51.7	93.6	270.5	0.8	-93.4	19.0	19.9	126.5	0.115	0.115	0.215	0.224	1.427	-4.65	0.558	1.185	-0.458	0.553	1.175
6	0	ORS18	0.0	1.0	0.0	0.35	0.5	1.0	0.419	0.0	0.0	50.9	71.9	150.9	-62.7	35.0	8.7	19.2	7.1	0.249	0.249	0.098	0.217	0.08	-0.691	0.596	0.237	0.259	0.591	0.271
6	5	NRS18	0.162	1.0	0.0	0.35	0.5	1.0	0.419	0.0	0.0	56.7	77.4	150.9	-67.5	37.6	11.3	24.6	9.2	0.25	0.25	0.127	0.278	0.104	-0.853	0.667	0.272	0.293	0.661	0.306
6	5	NRS18	0.162	1.0	0.0	0.35	0.5	1.0	0.419	0.0	0.0	56.7	77.4	150.9	-67.5	37.6	11.3	24.6	9.2	0.25	0.25	0.127	0.278	0.104	-0.853	0.667	0.272	0.293	0.661	0.306
6	3	TLS18	0.0	1.0	0.235	0.35	0.5	1.0	0.419	0.0	0.0	84.7	93.6	150.9	-81.7	45.5	33.3	65.5	28.7	0.261	0.261	0.376	0.739	0.323	-1.039	1.016	0.498	0.52	1.016	0.528
7	0	ORS18	0.0	1.0	0.5	0.467	0.5	1.0	0.537	0.0	0.0	54.8	63.1	193.5	-61.3	-14.6	11.0	22.7	34.8	0.161	0.161	0.124	0.256	0.392	-2.419	0.647	0.642	-0.191	0.641	0.636
7	5	NRS18	0.0	1.0	0.571	0.467	0.5	1.0	0.537	0.0	0.0	56.7	77.4	193.5	-75.2	-17.9	10.3	24.6	40.1	0.137	0.137	0.116	0.278	0.453	-3.584	0.686	0.686	-0.31	0.68	0.68
7	5	NRS18	0.0	1.0	0.571	0.467	0.5	1.0	0.537	0.0	0.0	56.7	77.4	193.5	-75.2	-17.9	10.3	24.6	40.1	0.137	0.137	0.116	0.278	0.453	-3.584	0.686	0.686	-0.31	0.68	0.68
7	3	TLS18	0.0	1.0	0.95	0.467	0.5	1.0	0.537	0.0	0.0	87.0	49.4	193.5	-48.0	-11.4	47.2	70.0	92.0	0.225	0.225	0.532	0.79	1.038	-0.088	1.004	0.985	0.563	1.004	0.985
8	0	ORS18	0.0	1.0	1.0	0.586	0.5	1.0	0.656	0.0	0.0	58.6	54.3	236.0	-30.2	-44.9	18.8	26												



Daten der 3x3x3 Farben im Farbmietrik-System ORS18 für Eingabe; Sechs Bunttonwinkel des Farbgerätes: (21,9, 107,3, 142,3, 197,9, 293,9, 326,1); Vier Bunttonwinkel der Elementarfarben: (25,5, 92,3, 162,2, 271,7)
Daten der 3x3x3 Farben im Farbmietrik-System TLS18 für Ausgabe; Sechs Bunttonwinkel des Farbgerätes: (21,9, 107,3, 142,3, 197,9, 293,9, 326,1); Vier Bunttonwinkel der Elementarfarben: (25,5, 92,3, 162,2, 271,7)

Daten der 3x3x3 Farben im Farbmatrik-System ORS18 für Eingabe; Sechs Buntonwinkel des Farbgerätes: (21.9, 107.3, 142.3, 197.9, 293.9, 326.1); Vier Buntonwinkel der Elementarfarben: (25.5, 92.3, 162.2, 271.7)
 Daten der 3x3x3 Farben im Farbmatrik-System TLS18 für Ausgabe; Sechs Buntonwinkel des Farbgerätes: (21.9, 107.3, 142.3, 197.9, 293.9, 326.1); Vier Buntonwinkel der Elementarfarben: (25.5, 92.3, 162.2, 271.7)

<i>n</i>	<i>ein System</i>	<i>o₃</i>	<i>I₃</i>	<i>v₃</i>	<i>e*</i>	<i>t*</i>	<i>c*</i>	<i>h*</i>	<i>n*</i>	<i>w*</i>	<i>LCH[*]CIE</i>	<i>a[*]b[*]CIE</i>	<i>XYZCIE</i>	<i>xyCIE</i>	<i>XYZRGB</i>	<i>RGB'sRGB</i>	<i>RGB'AdobeRGB</i>														
<i>n</i>	<i>CS System</i>	<i>o₃</i>	<i>I₃</i>	<i>v₃</i>	<i>e*</i>	<i>t*</i>	<i>c*</i>	<i>h*</i>	<i>n*</i>	<i>w*</i>	<i>LCH[*]CIE</i>	<i>a[*]b[*]CIE</i>	<i>XYZCIE</i>	<i>xyCIE</i>	<i>XYZRGB</i>	<i>RGB'sRGB</i>	<i>RGB'AdobeRGB</i>														
<i>n</i>	<i>CS System</i>	<i>o₃</i>	<i>I₃</i>	<i>v₃</i>	<i>e*</i>	<i>t*</i>	<i>c*</i>	<i>h*</i>	<i>n*</i>	<i>w*</i>	<i>LCH[*]CIE</i>	<i>a[*]b[*]CIE</i>	<i>XYZCIE</i>	<i>xyCIE</i>	<i>XYZRGB</i>	<i>RGB'sRGB</i>	<i>RGB'AdobeRGB</i>														
<i>n</i>	<i>ein System</i>	<i>o₃</i>	<i>I₃</i>	<i>v₃</i>	<i>e*</i>	<i>t*</i>	<i>c*</i>	<i>h*</i>	<i>n*</i>	<i>w*</i>	<i>LCH[*]CIE</i>	<i>a[*]b[*]CIE</i>	<i>XYZCIE</i>	<i>xyCIE</i>	<i>XYZRGB</i>	<i>RGB'sRGB</i>	<i>RGB'AdobeRGB</i>														
18	0	ORS18	1.0	0.0	0.0	0.036	0.5	1.0	0.105	0.0	0.0	47.9	82.6	37.7	65.4	50.5	30.1	16.7	2.9	0.605	0.605	0.34	0.189	0.033	0.904	0.177	0.128	0.779	0.191	0.15	
18	5	NRS18	1.0	0.183	0.0	0.036	0.5	1.0	0.105	0.0	0.0	56.7	77.4	37.7	61.2	47.3	40.0	24.6	6.5	0.563	0.563	0.451	0.278	0.073	1.0	0.327	0.236	0.872	0.329	0.25	
18	5	NRS18	1.0	0.183	0.0	0.036	0.5	1.0	0.105	0.0	0.0	56.7	77.4	37.7	61.2	47.3	40.0	24.6	6.5	0.563	0.563	0.451	0.278	0.073	1.0	0.327	0.236	0.872	0.329	0.25	
18	3	TLS18	1.0	0.041	0.0	0.036	0.5	1.0	0.105	0.0	0.0	54.4	87.3	37.7	69.1	53.4	39.3	22.4	4.3	0.596	0.596	0.444	0.252	0.048	1.012	0.236	0.17	0.876	0.245	0.188	
19	0	ORS18	1.0	0.0	0.5	0.975	0.5	1.0	0.044	0.0	0.0	48.0	79.2	15.7	76.2	21.4	33.2	16.8	9.6	0.557	0.557	0.375	0.19	0.108	0.94	-0.034	0.344	0.805	-0.069	0.339	
19	5	NRS18	1.0	0.0	0.172	0.975	0.5	1.0	0.044	0.0	0.0	56.7	77.4	15.7	74.5	20.9	44.4	24.6	15.5	0.525	0.525	0.501	0.278	0.175	1.046	0.23	0.432	0.906	0.239	0.424	
19	5	NRS18	1.0	0.0	0.172	0.975	0.5	1.0	0.044	0.0	0.0	56.7	77.4	15.7	74.5	20.9	44.4	24.6	15.5	0.525	0.525	0.501	0.278	0.175	1.046	0.23	0.432	0.906	0.239	0.424	
19	3	TLS18	1.0	0.0	0.287	0.975	0.5	1.0	0.044	0.0	0.0	54.6	92.4	15.7	89.0	25.0	46.2	22.5	12.3	0.57	0.57	0.521	0.254	0.139	1.095	-0.295	0.387	0.94	-0.18	0.378	
20	0	ORS18	1.0	0.0	1.0	0.914	0.5	1.0	0.982	0.0	0.0	48.1	75.7	353.7	75.3	-8.3	33.1	16.9	22.9	0.454	0.454	0.373	0.191	0.258	0.9	0.077	0.542	0.772	0.102	0.527	
20	5	NRS18	1.0	0.0	0.56	0.914	0.5	1.0	0.982	0.0	0.0	56.7	77.4	353.7	76.9	-8.4	45.2	24.6	32.7	0.441	0.441	0.51	0.278	0.369	1.019	0.228	0.636	0.882	0.237	0.619	
20	5	NRS18	1.0	0.0	0.56	0.914	0.5	1.0	0.982	0.0	0.0	56.7	77.4	353.7	76.9	-8.4	45.2	24.6	32.7	0.441	0.441	0.51	0.278	0.369	1.019	0.228	0.636	0.882	0.237	0.619	
20	3	TLS18	1.0	0.0	0.617	0.914	0.5	1.0	0.982	0.0	0.0	56.6	98.4	353.7	97.8	-10.8	52.7	24.5	34.3	0.473	0.473	0.595	0.277	0.387	1.125	-0.525	0.654	0.965	-0.233	0.635	
21	0	ORS18	1.0	0.5	0.0	0.117	0.5	1.0	0.186	0.0	0.0	69.2	87.5	67.0	34.1	80.5	49.1	39.6	4.0	0.53	0.53	0.554	0.446	0.045	1.037	0.586	-0.166	0.935	0.581	0.003	
21	5	NRS18	1.0	0.622	0.0	0.117	0.5	1.0	0.186	0.0	0.0	56.7	77.4	67.0	30.2	71.3	30.8	24.6	2.2	0.535	0.535	0.348	0.278	0.024	0.848	0.467	-0.149	0.759	0.464	-0.076	
21	5	NRS18	1.0	0.622	0.0	0.117	0.5	1.0	0.186	0.0	0.0	56.7	77.4	67.0	30.2	71.3	30.8	24.6	2.2	0.535	0.535	0.348	0.278	0.024	0.848	0.467	-0.149	0.759	0.464	-0.076	
21	3	TLS18	1.0	0.47	0.0	0.117	0.5	1.0	0.186	0.0	0.0	71.6	87.3	67.0	34.1	80.4	53.0	43.0	4.8	0.526	0.526	0.598	0.486	0.054	1.069	0.613	-0.11	0.967	0.607	0.094	
22	0	ORS18	1.0	0.5	0.5	0.036	0.75	0.5	0.105	0.0	0.5	71.7	41.3	37.7	32.7	25.3	52.6	43.2	27.2	0.428	0.428	0.594	0.487	0.307	1.01	0.627	0.545	0.92	0.621	0.543	
22	5	NRS18	1.0	0.591	0.5	0.036	0.75	0.5	0.105	0.0	0.5	76.1	38.7	37.7	30.6	23.7	59.4	50.0	33.5	0.416	0.416	0.67	0.564	0.379	1.049	0.683	0.603	0.962	0.677	0.601	
22	5	NRS18	1.0	0.591	0.5	0.036	0.75	0.5	0.105	0.0	0.5	76.1	38.7	37.7	30.6	23.7	59.4	50.0	33.5	0.416	0.416	0.67	0.564	0.379	1.049	0.683	0.603	0.962	0.677	0.601	
22	3	TLS18	1.0	0.521	0.5	0.036	0.75	0.5	0.105	0.0	0.5	74.9	43.6	37.7	34.5	26.7	59.0	48.1	30.0	0.43	0.43	0.665	0.543	0.338	1.064	0.657	0.569	0.97	0.651	0.568	
23	0	ORS18	1.0	0.5	1.0	0.914	0.75	0.5	0.982	0.0	0.5	71.8	37.9	353.7	37.6	-4.1	54.7	43.3	51.2	0.367	0.367	0.618	0.489	0.578	0.983	0.62	0.765	0.896	0.614	0.754	
23	5	NRS18	1.0	0.5	0.78	0.914	0.75	0.5	0.982	0.0	0.5	76.1	38.7	353.7	38.5	-4.2	62.7	50.0	59.0	0.365	0.365	0.708	0.564	0.665	1.04	0.665	0.814	0.952	0.659	0.804	
23	5	NRS18	1.0	0.5	0.78	0.914	0.75	0.5	0.982	0.0	0.5	76.1	38.7	353.7	38.5	-4.2	62.7	50.0	59.0	0.365	0.365	0.708	0.564	0.665	1.04	0.665	0.814	0.952	0.659	0.804	
23	3	TLS18	1.0	0.5	0.808	0.914	0.75	0.5	0.982	0.0	0.5	76.0	49.2	353.7	48.9	-5.3	67.2	49.9	60.1	0.379	0.379	0.759	0.563	0.679	1.105	0.626	0.824	0.999	0.62	0.812	
24	0	ORS18	1.0	1.0	0.0	0.197	0.5	1.0	0.268	0.0	0.0	90.4	92.3	96.4	-10.2	91.8	68.5	77.1	10.5	0.439	0.439	0.773	0.87	0.118	1.046	0.949	-0.122	1.02	0.948	0.195	
24	5	NRS18	0.942	1.0	0.0	0.197	0.5	1.0	0.268	0.0	0.0	56.7	77.4	96.4	-8.5	76.9	21.5	24.6	1.5	0.451	0.451	0.243	0.278	0.017	0.627	0.572	-0.318	0.607	0.567	-0.132	
24	5	NRS18	0.942	1.0	0.0	0.197	0.5	1.0	0.268	0.0	0.0	56.7	77.4	96.4	-8.5	76.9	21.5	24.6	1.5	0.451	0.451	0.243	0.278	0.017	0.627	0.572	-0.318	0.607	0.567	-0.132	
24	3	TLS18	1.0	0.899	0.0	0.197	0.5	1.0	0.268	0.0	0.0	88.7	87.3	96.4	-9.6	86.8	65.5	73.6	11.2	0.436	0.436	0.739	0.83	0.127	1.024	0.929	0.068	0.999	0.927	0.232	
25	0	ORS18	1.0	1.0	0.5	0.197	0.75	0.5	0.268	0.0	0.5	92.9	46.2	96.4	-5.0	45.9	76.1	82.7	38.9	0.385	0.385	0.859	0.934	0.439	1.054	0.972	0.602	1.033	0.971	0.617	
25	5	NRS18	0.971	1.0	0.5	0.197	0.75	0.5	0.268	0.0	0.5	76.1	38.7	96.4	-4.2	38.5	46.0	50.0	23.7	0.384	0.384	0.519	0.564	0.267	0.844	0.778	0.48	0.821	0.772	0.493	
25	5	NRS18	0.971	1.0	0.5	0.197	0.75	0.5	0.268	0.0	0.5	76.1	38.7	96.4	-4.2	38.5	46.0	50.0	23.7	0.384	0.384	0.519	0.564	0.267	0.844	0.778	0.48	0.821	0.772	0.493	
25	3	TLS18	1.0	0.95	0.5	0.197	0.75	0.5	0.268	0.0	0.5	92.1	43.6	96.4	-4.8	43.4	74.5	80.8	39.8	0.382	0.382	0.841	0.913	0.449	1.042	0.962	0.614	1.021	0.961	0.627	
26	0	ORS18	1.0	1.0	0.0	0.1	0.0	0.0	1.0	95.4	0.0	0.0	0.0	0.0	0.0	0.0	0.0	84.2	88.6	96.5	0.313	0.313	0.95	1.0	1.089	1.0	1.0	1.0	1.0	1.0	1.0
26	5	NRS18	1.0	1.0	0.0	0.1	0.0	0.0	0.0	1.0	95.4	0.0	0.0	0.0	0.0	0.0	0.0	0.0	84.2	88.6	96.5	0.313	0.313	0.95	1.0	1.089	1.0	1.0	1.0</		



%Umfang

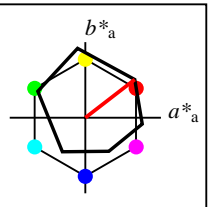
$u^*_{rel} = 94$

%Regularität

$g^*_{H,rel} = 58$

$g^*_{C,rel} = 54$

ORS18					
	$L^*=L^*_a$	a^*_a	b^*_a	$C^*_{ab,a}$	$h^*_{ab,a}$
O _M	47.94	65.31	52.07	83.53	39
Y _M	90.37	-11.15	96.17	96.82	97
L _M	50.9	-62.96	36.71	72.89	150
C _M	58.62	-30.62	-42.74	52.59	234
V _M	25.72	31.45	-44.35	54.38	305
M _M	48.13	75.2	-6.79	75.51	355
N _M	18.01	0.5	-0.46	0.69	317
W _M	95.41	-0.98	4.76	4.86	102
R _{CIE}	39.92	58.74	27.99	65.07	25
J _{CIE}	81.26	-2.88	71.56	71.62	92
G _{CIE}	52.23	-42.41	13.6	44.55	162
B _{CIE}	30.57	1.41	-46.46	46.49	272



%Umfang

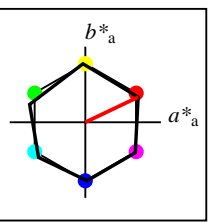
$u^*_{rel} = 93$

%Regularität

$g^*_{H,rel} = 57$

$g^*_{C,rel} = 59$

ORS18a; adaptierte CIELAB-Daten					
	$L^*=L^*_a$	a^*_a	b^*_a	$C^*_{ab,a}$	$h^*_{ab,a}$
O _{Ma}	47.94	65.39	50.52	82.63	38
Y _{Ma}	90.37	-10.26	91.75	92.32	96
L _{Ma}	50.9	-62.83	34.96	71.91	151
C _{Ma}	58.62	-30.34	-45.01	54.3	236
V _{Ma}	25.72	31.1	-44.4	54.22	305
M _{Ma}	48.13	75.28	-8.36	75.74	354
N _{Ma}	18.01	0.0	0.0	0.0	0
W _{Ma}	95.41	0.0	0.0	0.0	0
R _{CIE}	39.92	58.66	26.98	64.57	25
J _{CIE}	81.26	-2.16	67.76	67.79	92
G _{CIE}	52.23	-42.25	11.76	43.87	164
B _{CIE}	30.57	1.15	-46.84	46.86	271



%Umfang

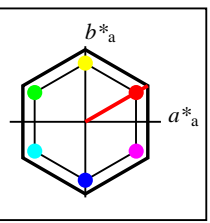
$u^*_{rel} = 100$

%Regularität

$g^*_{H,rel} = 78$

$g^*_{C,rel} = 100$

NRS18a; adaptierte CIELAB-Daten					
	$L^*=L^*_a$	a^*_a	b^*_a	$C^*_{ab,a}$	$h^*_{ab,a}$
O _{Ma}	56.71	69.87	33.29	77.4	25
Y _{Ma}	56.71	-3.1	77.34	77.4	92
L _{Ma}	56.71	-73.68	23.63	77.39	162
C _{Ma}	56.71	-61.81	-46.54	77.39	217
V _{Ma}	56.71	2.35	-77.34	77.39	272
M _{Ma}	56.71	66.07	-40.3	77.4	329
N _{Ma}	18.01	0.0	0.0	0.0	0
W _{Ma}	95.41	0.0	0.0	0.0	0
R _{CIE}	39.92	58.74	27.99	65.07	25
J _{CIE}	81.26	-2.88	71.56	71.62	92
G _{CIE}	52.23	-42.41	13.6	44.55	162
B _{CIE}	30.57	1.41	-46.46	46.49	272



%Umfang

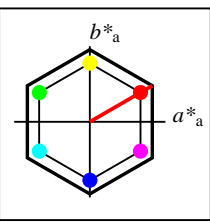
$u^*_{rel} = 152$

%Regularität

$g^*_{H,rel} = 100$

$g^*_{C,rel} = 100$

NLS00a; adaptierte CIELAB-Daten					
	$L^*=L^*_a$	a^*_a	b^*_a	$C^*_{ab,a}$	$h^*_{ab,a}$
O _{Ma}	31.81	82.62	47.7	95.4	30
Y _{Ma}	63.61	0.0	95.4	95.4	90
L _{Ma}	31.81	-82.61	47.7	95.4	150
C _{Ma}	63.61	-82.61	-47.69	95.4	210
V _{Ma}	31.81	0.0	-95.39	95.4	270
M _{Ma}	63.61	82.62	-47.69	95.4	330
N _{Ma}	0.01	0.0	0.0	0.0	0
W _{Ma}	95.41	0.0	0.0	0.0	0
R _{CIE}	39.92	58.74	27.99	65.07	25
J _{CIE}	81.26	-2.88	71.56	71.62	92
G _{CIE}	52.23	-42.41	13.6	44.55	162
B _{CIE}	30.57	1.41	-46.46	46.49	272



%Umfang

$u^*_{rel} = 152$

%Regularität

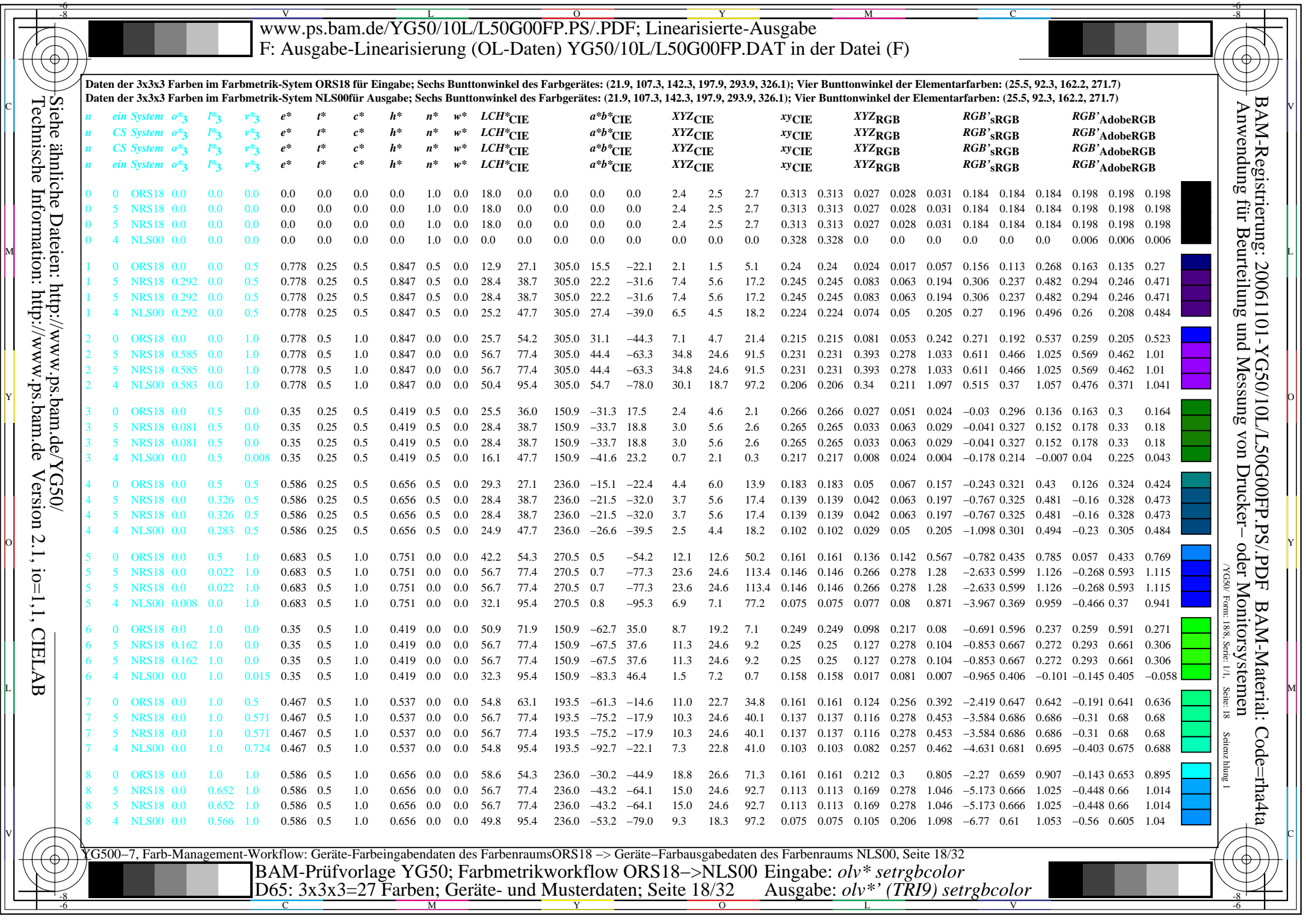
$g^*_{H,rel} = 100$

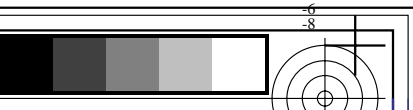
$g^*_{C,rel} = 100$

NLS00					
	$L^*=L^*_a$	a^*_a	b^*_a	$C^*_{ab,a}$	$h^*_{ab,a}$
O _M	31.81	82.62	47.7	95.4	30
Y _M	63.61	0.0	95.4	95.4	90
L _M	31.81	-82.61	47.7	95.4	150
C _M	63.61	-82.61	-47.69	95.4	210
V _M	31.81	0.0	-95.39	95.4	270
M _M	63.61	82.62	-47.69	95.4	330
N _M	0.01	0.0	0.0	0.0	0
W _M	95.41	0.0	0.0	0.0	0
R _{CIE}	39.92	58.74	27.99	65.07	25
J _{CIE}	81.26	-2.88	71.56	71.62	92
G _{CIE}	52.23	-42.41	13.6	44.55	162
B _{CIE}	30.57	1.41	-46.46	46.49	272



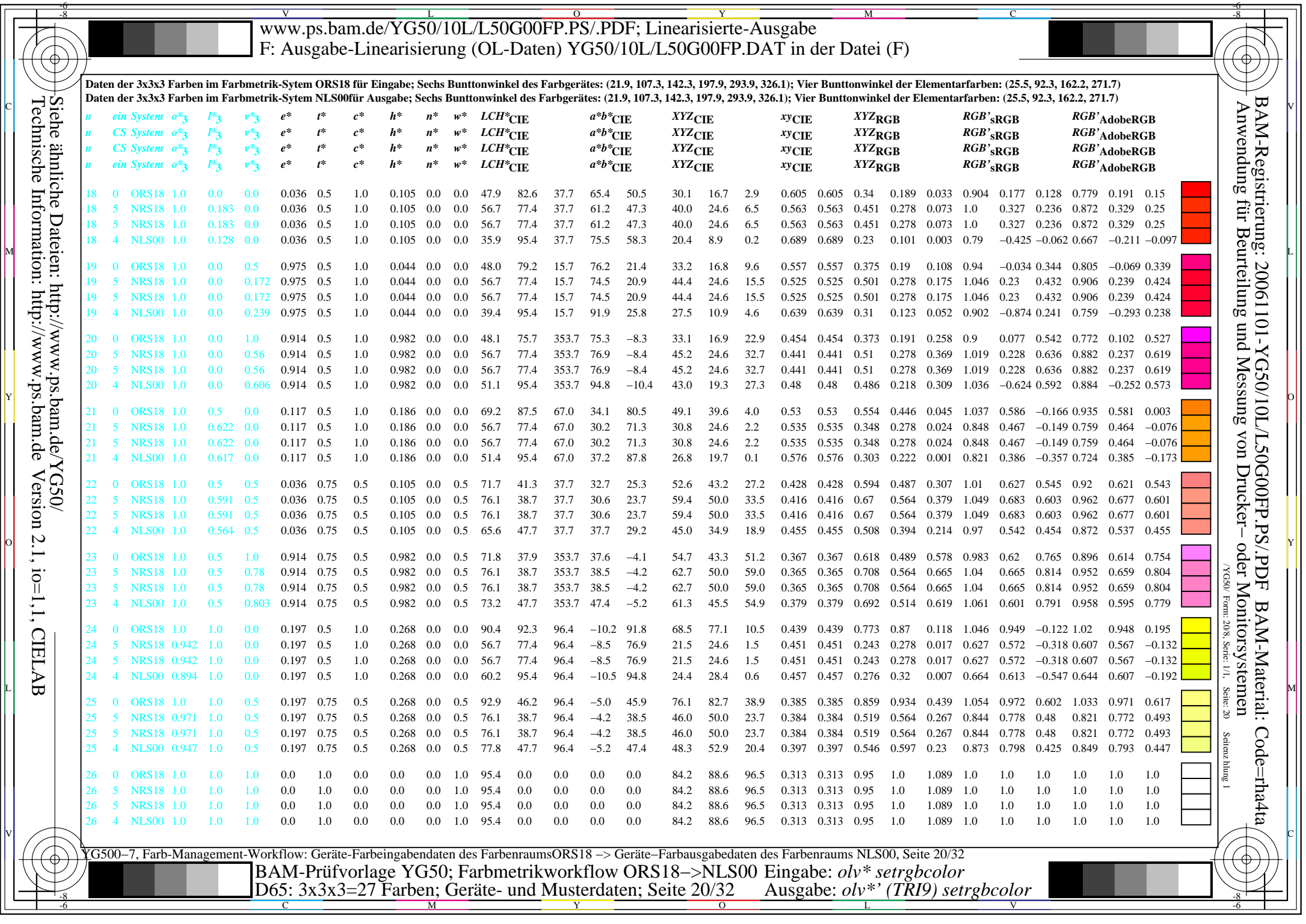
YG500-7, Farb-Management-Workflow: Geräte-Farbeingabedaten des Farbenraums ORS18 → Geräte-Farbausgabedaten des Farbenraums NLS00, Seite 17/32
 BAM-Prüfvorlage YG50; Farbmatrikworkflow ORS18→NLS00 Eingabe: olv* setrgbcolor
 D65: 3x3x3=27 Farben; Geräte- und Musterdaten; Seite 17/32 Ausgabe: olv*' (TRI9) setrgbcolor

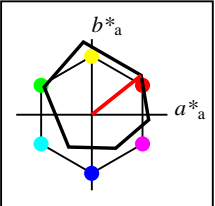




Daten der 3x3x3 Farben im Farbmietrik-System ORS18 für Eingabe; Sechs Bunttonwinkel des Farbgerätes: (21,9, 107,3, 142,3, 197,9, 293,9, 326,1); Vier Bunttonwinkel der Elementarfärbungen: (25,5, 92,3, 162,2, 271,7)
Daten der 3x3x3 Farben im Farbmietrik-System NLS00 für Ausgabe; Sechs Bunttonwinkel des Farbgerätes: (21,9, 107,3, 142,3, 197,9, 293,9, 326,1); Vier Bunttonwinkel der Elementarfärbungen: (25,5, 92,3, 162,2, 271,7)

	<i>ein</i>	<i>System</i>	<i>o</i> ₃	<i>I</i> ₃	<i>v</i> ₃	<i>e</i> *	<i>t</i> *	<i>c</i> *	<i>h</i> *	<i>n</i> *	<i>w</i> *	<i>LCH</i> *CIE	<i>a</i> * <i>b</i> *CIE	<i>XYZ</i> CIE	<i>xy</i> CIE	<i>XYZ</i> RGB	<i>RGB</i> 'sRGB	<i>RGB</i> 'AdobeRGB													
<i>n</i>	<i>CS</i>	<i>System</i>	<i>o</i> ₃	<i>I</i> ₃	<i>v</i> ₃	<i>e</i> *	<i>t</i> *	<i>c</i> *	<i>h</i> *	<i>n</i> *	<i>w</i> *	<i>LCH</i> *CIE	<i>a</i> * <i>b</i> *CIE	<i>XYZ</i> CIE	<i>xy</i> CIE	<i>XYZ</i> RGB	<i>RGB</i> 'sRGB	<i>RGB</i> 'AdobeRGB													
<i>n</i>	<i>CS</i>	<i>System</i>	<i>o</i> ₃	<i>I</i> ₃	<i>v</i> ₃	<i>e</i> *	<i>t</i> *	<i>c</i> *	<i>h</i> *	<i>n</i> *	<i>w</i> *	<i>LCH</i> *CIE	<i>a</i> * <i>b</i> *CIE	<i>XYZ</i> CIE	<i>xy</i> CIE	<i>XYZ</i> RGB	<i>RGB</i> 'sRGB	<i>RGB</i> 'AdobeRGB													
<i>n</i>	<i>ein</i>	<i>System</i>	<i>o</i> ₃	<i>I</i> ₃	<i>v</i> ₃	<i>e</i> *	<i>t</i> *	<i>c</i> *	<i>h</i> *	<i>n</i> *	<i>w</i> *	<i>LCH</i> *CIE	<i>a</i> * <i>b</i> *CIE	<i>XYZ</i> CIE	<i>xy</i> CIE	<i>XYZ</i> RGB	<i>RGB</i> 'sRGB	<i>RGB</i> 'AdobeRGB													
9	0	ORS18	0.5	0.0	0.0	0.036	0.25	0.5	0.105	0.5	0.0	24.0	41.3	37.7	32.7	25.3	6.5	4.1	1.1	0.556	0.556	0.074	0.046	0.013	0.439	0.131	0.088	0.382	0.15	0.114	
9	5	NRS18	0.5	0.091	0.0	0.036	0.25	0.5	0.105	0.5	0.0	28.4	38.7	37.7	30.6	23.7	8.3	5.6	2.0	0.522	0.522	0.094	0.063	0.023	0.479	0.185	0.135	0.419	0.198	0.156	
9	5	NRS18	0.5	0.091	0.0	0.036	0.25	0.5	0.105	0.5	0.0	28.4	38.7	37.7	30.6	23.7	8.3	5.6	2.0	0.522	0.522	0.094	0.063	0.023	0.479	0.185	0.135	0.419	0.198	0.156	
9	4	NLS00	0.5	0.064	0.0	0.036	0.25	0.5	0.105	0.5	0.0	17.9	47.7	37.7	37.7	29.2	4.7	2.5	0.1	0.643	0.643	0.054	0.028	0.001	0.395	0.016	-0.016	0.339	0.048	-0.046	
10	0	ORS18	0.5	0.0	0.5	0.914	0.25	0.5	0.982	0.5	0.0	24.1	37.9	353.7	37.6	-4.1	7.1	4.1	5.4	0.428	0.428	0.08	0.047	0.06	0.433	0.114	0.269	0.375	0.136	0.272	
10	5	NRS18	0.5	0.0	0.28	0.914	0.25	0.5	0.982	0.5	0.0	28.4	38.7	353.7	38.5	-4.2	9.2	5.6	7.2	0.419	0.419	0.104	0.063	0.081	0.484	0.156	0.31	0.42	0.173	0.31	
10	5	NRS18	0.5	0.0	0.28	0.914	0.25	0.5	0.982	0.5	0.0	28.4	38.7	353.7	38.5	-4.2	9.2	5.6	7.2	0.419	0.419	0.104	0.063	0.081	0.484	0.156	0.31	0.42	0.173	0.31	
10	4	NLS00	0.5	0.0	0.303	0.914	0.25	0.5	0.982	0.5	0.0	25.5	47.7	353.7	47.4	-5.2	8.8	4.6	6.2	0.45	0.45	0.1	0.052	0.07	0.494	0.046	0.291	0.422	0.077	0.291	
11	0	ORS18	0.5	0.0	1.0	0.844	0.5	1.0	0.915	0.0	0.0	36.9	65.0	329.3	55.9	-33.0	17.4	9.5	26.2	0.328	0.328	0.197	0.107	0.296	0.605	0.164	0.585	0.522	0.179	0.57	
11	5	NRS18	1.0	0.0	0.987	0.844	0.5	1.0	0.915	0.0	0.0	56.7	77.4	329.3	66.6	-39.4	41.7	24.6	61.0	0.328	0.328	0.471	0.278	0.688	0.884	0.339	0.853	0.773	0.341	0.835	
11	5	NRS18	1.0	0.0	0.987	0.844	0.5	1.0	0.915	0.0	0.0	56.7	77.4	329.3	66.6	-39.4	41.7	24.6	61.0	0.328	0.328	0.471	0.278	0.688	0.884	0.339	0.853	0.773	0.341	0.835	
11	4	NLS00	0.989	0.0	1.0	0.844	0.5	1.0	0.915	0.0	0.0	63.3	95.4	329.3	82.1	-48.6	57.8	31.9	86.6	0.328	0.328	0.653	0.36	0.978	1.032	0.32	0.998	0.899	0.323	0.981	
12	0	ORS18	0.5	0.5	0.0	0.197	0.25	0.5	0.268	0.5	0.0	45.2	46.2	96.4	-5.0	45.9	13.1	14.7	2.9	0.428	0.428	0.148	0.166	0.033	0.496	0.447	0.092	0.479	0.445	0.15	
12	5	NRS18	0.471	0.5	0.0	0.197	0.25	0.5	0.268	0.5	0.0	28.4	38.7	96.4	-4.2	38.5	5.0	5.6	0.7	0.44	0.44	0.056	0.063	0.008	0.314	0.282	-0.013	0.31	0.287	0.054	
12	5	NRS18	0.471	0.5	0.0	0.197	0.25	0.5	0.268	0.5	0.0	28.4	38.7	96.4	-4.2	38.5	5.0	5.6	0.7	0.44	0.44	0.056	0.063	0.008	0.314	0.282	-0.013	0.31	0.287	0.054	
12	4	NLS00	0.447	0.5	0.0	0.197	0.25	0.5	0.268	0.5	0.0	30.1	47.7	96.4	-5.2	47.4	5.5	6.3	0.3	0.455	0.455	0.062	0.071	0.004	0.333	0.299	-0.092	0.327	0.304	-0.08	
13	0	ORS18	0.5	0.5	0.5	0.0	0.5	0.0	0.5	0.5	0.5	56.7	0.0	0.0	0.0	0.0	23.4	24.6	26.8	0.313	0.313	0.264	0.278	0.303	0.564	0.564	0.564	0.559	0.559	0.559	
13	5	NRS18	0.5	0.5	0.5	0.0	0.5	0.0	0.5	0.5	0.5	56.7	0.0	0.0	0.0	0.0	23.4	24.6	26.8	0.313	0.313	0.264	0.278	0.303	0.564	0.564	0.564	0.559	0.559	0.559	
13	5	NRS18	0.5	0.5	0.5	0.0	0.5	0.0	0.5	0.5	0.5	56.7	0.0	0.0	0.0	0.0	23.4	24.6	26.8	0.313	0.313	0.264	0.278	0.303	0.564	0.564	0.564	0.559	0.559	0.559	
13	4	NLS00	0.5	0.5	0.5	0.0	0.5	0.0	0.5	0.5	0.5	47.7	0.0	0.0	0.0	0.0	15.7	16.6	18.0	0.313	0.313	0.178	0.187	0.204	0.47	0.47	0.467	0.467	0.467	0.467	
14	0	ORS18	0.5	0.5	1.0	0.778	0.75	0.5	0.847	0.0	0.5	60.6	27.1	305.0	15.5	-22.1	31.4	28.8	49.9	0.285	0.285	0.354	0.325	0.563	0.641	0.574	0.767	0.617	0.569	0.755	
14	5	NRS18	0.792	0.5	1.0	0.778	0.75	0.5	0.847	0.0	0.5	76.1	38.7	305.0	22.2	-31.6	55.9	50.0	94.0	0.28	0.28	0.631	0.564	1.061	0.827	0.729	1.018	0.795	0.723	1.008	
14	5	NRS18	0.792	0.5	1.0	0.778	0.75	0.5	0.847	0.0	0.5	76.1	38.7	305.0	22.2	-31.6	55.9	50.0	94.0	0.28	0.28	0.631	0.564	1.061	0.827	0.729	1.018	0.795	0.723	1.008	
14	4	NLS00	0.792	0.5	1.0	0.778	0.75	0.5	0.847	0.0	0.5	72.9	47.7	305.0	27.4	-39.0	52.6	45.0	96.8	0.271	0.271	0.594	0.508	1.093	0.797	0.682	1.036	0.761	0.676	1.026	
15	0	ORS18	0.5	1.0	0.0	0.275	0.5	1.0	0.343	0.0	0.0	70.6	82.1	123.6	-45.4	68.4	26.8	41.7	7.2	0.354	0.354	0.303	0.47	0.082	0.503	0.793	0.081	0.599	0.788	0.207	
15	5	NRS18	0.552	1.0	0.0	0.275	0.5	1.0	0.343	0.0	0.0	56.7	77.4	123.6	-42.8	64.4	15.1	24.6	3.1	0.352	0.352	0.17	0.278	0.035	0.359	0.633	-0.135	0.456	0.627	0.087	
15	5	NRS18	0.552	1.0	0.0	0.275	0.5	1.0	0.343	0.0	0.0	56.7	77.4	123.6	-42.8	64.4	15.1	24.6	3.1	0.352	0.352	0.17	0.278	0.035	0.359	0.633	-0.135	0.456	0.627	0.087	
15	4	NLS00	0.439	1.0	0.0	0.275	0.5	1.0	0.343	0.0	0.0	45.8	95.4	123.6	-52.8	79.4	7.4	15.1	0.0	0.329	0.329	0.083	0.17	0.0	0.09	0.526	-0.394	0.306	0.522	-0.166	
16	0	ORS18	0.5	1.0	0.5	0.35	0.75	0.5	0.419	0.0	0.5	73.2	36.0	150.9	-31.3	17.5	33.4	45.4	34.4	0.295	0.295	0.377	0.512	0.389	0.528	0.805	0.607	0.618	0.8	0.611	
16	5	NRS18	0.581	1.0	0.5	0.35	0.75	0.5	0.419	0.0	0.5	76.1	38.7	150.9	-33.7	18.8	36.4	50.0	37.3	0.294	0.294	0.411	0.564	0.421	0.54	0.842	0.628	0.64	0.838	0.633	
16	5	NRS18	0.581	1.0	0.5	0.35	0.75	0.5	0.419	0.0	0.5	76.1	38.7	150.9	-33.7	18.8	36.4	50.0	37.3	0.294	0.294	0.411	0.564	0.421	0.54	0.842	0.628	0.64	0.838	0.633	
16	4	NLS00	0.5	1.0	0.508	0.35	0.75	0.5	0.419	0.0	0.5	63.9	47.7	150.9	-41.6	23.2	21.0	32.6	20.4	0.284	0.284	0.238	0.368	0.231	0.33	0.715	0.464	0.478	0.709	0.474	
17	0	ORS18	0.5	1.0	1.0	0.586	0.75	0.5	0.656	0.0	0.5	77.0	27.1	236.0	-15.1	-22.4	43.6	51.6	83.3	0.245	0.245	0.493	0.582	0.94	0.52	0.829	0.956	0.623	0.824	0.949	
17	5	NRS18	0.826	1.0	0.586	0.75	0.5	0.656	0.0	0.5	76.1	38.7	236.0	-21.5	-32.0	40.2	50.0	94.6	0.217	0.217	0.453	0.564	1.067	0.292	0.834	1.017	0.521	0.83	1.01		
17	5	NRS18	0.826	1.0	0.586	0.75	0.5	0.656	0.0	0.5	76.1	38.7	236.0	-21.5	-32.0	40.2	50.0	94.6	0.217	0.217	0.453	0.564	1.067	0.292	0.834	1.017	0.521	0.83	1.01		
17	4	NLS00	0.5	1.0	0.783	1.0	0.586	0.75	0.5	0.656	0.0	0.5	72.6	47.7	236.0	-26.6	-39.5	34.1	44.6	96.9	0.194	0.194	0.385	0.503	1.093	-0.918	0.807	1.032	0.388	0.802	1.025





%Umfang

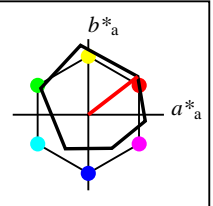
$u^*_{rel} = 94$

%Regularität

$g^*_{H,rel} = 58$

$g^*_{C,rel} = 54$

ORS18					
	$L^*=L^*_a$	a^*_a	b^*_a	$C^*_{ab,a}$	$h^*_{ab,a}$
O _M	47.94	65.31	52.07	83.53	39
Y _M	90.37	-11.15	96.17	96.82	97
L _M	50.9	-62.96	36.71	72.89	150
C _M	58.62	-30.62	-42.74	52.59	234
V _M	25.72	31.45	-44.35	54.38	305
M _M	48.13	75.2	-6.79	75.51	355
N _M	18.01	0.5	-0.46	0.69	317
W _M	95.41	-0.98	4.76	4.86	102
R _{CIE}	39.92	58.74	27.99	65.07	25
J _{CIE}	81.26	-2.88	71.56	71.62	92
G _{CIE}	52.23	-42.41	13.6	44.55	162
B _{CIE}	30.57	1.41	-46.46	46.49	272



%Umfang

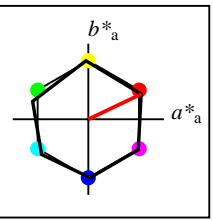
$u^*_{rel} = 93$

%Regularität

$g^*_{H,rel} = 57$

$g^*_{C,rel} = 59$

ORS18a; adaptierte CIELAB-Daten					
	$L^*=L^*_a$	a^*_a	b^*_a	$C^*_{ab,a}$	$h^*_{ab,a}$
O _{Ma}	47.94	65.39	50.52	82.63	38
Y _{Ma}	90.37	-10.26	91.75	92.32	96
L _{Ma}	50.9	-62.83	34.96	71.91	151
C _{Ma}	58.62	-30.34	-45.01	54.3	236
V _{Ma}	25.72	31.1	-44.4	54.22	305
M _{Ma}	48.13	75.28	-8.36	75.74	354
N _{Ma}	18.01	0.0	0.0	0.0	0
W _{Ma}	95.41	0.0	0.0	0.0	0
R _{CIE}	39.92	58.66	26.98	64.57	25
J _{CIE}	81.26	-2.16	67.76	67.79	92
G _{CIE}	52.23	-42.25	11.76	43.87	164
B _{CIE}	30.57	1.15	-46.84	46.86	271



%Umfang

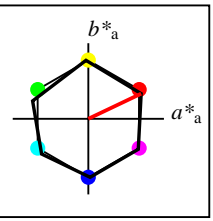
$u^*_{rel} = 100$

%Regularität

$g^*_{H,rel} = 78$

$g^*_{C,rel} = 100$

NRS18a; adaptierte CIELAB-Daten					
	$L^*=L^*_a$	a^*_a	b^*_a	$C^*_{ab,a}$	$h^*_{ab,a}$
O _{Ma}	56.71	69.87	33.29	77.4	25
Y _{Ma}	56.71	-3.1	77.34	77.4	92
L _{Ma}	56.71	-73.68	23.63	77.39	162
C _{Ma}	56.71	-61.81	-46.54	77.39	217
V _{Ma}	56.71	2.35	-77.34	77.39	272
M _{Ma}	56.71	66.07	-40.3	77.4	329
N _{Ma}	18.01	0.0	0.0	0.0	0
W _{Ma}	95.41	0.0	0.0	0.0	0
R _{CIE}	39.92	58.74	27.99	65.07	25
J _{CIE}	81.26	-2.88	71.56	71.62	92
G _{CIE}	52.23	-42.41	13.6	44.55	162
B _{CIE}	30.57	1.41	-46.46	46.49	272



%Umfang

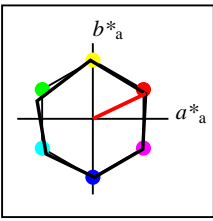
$u^*_{rel} = 100$

%Regularität

$g^*_{H,rel} = 78$

$g^*_{C,rel} = 100$

NRS18a; adaptierte CIELAB-Daten					
	$L^*=L^*_a$	a^*_a	b^*_a	$C^*_{ab,a}$	$h^*_{ab,a}$
O _{Ma}	56.71	69.87	33.29	77.4	25
Y _{Ma}	56.71	-3.1	77.34	77.4	92
L _{Ma}	56.71	-73.68	23.63	77.39	162
C _{Ma}	56.71	-61.81	-46.54	77.39	217
V _{Ma}	56.71	2.35	-77.34	77.39	272
M _{Ma}	56.71	66.07	-40.3	77.4	329
N _{Ma}	18.01	0.0	0.0	0.0	0
W _{Ma}	95.41	0.0	0.0	0.0	0
R _{CIE}	39.92	58.74	27.99	65.07	25
J _{CIE}	81.26	-2.88	71.56	71.62	92
G _{CIE}	52.23	-42.41	13.6	44.55	162
B _{CIE}	30.57	1.41	-46.46	46.49	272



%Umfang

$u^*_{rel} = 100$

%Regularität

$g^*_{H,rel} = 78$

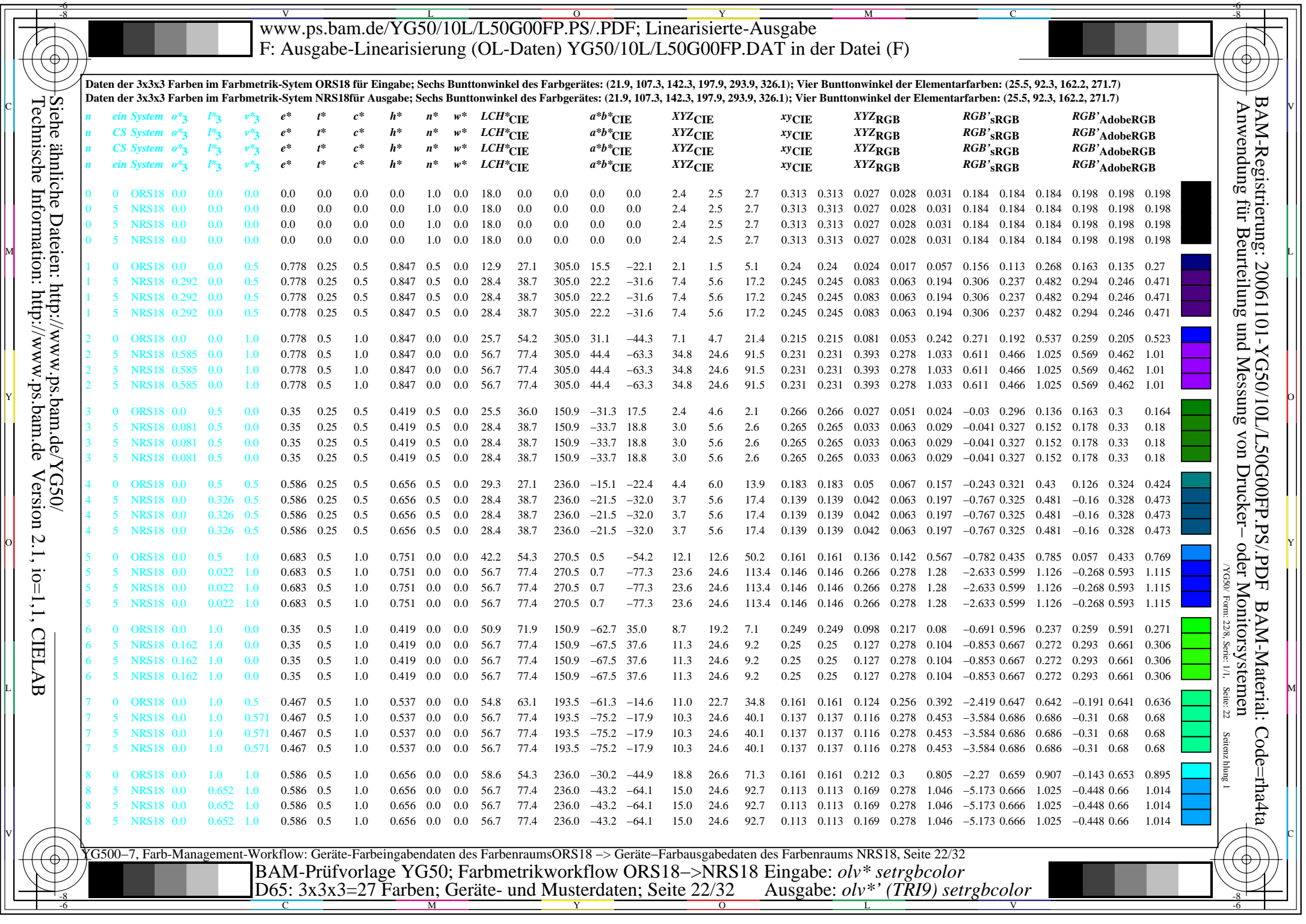
$g^*_{C,rel} = 100$

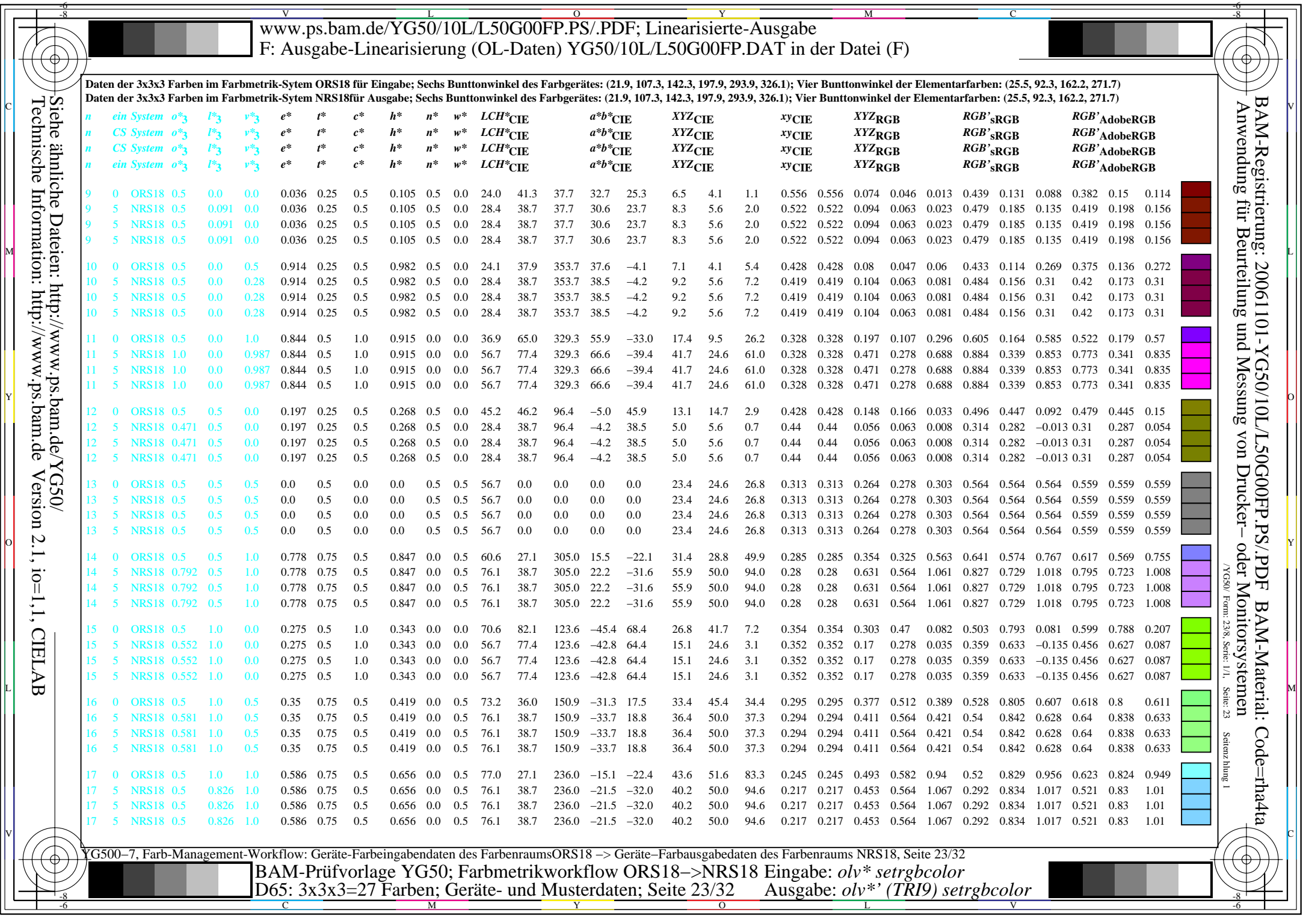
NRS18					
	$L^*=L^*_a$	a^*_a	b^*_a	$C^*_{ab,a}$	$h^*_{ab,a}$
O _M	56.71	69.87	33.29	77.4	25
Y _M	56.71	-3.1	77.34	77.4	92
L _M	56.71	-73.68	23.63	77.39	162
C _M	56.71	-61.81	-46.54	77.39	217
V _M	56.71	2.35	-77.34	77.39	272
M _M	56.71	66.07	-40.3	77.4	329
N _M	18.01	0.0	0.0	0.0	0
W _M	95.41	0.0	0.0	0.0	0
R _{CIE}	39.92	58.74	27.99	65.07	25
J _{CIE}	81.26	-2.88	71.56	71.62	92
G _{CIE}	52.23	-42.41	13.6	44.55	162
B _{CIE}	30.57	1.41	-46.46	46.49	272



YG500-7, Farb-Management-Workflow: Geräte-Farbeingabedaten des Farbenraums ORS18 -> Geräte-Farbausgabedaten des Farbenraums NRS18, Seite 21/32
 BAM-Prüfvorlage YG50; Farbmatrikeworkflow ORS18->NRS18 Eingabe: olv* setrgbcolor
 D65: 3x3x3=27 Farben; Geräte- und Musterdaten; Seite 21/32 Ausgabe: olv*' (TRI9) setrgbcolor

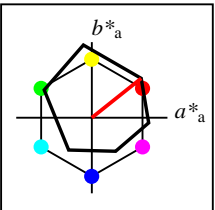






Daten der 3x3x3 Farben im Farbmatrik-System ORS18 für Eingabe; Sechs Buntonwinkel des Farbgerätes: (21.9, 107.3, 142.3, 197.9, 293.9, 326.1); Vier Buntonwinkel der Elementarfarben: (25.5, 92.3, 162.2, 271.7)
 Daten der 3x3x3 Farben im Farbmatrik-System NRS18 für Ausgabe; Sechs Buntonwinkel des Farbgerätes: (21.9, 107.3, 142.3, 197.9, 293.9, 326.1); Vier Buntonwinkel der Elementarfarben: (25.5, 92.3, 162.2, 271.7)

<i>n</i>	<i>ein System</i>	<i>o*₃</i>	<i>I*₃</i>	<i>v*₃</i>	<i>e*</i>	<i>t*</i>	<i>c*</i>	<i>h*</i>	<i>n*</i>	<i>w*</i>	<i>LCH*cie</i>	<i>a*b*cie</i>	<i>XYZcie</i>	<i>xycie</i>	<i>XYZrgb</i>	<i>RGB'srgb</i>	<i>RGB'adobeRGB</i>														
<i>n</i>	<i>CS System</i>	<i>o*₃</i>	<i>I*₃</i>	<i>v*₃</i>	<i>e*</i>	<i>t*</i>	<i>c*</i>	<i>h*</i>	<i>n*</i>	<i>w*</i>	<i>LCH*cie</i>	<i>a*b*cie</i>	<i>XYZcie</i>	<i>xycie</i>	<i>XYZrgb</i>	<i>RGB'srgb</i>	<i>RGB'adobeRGB</i>														
<i>n</i>	<i>CS System</i>	<i>o*₃</i>	<i>I*₃</i>	<i>v*₃</i>	<i>e*</i>	<i>t*</i>	<i>c*</i>	<i>h*</i>	<i>n*</i>	<i>w*</i>	<i>LCH*cie</i>	<i>a*b*cie</i>	<i>XYZcie</i>	<i>xycie</i>	<i>XYZrgb</i>	<i>RGB'srgb</i>	<i>RGB'adobeRGB</i>														
<i>n</i>	<i>ein System</i>	<i>o*₃</i>	<i>I*₃</i>	<i>v*₃</i>	<i>e*</i>	<i>t*</i>	<i>c*</i>	<i>h*</i>	<i>n*</i>	<i>w*</i>	<i>LCH*cie</i>	<i>a*b*cie</i>	<i>XYZcie</i>	<i>xycie</i>	<i>XYZrgb</i>	<i>RGB'srgb</i>	<i>RGB'adobeRGB</i>														
18	0	ORS18	1.0	0.0	0.0	0.036	0.5	1.0	0.105	0.0	0.0	47.9	82.6	37.7	65.4	50.5	30.1	16.7	2.9	0.605	0.605	0.34	0.189	0.033	0.904	0.177	0.128	0.779	0.191	0.15	
18	5	NRS18	1.0	0.0	0.183	0.0	0.036	0.5	1.0	0.105	0.0	0.0	56.7	77.4	37.7	61.2	47.3	40.0	24.6	6.5	0.563	0.563	0.451	0.278	0.073	1.0	0.327	0.236	0.872	0.329	0.25
18	5	NRS18	1.0	0.0	0.183	0.0	0.036	0.5	1.0	0.105	0.0	0.0	56.7	77.4	37.7	61.2	47.3	40.0	24.6	6.5	0.563	0.563	0.451	0.278	0.073	1.0	0.327	0.236	0.872	0.329	0.25
18	5	NRS18	1.0	0.0	0.183	0.0	0.036	0.5	1.0	0.105	0.0	0.0	56.7	77.4	37.7	61.2	47.3	40.0	24.6	6.5	0.563	0.563	0.451	0.278	0.073	1.0	0.327	0.236	0.872	0.329	0.25
19	0	ORS18	1.0	0.0	0.5	0.975	0.5	1.0	0.044	0.0	0.0	48.0	79.2	15.7	76.2	21.4	33.2	16.8	9.6	0.557	0.557	0.375	0.19	0.108	0.94	-0.034	0.344	0.805	-0.069	0.339	
19	5	NRS18	1.0	0.0	0.172	0.975	0.5	1.0	0.044	0.0	0.0	56.7	77.4	15.7	74.5	20.9	44.4	24.6	15.5	0.525	0.525	0.501	0.278	0.175	1.046	0.23	0.432	0.906	0.239	0.424	
19	5	NRS18	1.0	0.0	0.172	0.975	0.5	1.0	0.044	0.0	0.0	56.7	77.4	15.7	74.5	20.9	44.4	24.6	15.5	0.525	0.525	0.501	0.278	0.175	1.046	0.23	0.432	0.906	0.239	0.424	
19	5	NRS18	1.0	0.0	0.172	0.975	0.5	1.0	0.044	0.0	0.0	56.7	77.4	15.7	74.5	20.9	44.4	24.6	15.5	0.525	0.525	0.501	0.278	0.175	1.046	0.23	0.432	0.906	0.239	0.424	
20	0	ORS18	1.0	0.0	1.0	0.914	0.5	1.0	0.982	0.0	0.0	48.1	75.7	353.7	75.3	-8.3	33.1	16.9	22.9	0.454	0.454	0.373	0.191	0.258	0.9	0.077	0.542	0.772	0.102	0.527	
20	5	NRS18	1.0	0.0	0.56	0.914	0.5	1.0	0.982	0.0	0.0	56.7	77.4	353.7	76.9	-8.4	45.2	24.6	32.7	0.441	0.441	0.51	0.278	0.369	1.019	0.228	0.636	0.882	0.237	0.619	
20	5	NRS18	1.0	0.0	0.56	0.914	0.5	1.0	0.982	0.0	0.0	56.7	77.4	353.7	76.9	-8.4	45.2	24.6	32.7	0.441	0.441	0.51	0.278	0.369	1.019	0.228	0.636	0.882	0.237	0.619	
20	5	NRS18	1.0	0.0	0.56	0.914	0.5	1.0	0.982	0.0	0.0	56.7	77.4	353.7	76.9	-8.4	45.2	24.6	32.7	0.441	0.441	0.51	0.278	0.369	1.019	0.228	0.636	0.882	0.237	0.619	
21	0	ORS18	1.0	0.5	0.0	0.117	0.5	1.0	0.186	0.0	0.0	69.2	87.5	67.0	34.1	80.5	49.1	39.6	4.0	0.53	0.53	0.554	0.446	0.045	1.037	0.586	-0.166	0.935	0.581	0.003	
21	5	NRS18	1.0	0.622	0.0	0.117	0.5	1.0	0.186	0.0	0.0	56.7	77.4	67.0	30.2	71.3	30.8	24.6	2.2	0.535	0.535	0.348	0.278	0.024	0.848	0.467	-0.149	0.759	0.464	-0.076	
21	5	NRS18	1.0	0.622	0.0	0.117	0.5	1.0	0.186	0.0	0.0	56.7	77.4	67.0	30.2	71.3	30.8	24.6	2.2	0.535	0.535	0.348	0.278	0.024	0.848	0.467	-0.149	0.759	0.464	-0.076	
21	5	NRS18	1.0	0.622	0.0	0.117	0.5	1.0	0.186	0.0	0.0	56.7	77.4	67.0	30.2	71.3	30.8	24.6	2.2	0.535	0.535	0.348	0.278	0.024	0.848	0.467	-0.149	0.759	0.464	-0.076	
22	0	ORS18	1.0	0.5	0.5	0.036	0.75	0.5	0.105	0.0	0.5	71.7	41.3	37.7	32.7	25.3	52.6	43.2	27.2	0.428	0.428	0.594	0.487	0.307	1.01	0.627	0.545	0.92	0.621	0.543	
22	5	NRS18	1.0	0.591	0.5	0.036	0.75	0.5	0.105	0.0	0.5	76.1	38.7	37.7	30.6	23.7	59.4	50.0	33.5	0.416	0.416	0.67	0.564	0.379	1.049	0.683	0.603	0.962	0.677	0.601	
22	5	NRS18	1.0	0.591	0.5	0.036	0.75	0.5	0.105	0.0	0.5	76.1	38.7	37.7	30.6	23.7	59.4	50.0	33.5	0.416	0.416	0.67	0.564	0.379	1.049	0.683	0.603	0.962	0.677	0.601	
22	5	NRS18	1.0	0.591	0.5	0.036	0.75	0.5	0.105	0.0	0.5	76.1	38.7	37.7	30.6	23.7	59.4	50.0	33.5	0.416	0.416	0.67	0.564	0.379	1.049	0.683	0.603	0.962	0.677	0.601	
23	0	ORS18	1.0	0.5	1.0	0.914	0.75	0.5	0.982	0.0	0.5	71.8	37.9	353.7	37.6	-4.1	54.7	43.3	51.2	0.367	0.367	0.618	0.489	0.578	0.983	0.62	0.765	0.896	0.614	0.754	
23	5	NRS18	1.0	0.5	0.78	0.914	0.75	0.5	0.982	0.0	0.5	76.1	38.7	353.7	38.5	-4.2	62.7	50.0	59.0	0.365	0.365	0.708	0.564	0.665	1.04	0.665	0.814	0.952	0.659	0.804	
23	5	NRS18	1.0	0.5	0.78	0.914	0.75	0.5	0.982	0.0	0.5	76.1	38.7	353.7	38.5	-4.2	62.7	50.0	59.0	0.365	0.365	0.708	0.564	0.665	1.04	0.665	0.814	0.952	0.659	0.804	
23	5	NRS18	1.0	0.5	0.78	0.914	0.75	0.5	0.982	0.0	0.5	76.1	38.7	353.7	38.5	-4.2	62.7	50.0	59.0	0.365	0.365	0.708	0.564	0.665	1.04	0.665	0.814	0.952	0.659	0.804	
24	0	ORS18	1.0	1.0	0.0	0.197	0.5	1.0	0.268	0.0	0.0	90.4	92.3	96.4	-10.2	91.8	68.5	77.1	10.5	0.439	0.439	0.773	0.87	0.118	1.046	0.949	-0.122	1.02	0.948	0.195	
24	5	NRS18	0.942	1.0	0.0	0.197	0.5	1.0	0.268	0.0	0.0	56.7	77.4	96.4	-8.5	76.9	21.5	24.6	1.5	0.451	0.451	0.243	0.278	0.017	0.627	0.572	-0.318	0.607	0.567	-0.132	
24	5	NRS18	0.942	1.0	0.0	0.197	0.5	1.0	0.268	0.0	0.0	56.7	77.4	96.4	-8.5	76.9	21.5	24.6	1.5	0.451	0.451	0.243	0.278	0.017	0.627	0.572	-0.318	0.607	0.567	-0.132	
24	5	NRS18	0.942	1.0	0.0	0.197	0.5	1.0	0.268	0.0	0.0	56.7	77.4	96.4	-8.5	76.9	21.5	24.6	1.5	0.451	0.451	0.243	0.278	0.017	0.627	0.572	-0.318	0.607	0.567	-0.132	
25	0	ORS18	1.0	1.0	0.5	0.197	0.75	0.5	0.268	0.0	0.5	92.9	46.2	96.4	-5.0	45.9	76.1	82.7	38.9	0.385	0.385	0.859	0.934	0.439	1.054	0.972	0.602	1.033	0.971	0.617	
25	5	NRS18	0.971	1.0	0.5	0.197	0.75	0.5	0.268	0.0	0.5	76.1	38.7	96.4	-4.2	38.5	46.0	50.0	23.7	0.384	0.384	0.519	0.564	0.267	0.844	0.778	0.48	0.821	0.772	0.493	
25	5	NRS18	0.971	1.0	0.5	0.197	0.75	0.5	0.268	0.0	0.5	76.1	38.7	96.4	-4.2	38.5	46.0	50.0	23.7	0.384	0.384	0.519	0.564	0.267	0.844	0.778	0.48	0.821	0.772	0.493	
25	5	NRS18	0.971	1.0	0.5	0.197	0.75	0.5	0.268	0.0	0.5	76.1	38.7	96.4	-4.2	38.5	46.0	50.0	23.7	0.384	0.384	0.519	0.564	0.267	0.844	0.778	0.48	0.821	0.772	0.493	
26	0	ORS18	1.0	1.0	1.0	0.0	1.0	0.0	0.0	0.0	1.0	95.4	0.0	0.0	0.0	0.0	84.2	88.6	96.5	0.313	0.313	0.95	1.0	1.089	1.0	1.0	1.0	1.0	1.0		
26	5	NRS18	1.0	1.0	1.0	0.0	1.0	0.0	0.0	0.0	1.0	95.4	0.0	0.0	0.0	0.0	8														



%Umfang

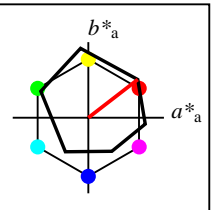
$u^*_{rel} = 94$

%Regularität

$g^*_{H,rel} = 58$

$g^*_{C,rel} = 54$

ORS18					
	$L^*=L^*_a$	a^*_a	b^*_a	$C^*_{ab,a}$	$h^*_{ab,a}$
O _M	47.94	65.31	52.07	83.53	39
Y _M	90.37	-11.15	96.17	96.82	97
L _M	50.9	-62.96	36.71	72.89	150
C _M	58.62	-30.62	-42.74	52.59	234
V _M	25.72	31.45	-44.35	54.38	305
M _M	48.13	75.2	-6.79	75.51	355
N _M	18.01	0.5	-0.46	0.69	317
W _M	95.41	-0.98	4.76	4.86	102
R _{CIE}	39.92	58.74	27.99	65.07	25
J _{CIE}	81.26	-2.88	71.56	71.62	92
G _{CIE}	52.23	-42.41	13.6	44.55	162
B _{CIE}	30.57	1.41	-46.46	46.49	272



%Umfang

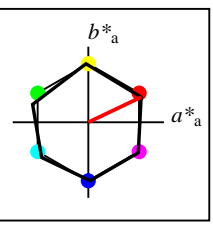
$u^*_{rel} = 93$

%Regularität

$g^*_{H,rel} = 57$

$g^*_{C,rel} = 59$

ORS18a; adaptierte CIELAB-Daten					
	$L^*=L^*_a$	a^*_a	b^*_a	$C^*_{ab,a}$	$h^*_{ab,a}$
O _{Ma}	47.94	65.39	50.52	82.63	38
Y _{Ma}	90.37	-10.26	91.75	92.32	96
L _{Ma}	50.9	-62.83	34.96	71.91	151
C _{Ma}	58.62	-30.34	-45.01	54.3	236
V _{Ma}	25.72	31.1	-44.4	54.22	305
M _{Ma}	48.13	75.28	-8.36	75.74	354
N _{Ma}	18.01	0.0	0.0	0.0	0
W _{Ma}	95.41	0.0	0.0	0.0	0
R _{CIE}	39.92	58.66	26.98	64.57	25
J _{CIE}	81.26	-2.16	67.76	67.79	92
G _{CIE}	52.23	-42.25	11.76	43.87	164
B _{CIE}	30.57	1.15	-46.84	46.86	271



%Umfang

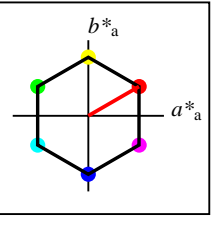
$u^*_{rel} = 100$

%Regularität

$g^*_{H,rel} = 78$

$g^*_{C,rel} = 100$

NRS18a; adaptierte CIELAB-Daten					
	$L^*=L^*_a$	a^*_a	b^*_a	$C^*_{ab,a}$	$h^*_{ab,a}$
O _{Ma}	56.71	69.87	33.29	77.4	25
Y _{Ma}	56.71	-3.1	77.34	77.4	92
L _{Ma}	56.71	-73.68	23.63	77.39	162
C _{Ma}	56.71	-61.81	-46.54	77.39	217
V _{Ma}	56.71	2.35	-77.34	77.39	272
M _{Ma}	56.71	66.07	-40.3	77.4	329
N _{Ma}	18.01	0.0	0.0	0.0	0
W _{Ma}	95.41	0.0	0.0	0.0	0
R _{CIE}	39.92	58.74	27.99	65.07	25
J _{CIE}	81.26	-2.88	71.56	71.62	92
G _{CIE}	52.23	-42.41	13.6	44.55	162
B _{CIE}	30.57	1.41	-46.46	46.49	272



%Umfang

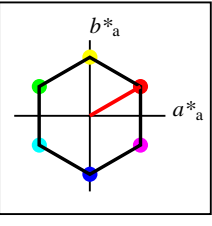
$u^*_{rel} = 100$

%Regularität

$g^*_{H,rel} = 100$

$g^*_{C,rel} = 100$

SRS18a; adaptierte CIELAB-Daten					
	$L^*=L^*_a$	a^*_a	b^*_a	$C^*_{ab,a}$	$h^*_{ab,a}$
O _{Ma}	56.71	67.03	38.7	77.4	30
Y _{Ma}	56.71	0.0	77.4	77.4	90
L _{Ma}	56.71	-67.02	38.7	77.4	150
C _{Ma}	56.71	-67.02	-38.69	77.4	210
V _{Ma}	56.71	0.0	-77.39	77.4	270
M _{Ma}	56.71	67.03	-38.69	77.4	330
N _{Ma}	18.01	0.0	0.0	0.0	0
W _{Ma}	95.41	0.0	0.0	0.0	0
R _{CIE}	39.92	58.74	27.99	65.07	25
J _{CIE}	81.26	-2.88	71.56	71.62	92
G _{CIE}	52.23	-42.41	13.6	44.55	162
B _{CIE}	30.57	1.41	-46.46	46.49	272



%Umfang

$u^*_{rel} = 100$

%Regularität

$g^*_{H,rel} = 100$

$g^*_{C,rel} = 100$

SRS18					
	$L^*=L^*_a$	a^*_a	b^*_a	$C^*_{ab,a}$	$h^*_{ab,a}$
O _M	56.71	67.03	38.7	77.4	30
Y _M	56.71	0.0	77.4	77.4	90
L _M	56.71	-67.02	38.7	77.4	150
C _M	56.71	-67.02	-38.69	77.4	210
V _M	56.71	0.0	-77.39	77.4	270
M _M	56.71	67.03	-38.69	77.4	330
N _M	18.01	0.0	0.0	0.0	0
W _M	95.41	0.0	0.0	0.0	0
R _{CIE}	39.92	58.74	27.99	65.07	25
J _{CIE}	81.26	-2.88	71.56	71.62	92
G _{CIE}	52.23	-42.41	13.6	44.55	162
B _{CIE}	30.57	1.41	-46.46	46.49	272

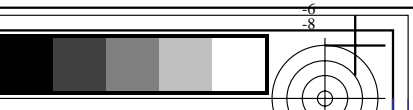
**BAM-Registrierung: 20061101-YG50/10L/L50G00FP.PS/.PDF BAM-Material: Code=rha4ta
Anwendung für Beurteilung und Messung von Drucker- oder Monitorsystemen**

Daten der 3x3x3 Farben im Farbmatrik-System ORS18 für Eingabe; Sechs Buntonwinkel des Farbgerätes: (21.9, 107.3, 142.3, 197.9, 293.9, 326.1); Vier Buntonwinkel der Elementarfarben: (25.5, 92.3, 162.2, 271.7)
Daten der 3x3x3 Farben im Farbmatrik-System SRS18 für Ausgabe; Sechs Buntonwinkel des Farbgerätes: (21.9, 107.3, 142.3, 197.9, 293.9, 326.1); Vier Buntonwinkel der Elementarfarben: (25.5, 92.3, 162.2, 271.7)

<i>n</i>	<i>ein System</i>	<i>o₃</i>	<i>l₃</i>	<i>v₃</i>	<i>e*</i>	<i>t*</i>	<i>c*</i>	<i>h*</i>	<i>n*</i>	<i>w*</i>	LCH*cie	a*b*cie	XYZcie	xycie	XYZrgb	RGB'srgb	RGB'AdobeRGB													
0	0	ORS18	0.0	0.0	0.0	0.0	0.0	1.0	0.0	0.0	0.0	2.4	2.5	2.7	0.313	0.313	0.027	0.028	0.031	0.184	0.184	0.184	0.198	0.198	0.198					
0	5	NRS18	0.0	0.0	0.0	0.0	0.0	1.0	0.0	18.0	0.0	0.0	0.0	2.4	2.5	2.7	0.313	0.313	0.027	0.028	0.031	0.184	0.184	0.184	0.198	0.198	0.198			
0	5	NRS18	0.0	0.0	0.0	0.0	0.0	1.0	0.0	18.0	0.0	0.0	0.0	2.4	2.5	2.7	0.313	0.313	0.027	0.028	0.031	0.184	0.184	0.184	0.198	0.198	0.198			
0	6	SRS18	0.0	0.0	0.0	0.0	0.0	1.0	0.0	18.0	0.0	0.0	0.0	2.4	2.5	2.7	0.313	0.313	0.027	0.028	0.031	0.184	0.184	0.184	0.198	0.198	0.198			
1	0	ORS18	0.0	0.0	0.5	0.778	0.25	0.5	0.847	0.5	0.0	12.9	27.1	305.0	15.5	-22.1	2.1	1.5	5.1	0.24	0.24	0.024	0.017	0.057	0.156	0.113	0.268	0.163	0.135	0.27
1	5	NRS18	0.292	0.0	0.5	0.778	0.25	0.5	0.847	0.5	0.0	28.4	38.7	305.0	22.2	-31.6	7.4	5.6	17.2	0.245	0.245	0.083	0.063	0.194	0.306	0.237	0.482	0.294	0.246	0.471
1	5	NRS18	0.292	0.0	0.5	0.778	0.25	0.5	0.847	0.5	0.0	28.4	38.7	305.0	22.2	-31.6	7.4	5.6	17.2	0.245	0.245	0.083	0.063	0.194	0.306	0.237	0.482	0.294	0.246	0.471
1	6	SRS18	0.292	0.0	0.5	0.778	0.25	0.5	0.847	0.5	0.0	28.4	38.7	305.0	22.2	-31.6	7.4	5.6	17.2	0.245	0.245	0.083	0.063	0.194	0.306	0.237	0.482	0.294	0.246	0.471
2	0	ORS18	0.0	0.0	1.0	0.778	0.5	1.0	0.847	0.0	0.0	25.7	54.2	305.0	31.1	-44.3	7.1	4.7	21.4	0.215	0.215	0.081	0.053	0.242	0.271	0.192	0.537	0.259	0.205	0.523
2	5	NRS18	0.585	0.0	1.0	0.778	0.5	1.0	0.847	0.0	0.0	56.7	77.4	305.0	44.4	-63.3	34.8	24.6	91.5	0.231	0.231	0.393	0.278	1.033	0.611	0.466	1.025	0.569	0.462	1.01
2	5	NRS18	0.585	0.0	1.0	0.778	0.5	1.0	0.847	0.0	0.0	56.7	77.4	305.0	44.4	-63.3	34.8	24.6	91.5	0.231	0.231	0.393	0.278	1.033	0.611	0.466	1.025	0.569	0.462	1.01
2	6	SRS18	0.583	0.0	1.0	0.778	0.5	1.0	0.847	0.0	0.0	56.7	77.4	305.0	44.4	-63.3	34.8	24.6	91.6	0.231	0.231	0.393	0.278	1.033	0.611	0.466	1.025	0.569	0.462	1.01
3	0	ORS18	0.0	0.5	0.0	0.35	0.25	0.5	0.419	0.5	0.0	25.5	36.0	150.9	-31.3	17.5	2.4	4.6	2.1	0.266	0.266	0.027	0.051	0.024	-0.03	0.296	0.136	0.163	0.3	0.164
3	5	NRS18	0.081	0.5	0.0	0.35	0.25	0.5	0.419	0.5	0.0	28.4	38.7	150.9	-33.7	18.8	3.0	5.6	2.6	0.265	0.265	0.033	0.063	0.029	-0.041	0.327	0.152	0.178	0.33	0.18
3	5	NRS18	0.081	0.5	0.0	0.35	0.25	0.5	0.419	0.5	0.0	28.4	38.7	150.9	-33.7	18.8	3.0	5.6	2.6	0.265	0.265	0.033	0.063	0.029	-0.041	0.327	0.152	0.178	0.33	0.18
3	6	SRS18	0.0	0.5	0.008	0.35	0.25	0.5	0.419	0.5	0.0	28.4	38.7	150.9	-33.7	18.8	3.0	5.6	2.6	0.265	0.265	0.033	0.063	0.029	-0.042	0.327	0.152	0.178	0.33	0.179
4	0	ORS18	0.0	0.5	0.5	0.586	0.25	0.5	0.656	0.5	0.0	29.3	27.1	236.0	-15.1	-22.4	4.4	6.0	13.9	0.183	0.183	0.05	0.067	0.157	-0.243	0.321	0.43	0.126	0.324	0.424
4	5	NRS18	0.0	0.326	0.5	0.586	0.25	0.5	0.656	0.5	0.0	28.4	38.7	236.0	-21.5	-32.0	3.7	5.6	17.4	0.139	0.139	0.042	0.063	0.197	-0.767	0.325	0.481	-0.16	0.328	0.473
4	5	NRS18	0.0	0.326	0.5	0.586	0.25	0.5	0.656	0.5	0.0	28.4	38.7	236.0	-21.5	-32.0	3.7	5.6	17.4	0.139	0.139	0.042	0.063	0.197	-0.767	0.325	0.481	-0.16	0.328	0.473
4	6	SRS18	0.0	0.283	0.5	0.586	0.25	0.5	0.656	0.5	0.0	28.4	38.7	236.0	-21.5	-32.0	3.7	5.6	17.4	0.139	0.139	0.042	0.063	0.197	-0.767	0.325	0.481	-0.16	0.328	0.473
5	0	ORS18	0.0	0.5	1.0	0.683	0.5	1.0	0.751	0.0	0.0	42.2	54.3	270.5	0.5	-54.2	12.1	12.6	50.2	0.161	0.161	0.136	0.142	0.567	-0.782	0.435	0.785	0.057	0.433	0.769
5	5	NRS18	0.0	0.022	1.0	0.683	0.5	1.0	0.751	0.0	0.0	56.7	77.4	270.5	0.7	-77.3	23.6	24.6	113.4	0.146	0.146	0.266	0.278	1.28	-2.633	0.599	1.126	-0.268	0.593	1.115
5	5	NRS18	0.0	0.022	1.0	0.683	0.5	1.0	0.751	0.0	0.0	56.7	77.4	270.5	0.7	-77.3	23.6	24.6	113.4	0.146	0.146	0.266	0.278	1.28	-2.633	0.599	1.126	-0.268	0.593	1.115
5	6	SRS18	0.0	0.008	1.0	0.683	0.5	1.0	0.751	0.0	0.0	56.7	77.4	270.5	0.7	-77.3	23.6	24.6	113.5	0.146	0.146	0.266	0.278	1.281	-2.635	0.599	1.126	-0.268	0.593	1.115
6	0	ORS18	0.0	1.0	0.0	0.35	0.5	1.0	0.419	0.0	0.0	50.9	71.9	150.9	-62.7	35.0	8.7	19.2	7.1	0.249	0.249	0.098	0.217	0.08	-0.691	0.596	0.237	0.259	0.591	0.271
6	5	NRS18	0.162	1.0	0.0	0.35	0.5	1.0	0.419	0.0	0.0	56.7	77.4	150.9	-67.5	37.6	11.3	24.6	9.2	0.25	0.25	0.127	0.278	0.104	-0.853	0.667	0.272	0.293	0.661	0.306
6	5	NRS18	0.162	1.0	0.0	0.35	0.5	1.0	0.419	0.0	0.0	56.7	77.4	150.9	-67.5	37.6	11.3	24.6	9.2	0.25	0.25	0.127	0.278	0.104	-0.853	0.667	0.272	0.293	0.661	0.306
6	6	SRS18	0.0	1.0	0.015	0.35	0.5	1.0	0.419	0.0	0.0	56.7	77.4	150.9	-67.5	37.6	11.3	24.6	9.2	0.25	0.25	0.127	0.278	0.104	-0.854	0.667	0.272	0.293	0.661	0.306
7	0	ORS18	0.0	1.0	0.5	0.467	0.5	1.0	0.537	0.0	0.0	54.8	63.1	193.5	-61.3	-14.6	11.0	22.7	34.8	0.161	0.161	0.124	0.256	0.392	-2.419	0.647	0.642	-0.191	0.641	0.636
7	5	NRS18	0.0	1.0	0.571	0.467	0.5	1.0	0.537	0.0	0.0	56.7	77.4	193.5	-75.2	-17.9	10.3	24.6	40.1	0.137	0.137	0.116	0.278	0.453	-3.584	0.686	0.686	-0.31	0.68	0.68
7	5	NRS18	0.0	1.0	0.571	0.467	0.5	1.0	0.537	0.0	0.0	56.7	77.4	193.5	-75.2	-17.9	10.3	24.6	40.1	0.137	0.137	0.116	0.278	0.453	-3.584	0.686	0.686	-0.31	0.68	0.68
7	6	SRS18	0.0	1.0	0.724	0.467	0.5	1.0	0.537	0.0	0.0	56.7	77.4	193.5	-75.2	-17.9	10.3	24.6	40.1	0.137	0.137	0.116	0.278	0.453	-3.585	0.686	0.686	-0.31	0.68	0.68
8	0	ORS18	0.0	1.0	1.0	0.586	0.5	1.0	0.656	0.0	0.0	58.6	54.3	236.0	-30.2	-44.9	18.8	26.6	71.3	0.161	0.161	0.212	0.3	0.805	-2.27	0.659	0.907	-0.143	0.653	0.895
8	5	NRS18	0.0	0.652	1.0	0.586	0.5	1.0	0.656	0.0	0.0	56.7	77.4	236.0	-43.2	-64.1	15.0	24.6	92.7	0.113	0.113	0.169	0.278	1.046	-5.173	0.666	1.025	-0.448	0.66	1.014
8	5	NRS18	0.0	0.652	1.0	0.586	0.5	1.0	0.656	0.0	0.0	56.7	77.4	236.0	-43.2	-64.1	15.0	24.6	92.7	0.113	0.113	0.169	0.278	1.046	-5.173	0.666	1.025	-0.448	0.66	1.014
8	6	SRS18	0.0	0.566	1.0	0.586	0.5	1.0	0.656	0.0	0.0	56.7	77.4	236.0	-43.2	-64.1	15.0	24.6	92.7	0.113	0.113	0.169	0.278	1.046	-5.175	0.666	1.025	-0.448	0.66	1.014

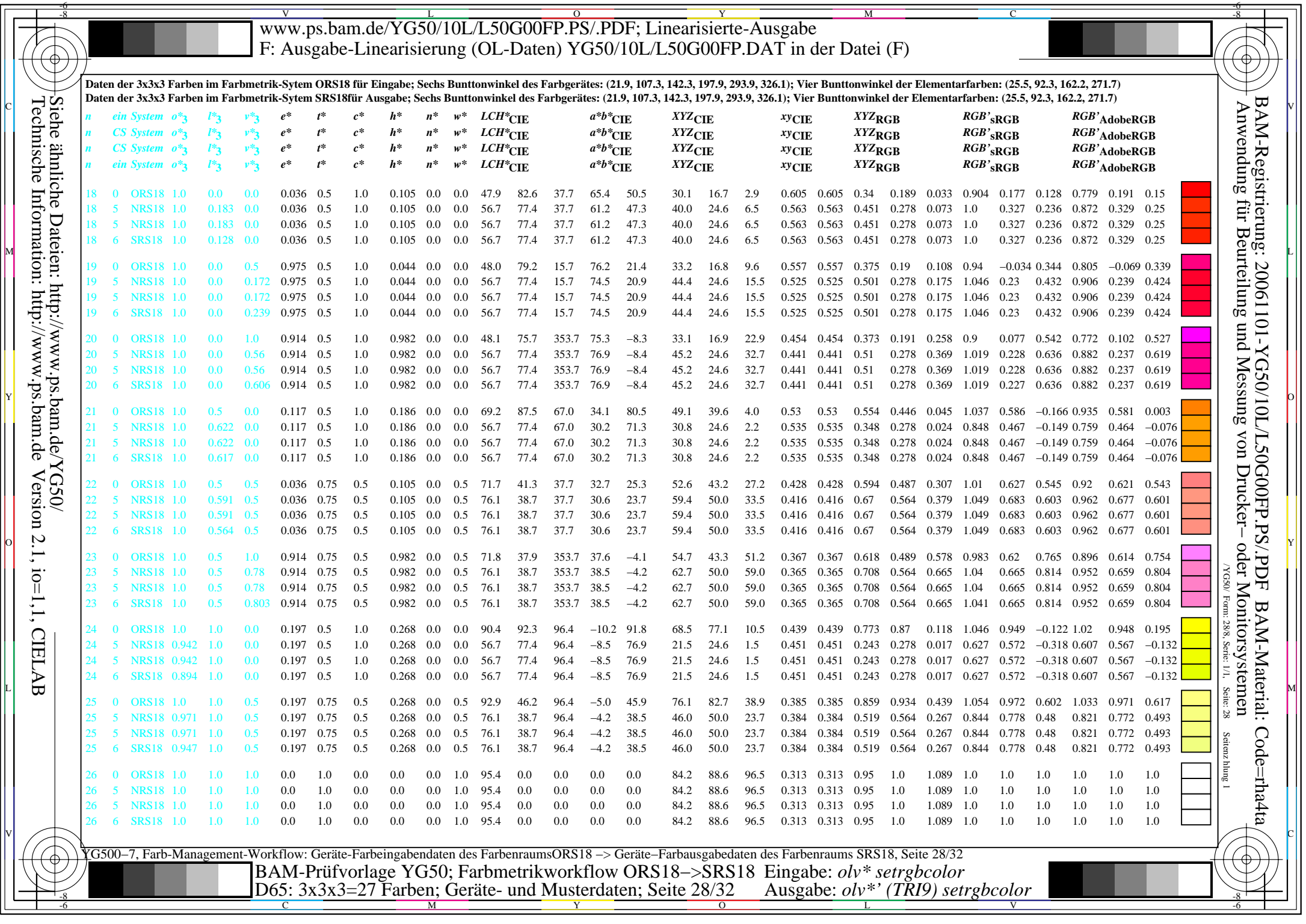
YG500-7, Farb-Management-Workflow: Geräte-Farbeingabedaten des Farbenraums ORS18 -> Geräte-Farbausgabedaten des Farbenraums SRS18, Seite 26/32

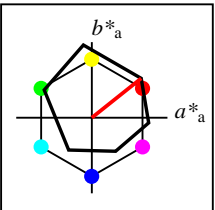
BAM-Prüfvorlage YG50; Farbmatrikworkflow ORS18->SRS18 Eingabe: *olv* setrgbcolor*
D65: 3x3x3=27 Farben; Geräte- und Musterdaten; Seite 26/32 Ausgabe: *olv*(TRI9) setrgbcolor*



Daten der 3x3x3 Farben im Farbmietrik-Sytem ORS18 für Eingabe; Sechs Bunttonwinkel des Farbgerätes: (21,9, 107,3, 142,3, 197,9, 293,9, 326,1); Vier Bunttonwinkel der Elementarfärbungen: (25,5, 92,3, 162,2, 271,7)
Daten der 3x3x3 Farben im Farbmietrik-Sytem SRS18 für Ausgabe; Sechs Bunttonwinkel des Farbgerätes: (21,9, 107,3, 142,3, 197,9, 293,9, 326,1); Vier Bunttonwinkel der Elementarfärbungen: (25,5, 92,3, 162,2, 271,7)

	ein System	o_3^*	I_3^*	v_3^*	e^*	t^*	c^*	h^*	n^*	w^*	LCH^* CIE	a^*b^* CIE	XYZ CIE	xy CIE	XYZ RGB	RGB 'sRGB	RGB 'AdobeRGB														
	CS System	o_3^*	I_3^*	v_3^*	e^*	t^*	c^*	h^*	n^*	w^*	LCH^* CIE	a^*b^* CIE	XYZ CIE	xy CIE	XYZ RGB	RGB 'sRGB	RGB 'AdobeRGB														
	CS System	o_3^*	I_3^*	v_3^*	e^*	t^*	c^*	h^*	n^*	w^*	LCH^* CIE	a^*b^* CIE	XYZ CIE	xy CIE	XYZ RGB	RGB 'sRGB	RGB 'AdobeRGB														
	ein System	o_3^*	I_3^*	v_3^*	e^*	t^*	c^*	h^*	n^*	w^*	LCH^* CIE	a^*b^* CIE	XYZ CIE	xy CIE	XYZ RGB	RGB 'sRGB	RGB 'AdobeRGB														
9	0	ORS18	0.5	0.0	0.036	0.25	0.5	0.105	0.5	0.0	24.0	41.3	37.7	32.7	25.3	6.5	4.1	1.1	0.556	0.556	0.074	0.046	0.013	0.439	0.131	0.088	0.382	0.15	0.114		
9	5	NRS18	0.5	0.091	0.0	0.036	0.25	0.5	0.105	0.5	0.0	28.4	38.7	37.7	30.6	23.7	8.3	5.6	2.0	0.522	0.522	0.094	0.063	0.023	0.479	0.185	0.135	0.419	0.198	0.156	
9	5	NRS18	0.5	0.091	0.0	0.036	0.25	0.5	0.105	0.5	0.0	28.4	38.7	37.7	30.6	23.7	8.3	5.6	2.0	0.522	0.522	0.094	0.063	0.023	0.479	0.185	0.135	0.419	0.198	0.156	
9	6	SRS18	0.5	0.064	0.0	0.036	0.25	0.5	0.105	0.5	0.0	28.4	38.7	37.7	30.6	23.7	8.3	5.6	2.0	0.522	0.522	0.094	0.063	0.023	0.479	0.185	0.135	0.419	0.198	0.156	
10	0	ORS18	0.5	0.0	0.5	0.914	0.25	0.5	0.982	0.5	0.0	24.1	37.9	353.7	37.6	-4.1	7.1	4.1	5.4	0.428	0.428	0.08	0.047	0.06	0.433	0.114	0.269	0.375	0.136	0.272	
10	5	NRS18	0.5	0.0	0.28	0.914	0.25	0.5	0.982	0.5	0.0	28.4	38.7	353.7	38.5	-4.2	9.2	5.6	7.2	0.419	0.419	0.104	0.063	0.081	0.484	0.156	0.31	0.42	0.173	0.31	
10	5	NRS18	0.5	0.0	0.28	0.914	0.25	0.5	0.982	0.5	0.0	28.4	38.7	353.7	38.5	-4.2	9.2	5.6	7.2	0.419	0.419	0.104	0.063	0.081	0.484	0.156	0.31	0.42	0.173	0.31	
10	6	SRS18	0.5	0.0	0.303	0.914	0.25	0.5	0.982	0.5	0.0	28.4	38.7	353.7	38.5	-4.2	9.2	5.6	7.2	0.419	0.419	0.104	0.063	0.081	0.484	0.156	0.31	0.42	0.173	0.31	
11	0	ORS18	0.5	0.0	1.0	0.844	0.5	1.0	0.915	0.0	0.0	36.9	65.0	329.3	55.9	-33.0	17.4	9.5	26.2	0.328	0.328	0.197	0.107	0.296	0.605	0.164	0.585	0.522	0.179	0.57	
11	5	NRS18	1.0	0.0	0.987	0.844	0.5	1.0	0.915	0.0	0.0	56.7	77.4	329.3	66.6	-39.4	41.7	24.6	61.0	0.328	0.328	0.471	0.278	0.688	0.884	0.339	0.853	0.773	0.341	0.835	
11	5	NRS18	1.0	0.0	0.987	0.844	0.5	1.0	0.915	0.0	0.0	56.7	77.4	329.3	66.6	-39.4	41.7	24.6	61.0	0.328	0.328	0.471	0.278	0.688	0.884	0.339	0.853	0.773	0.341	0.835	
11	6	SRS18	0.989	0.0	1.0	0.844	0.5	1.0	0.915	0.0	0.0	56.7	77.4	329.3	66.6	-39.4	41.7	24.6	61.0	0.328	0.328	0.471	0.278	0.688	0.884	0.339	0.853	0.773	0.341	0.835	
12	0	ORS18	0.5	0.5	0.0	0.197	0.25	0.5	0.268	0.5	0.0	45.2	46.2	96.4	-5.0	45.9	13.1	14.7	2.9	0.428	0.428	0.148	0.166	0.033	0.496	0.447	0.092	0.479	0.445	0.15	
12	5	NRS18	0.471	0.5	0.0	0.197	0.25	0.5	0.268	0.5	0.0	28.4	38.7	96.4	-4.2	38.5	5.0	5.6	0.7	0.44	0.44	0.056	0.063	0.008	0.314	0.282	-0.013	0.31	0.287	0.054	
12	5	NRS18	0.471	0.5	0.0	0.197	0.25	0.5	0.268	0.5	0.0	28.4	38.7	96.4	-4.2	38.5	5.0	5.6	0.7	0.44	0.44	0.056	0.063	0.008	0.314	0.282	-0.013	0.31	0.287	0.054	
12	6	SRS18	0.447	0.5	0.0	0.197	0.25	0.5	0.268	0.5	0.0	28.4	38.7	96.4	-4.2	38.5	5.0	5.6	0.7	0.44	0.44	0.056	0.063	0.008	0.314	0.282	-0.013	0.31	0.287	0.054	
13	0	ORS18	0.5	0.5	0.5	0.0	0.5	0.0	0.5	0.5	56.7	0.0	0.0	0.0	0.0	23.4	24.6	26.8	0.313	0.313	0.264	0.278	0.303	0.564	0.564	0.564	0.559	0.559	0.559		
13	5	NRS18	0.5	0.5	0.5	0.0	0.5	0.0	0.5	0.5	56.7	0.0	0.0	0.0	0.0	23.4	24.6	26.8	0.313	0.313	0.264	0.278	0.303	0.564	0.564	0.564	0.559	0.559	0.559		
13	5	NRS18	0.5	0.5	0.5	0.0	0.5	0.0	0.5	0.5	56.7	0.0	0.0	0.0	0.0	23.4	24.6	26.8	0.313	0.313	0.264	0.278	0.303	0.564	0.564	0.564	0.559	0.559	0.559		
13	6	SRS18	0.5	0.5	0.5	0.0	0.5	0.0	0.5	0.5	56.7	0.0	0.0	0.0	0.0	23.4	24.6	26.8	0.313	0.313	0.264	0.278	0.303	0.564	0.564	0.564	0.559	0.559	0.559		
14	0	ORS18	0.5	0.5	1.0	0.778	0.75	0.5	0.847	0.0	0.5	60.6	27.1	305.0	15.5	-22.1	31.4	28.8	49.9	0.285	0.285	0.354	0.325	0.563	0.641	0.574	0.767	0.617	0.569	0.755	
14	5	NRS18	0.792	0.5	1.0	0.778	0.75	0.5	0.847	0.0	0.5	76.1	38.7	305.0	22.2	-31.6	55.9	50.0	94.0	0.28	0.28	0.631	0.564	1.061	0.827	0.729	1.018	0.795	0.723	1.008	
14	5	NRS18	0.792	0.5	1.0	0.778	0.75	0.5	0.847	0.0	0.5	76.1	38.7	305.0	22.2	-31.6	55.9	50.0	94.0	0.28	0.28	0.631	0.564	1.061	0.827	0.729	1.018	0.795	0.723	1.008	
14	6	SRS18	0.792	0.5	1.0	0.778	0.75	0.5	0.847	0.0	0.5	76.1	38.7	305.0	22.2	-31.6	55.9	50.0	94.0	0.28	0.28	0.631	0.564	1.061	0.827	0.729	1.018	0.795	0.723	1.008	
15	0	ORS18	0.5	1.0	0.0	0.275	0.5	1.0	0.343	0.0	0.0	70.6	82.1	123.6	-45.4	68.4	26.8	41.7	7.2	0.354	0.354	0.303	0.47	0.082	0.503	0.793	0.081	0.599	0.788	0.207	
15	5	NRS18	0.552	1.0	0.0	0.275	0.5	1.0	0.343	0.0	0.0	56.7	77.4	123.6	-42.8	64.4	15.1	24.6	3.1	0.352	0.352	0.17	0.278	0.035	0.359	0.633	-0.135	0.456	0.627	0.087	
15	5	NRS18	0.552	1.0	0.0	0.275	0.5	1.0	0.343	0.0	0.0	56.7	77.4	123.6	-42.8	64.4	15.1	24.6	3.1	0.352	0.352	0.17	0.278	0.035	0.359	0.633	-0.135	0.456	0.627	0.087	
15	6	SRS18	0.439	1.0	0.0	0.275	0.5	1.0	0.343	0.0	0.0	56.7	77.4	123.6	-42.8	64.4	15.1	24.6	3.1	0.352	0.352	0.17	0.278	0.035	0.359	0.633	-0.135	0.456	0.627	0.087	
16	0	ORS18	0.5	1.0	0.5	0.35	0.75	0.5	0.419	0.0	0.5	73.2	36.0	150.9	-31.3	17.5	33.4	45.4	34.4	0.295	0.295	0.377	0.512	0.389	0.528	0.805	0.607	0.618	0.8	0.611	
16	5	NRS18	0.581	1.0	0.5	0.35	0.75	0.5	0.419	0.0	0.5	76.1	38.7	150.9	-33.7	18.8	36.4	50.0	37.3	0.294	0.294	0.411	0.564	0.421	0.54	0.842	0.628	0.64	0.838	0.633	
16	5	NRS18	0.581	1.0	0.5	0.35	0.75	0.5	0.419	0.0	0.5	76.1	38.7	150.9	-33.7	18.8	36.4	50.0	37.3	0.294	0.294	0.411	0.564	0.421	0.54	0.842	0.628	0.64	0.838	0.633	
16	6	SRS18	0.5	1.0	0.508	0.35	0.75	0.5	0.419	0.0	0.5	76.1	38.7	150.9	-33.7	18.8	36.4	50.0	37.3	0.294	0.294	0.41	0.564	0.421	0.54	0.842	0.628	0.64	0.838	0.633	
17	0	ORS18	0.5	1.0	1.0	0.586	0.75	0.5	0.656	0.0	0.5	77.0	27.1	236.0	-15.1	-22.4	43.6	51.6	83.3	0.245	0.245	0.493	0.582	0.94	0.52	0.829	0.956	0.623	0.824	0.949	
17	5	NRS18	0.826	1.0	0.586	0.75	0.5	0.656	0.0	0.5	76.1	38.7	236.0	-21.5	-32.0	40.2	50.0	94.6	0.217	0.217	0.453	0.564	1.067	0.292	0.834	1.017	0.521	0.83	1.01		
17	5	NRS18	0.826	1.0	0.586	0.75	0.5	0.656	0.0	0.5	76.1	38.7	236.0	-21.5	-32.0	40.2	50.0	94.6	0.217	0.217	0.453	0.564	1.067	0.292	0.834	1.017	0.521	0.83	1.01		
17	6	SRS18	0.5	1.0	0.783	1.0	0.586	0.75	0.5	0.656	0.0	0.5	76.1	38.7	236.0	-21.5	-32.0	40.2	50.0	94.6	0.217	0.217	0.453	0.564	1.067	0.292	0.834	1.017	0.521	0.83	1.01





%Umfang

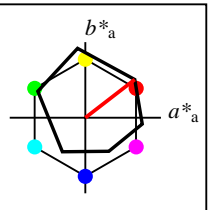
$u^*_{rel} = 94$

%Regularität

$g^*_{H,rel} = 58$

$g^*_{C,rel} = 54$

ORS18					
	$L^*=L^*_a$	a^*_a	b^*_a	$C^*_{ab,a}$	$h^*_{ab,a}$
O _M	47.94	65.31	52.07	83.53	39
Y _M	90.37	-11.15	96.17	96.82	97
L _M	50.9	-62.96	36.71	72.89	150
C _M	58.62	-30.62	-42.74	52.59	234
V _M	25.72	31.45	-44.35	54.38	305
M _M	48.13	75.2	-6.79	75.51	355
N _M	18.01	0.5	-0.46	0.69	317
W _M	95.41	-0.98	4.76	4.86	102
R _{CIE}	39.92	58.74	27.99	65.07	25
J _{CIE}	81.26	-2.88	71.56	71.62	92
G _{CIE}	52.23	-42.41	13.6	44.55	162
B _{CIE}	30.57	1.41	-46.46	46.49	272



%Umfang

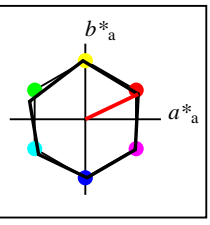
$u^*_{rel} = 93$

%Regularität

$g^*_{H,rel} = 57$

$g^*_{C,rel} = 59$

ORS18a; adaptierte CIELAB-Daten					
	$L^*=L^*_a$	a^*_a	b^*_a	$C^*_{ab,a}$	$h^*_{ab,a}$
O _{Ma}	47.94	65.39	50.52	82.63	38
Y _{Ma}	90.37	-10.26	91.75	92.32	96
L _{Ma}	50.9	-62.83	34.96	71.91	151
C _{Ma}	58.62	-30.34	-45.01	54.3	236
V _{Ma}	25.72	31.1	-44.4	54.22	305
M _{Ma}	48.13	75.28	-8.36	75.74	354
N _{Ma}	18.01	0.0	0.0	0.0	0
W _{Ma}	95.41	0.0	0.0	0.0	0
R _{CIE}	39.92	58.66	26.98	64.57	25
J _{CIE}	81.26	-2.16	67.76	67.79	92
G _{CIE}	52.23	-42.25	11.76	43.87	164
B _{CIE}	30.57	1.15	-46.84	46.86	271



%Umfang

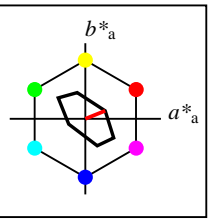
$u^*_{rel} = 100$

%Regularität

$g^*_{H,rel} = 78$

$g^*_{C,rel} = 100$

NRS18a; adaptierte CIELAB-Daten					
	$L^*=L^*_a$	a^*_a	b^*_a	$C^*_{ab,a}$	$h^*_{ab,a}$
O _{Ma}	56.71	69.87	33.29	77.4	25
Y _{Ma}	56.71	-3.1	77.34	77.4	92
L _{Ma}	56.71	-73.68	23.63	77.39	162
C _{Ma}	56.71	-61.81	-46.54	77.39	217
V _{Ma}	56.71	2.35	-77.34	77.39	272
M _{Ma}	56.71	66.07	-40.3	77.4	329
N _{Ma}	18.01	0.0	0.0	0.0	0
W _{Ma}	95.41	0.0	0.0	0.0	0
R _{CIE}	39.92	58.74	27.99	65.07	25
J _{CIE}	81.26	-2.88	71.56	71.62	92
G _{CIE}	52.23	-42.41	13.6	44.55	162
B _{CIE}	30.57	1.41	-46.46	46.49	272



%Umfang

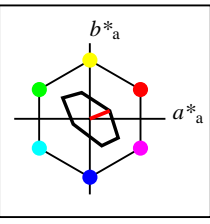
$u^*_{rel} = 16$

%Regularität

$g^*_{H,rel} = 34$

$g^*_{C,rel} = 51$

TLS70a; adaptierte CIELAB-Daten					
	$L^*=L^*_a$	a^*_a	b^*_a	$C^*_{ab,a}$	$h^*_{ab,a}$
O _{Ma}	76.43	26.27	10.57	28.32	22
Y _{Ma}	93.93	-10.76	34.63	36.27	107
L _{Ma}	89.32	-35.8	27.64	45.24	142
C _{Ma}	90.93	-21.95	-7.07	23.07	198
V _{Ma}	72.1	15.76	-35.63	38.97	294
M _{Ma}	78.5	37.52	-25.23	45.22	326
N _{Ma}	69.7	0.0	0.0	0.0	0
W _{Ma}	95.41	0.0	0.0	0.0	0
R _{CIE}	39.92	58.74	27.99	65.07	25
J _{CIE}	81.26	-2.88	71.56	71.62	92
G _{CIE}	52.23	-42.41	13.6	44.55	162
B _{CIE}	30.57	1.41	-46.46	46.49	272



%Umfang

$u^*_{rel} = 16$

%Regularität

$g^*_{H,rel} = 34$

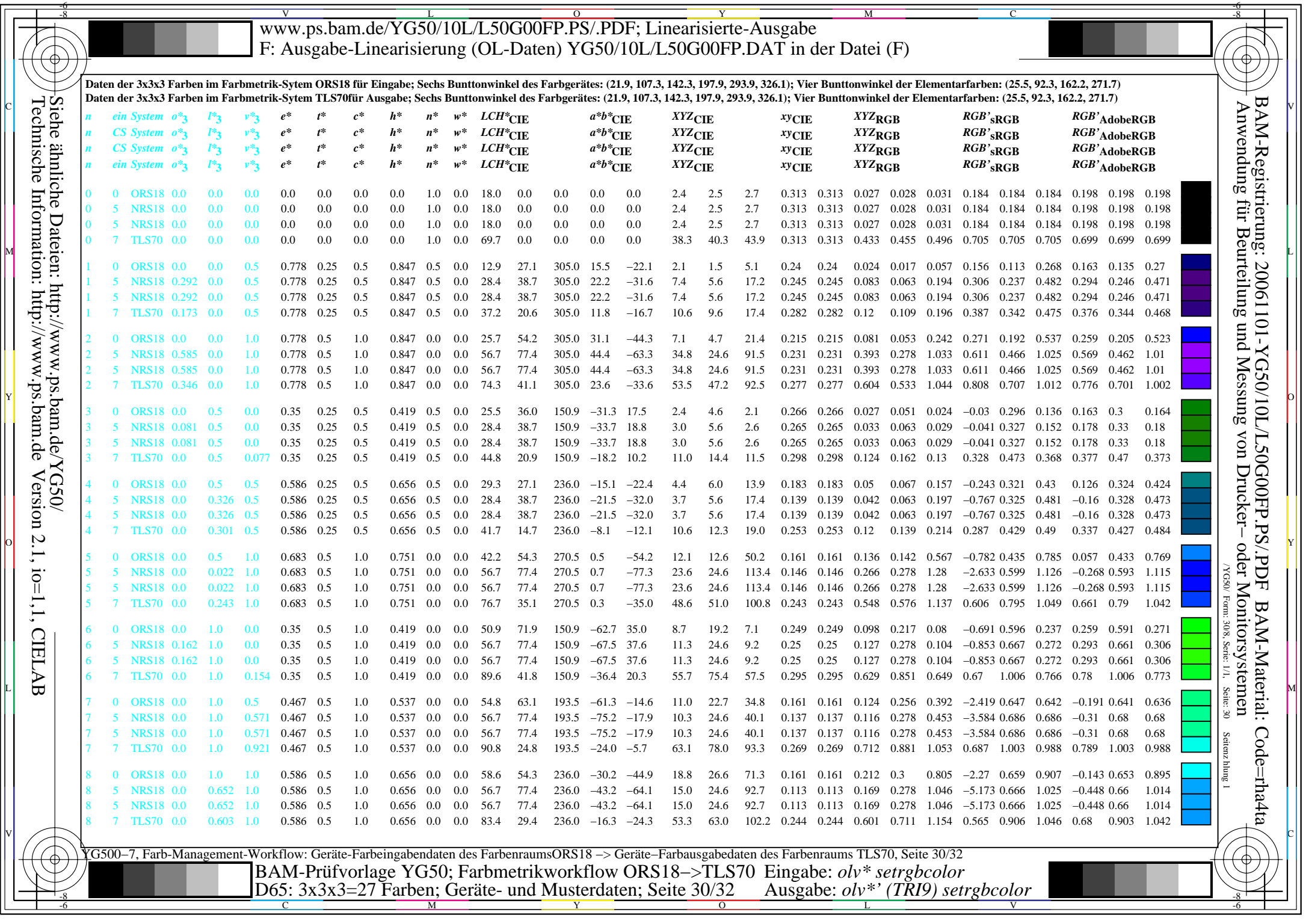
$g^*_{C,rel} = 51$

TLS70					
	$L^*=L^*_a$	a^*_a	b^*_a	$C^*_{ab,a}$	$h^*_{ab,a}$
O _M	76.43	26.27	10.57	28.32	22
Y _M	93.93	-10.76	34.63	36.27	107
L _M	89.32	-35.8	27.64	45.24	142
C _M	90.93	-21.95	-7.07	23.07	198
V _M	72.1	15.76	-35.63	38.97	294
M _M	78.5	37.52	-25.23	45.22	326
N _M	69.7	0.0	0.0	0.0	0
W _M	95.41	0.0	0.0	0.0	0
R _{CIE}	39.92	58.74	27.99	65.07	25
J _{CIE}	81.26	-2.88	71.56	71.62	92
G _{CIE}	52.23	-42.41	13.6	44.55	162
B _{CIE}	30.57	1.41	-46.46	46.49	272

YG500-7, Farb-Management-Workflow: Geräte-Farbeingabedaten des Farbenraums ORS18 → Geräte-Farbausgabedaten des Farbenraums TLS70, Seite 29/32

BAM-Prüfvorlage YG50; Farbmatrikworkflow ORS18→TLS70 Eingabe: olv* setrgbcolor

D65: 3x3x3=27 Farben; Geräte- und Musterdaten; Seite 29/32 Ausgabe: olv* (TRI9) setrgbcolor



C		M		Y		O		L		V		Y		M		C															
6	8																	-6	8												
																															
www.ps.bam.de/YG50/10L/L50G00FP.PS/.PDF; Linearisierte-Ausgabe F: Ausgabe-Linearisierung (OL-Daten) YG50/10L/L50G00FP.DAT in der Datei (F)																															
BAM-Registrierung: 20061101-YG50/10L/L50G00FP.PS/.PDF BAM-Material: Code=rha4ta Anwendung für Beurteilung und Messung von Drucker- oder Monitorsystemen /YG50/ Form: 31/8, Serie: 1_1, Seite: 31 Seitenanzahl: 1																															
Daten der 3x3x3 Farben im Farbmatrik-System ORS18 für Eingabe; Sechs Buntonwinkel des Farbgerätes: (21.9, 107.3, 142.3, 197.9, 293.9, 326.1); Vier Buntonwinkel der Elementarfarben: (25.5, 92.3, 162.2, 271.7) Daten der 3x3x3 Farben im Farbmatrik-System TLS70 für Ausgabe; Sechs Buntonwinkel des Farbgerätes: (21.9, 107.3, 142.3, 197.9, 293.9, 326.1); Vier Buntonwinkel der Elementarfarben: (25.5, 92.3, 162.2, 271.7)																															
<i>n</i>	<i>ein System</i>	<i>o₃</i>	<i>l₃</i>	<i>v₃</i>	<i>e[*]</i>	<i>t[*]</i>	<i>c[*]</i>	<i>h[*]</i>	<i>n[*]</i>	<i>w[*]</i>	<i>LCH[*]CIE</i>	<i>a[*]b[*]CIE</i>	<i>XYZ[*]CIE</i>	<i>x^yCIE</i>	<i>XYZ[*]RGB</i>	<i>RGB'sRGB</i>	<i>RGB'AdobeRGB</i>														
<i>n</i>	<i>CS System</i>	<i>o₃</i>	<i>l₃</i>	<i>v₃</i>	<i>e[*]</i>	<i>t[*]</i>	<i>c[*]</i>	<i>h[*]</i>	<i>n[*]</i>	<i>w[*]</i>	<i>LCH[*]CIE</i>	<i>a[*]b[*]CIE</i>	<i>XYZ[*]CIE</i>	<i>x^yCIE</i>	<i>XYZ[*]RGB</i>	<i>RGB'sRGB</i>	<i>RGB'AdobeRGB</i>														
<i>n</i>	<i>CS System</i>	<i>o₃</i>	<i>l₃</i>	<i>v₃</i>	<i>e[*]</i>	<i>t[*]</i>	<i>c[*]</i>	<i>h[*]</i>	<i>n[*]</i>	<i>w[*]</i>	<i>LCH[*]CIE</i>	<i>a[*]b[*]CIE</i>	<i>XYZ[*]CIE</i>	<i>x^yCIE</i>	<i>XYZ[*]RGB</i>	<i>RGB'sRGB</i>	<i>RGB'AdobeRGB</i>														
<i>n</i>	<i>ein System</i>	<i>o₃</i>	<i>l₃</i>	<i>v₃</i>	<i>e[*]</i>	<i>t[*]</i>	<i>c[*]</i>	<i>h[*]</i>	<i>n[*]</i>	<i>w[*]</i>	<i>LCH[*]CIE</i>	<i>a[*]b[*]CIE</i>	<i>XYZ[*]CIE</i>	<i>x^yCIE</i>	<i>XYZ[*]RGB</i>	<i>RGB'sRGB</i>	<i>RGB'AdobeRGB</i>														
9	0	ORS18	0.5	0.0	0.036	0.25	0.5	0.105	0.5	0.0	24.0	41.3	37.7	32.7	25.3	6.5	4.1	1.1	0.556	0.556	0.074	0.046	0.013	0.439	0.131	0.088	0.382	0.15	0.114		
9	5	NRS18	0.5	0.091	0.0	0.036	0.25	0.5	0.105	0.5	0.0	28.4	38.7	37.7	30.6	23.7	8.3	5.6	2.0	0.522	0.522	0.094	0.063	0.023	0.479	0.185	0.135	0.419	0.198	0.156	
9	5	NRS18	0.5	0.091	0.0	0.036	0.25	0.5	0.105	0.5	0.0	28.4	38.7	37.7	30.6	23.7	8.3	5.6	2.0	0.522	0.522	0.094	0.063	0.023	0.479	0.185	0.135	0.419	0.198	0.156	
9	7	TLS70	0.5	0.092	0.0	0.036	0.25	0.5	0.105	0.5	0.0	39.8	14.9	37.7	11.8	9.1	12.2	11.1	9.0	0.378	0.378	0.138	0.126	0.102	0.488	0.36	0.331	0.454	0.361	0.335	
10	0	ORS18	0.5	0.0	0.5	0.914	0.25	0.5	0.982	0.5	0.0	24.1	37.9	353.7	37.6	-4.1	7.1	4.1	5.4	0.428	0.428	0.08	0.047	0.06	0.433	0.114	0.269	0.375	0.136	0.272	
10	5	NRS18	0.5	0.0	0.28	0.914	0.25	0.5	0.982	0.5	0.0	28.4	38.7	353.7	38.5	-4.2	9.2	5.6	7.2	0.419	0.419	0.104	0.063	0.081	0.484	0.156	0.31	0.42	0.173	0.31	
10	5	NRS18	0.5	0.0	0.28	0.914	0.25	0.5	0.982	0.5	0.0	28.4	38.7	353.7	38.5	-4.2	9.2	5.6	7.2	0.419	0.419	0.104	0.063	0.081	0.484	0.156	0.31	0.42	0.173	0.31	
10	7	TLS70	0.5	0.0	0.253	0.914	0.25	0.5	0.982	0.5	0.0	38.7	18.4	353.7	18.3	-1.9	12.5	10.5	12.2	0.355	0.355	0.141	0.119	0.138	0.491	0.335	0.395	0.451	0.337	0.392	
11	0	ORS18	0.5	0.0	1.0	0.844	0.5	1.0	0.915	0.0	0.0	36.9	65.0	329.3	55.9	-33.0	17.4	9.5	26.2	0.328	0.328	0.197	0.107	0.296	0.605	0.164	0.585	0.522	0.179	0.57	
11	5	NRS18	1.0	0.0	0.987	0.844	0.5	1.0	0.915	0.0	0.0	56.7	77.4	329.3	66.6	-39.4	41.7	24.6	61.0	0.328	0.328	0.471	0.278	0.688	0.884	0.339	0.853	0.773	0.341	0.835	
11	5	NRS18	1.0	0.0	0.987	0.844	0.5	1.0	0.915	0.0	0.0	56.7	77.4	329.3	66.6	-39.4	41.7	24.6	61.0	0.328	0.328	0.471	0.278	0.688	0.884	0.339	0.853	0.773	0.341	0.835	
11	7	TLS70	1.0	0.0	0.942	0.844	0.5	1.0	0.915	0.0	0.0	78.4	44.2	329.3	38.0	-22.5	66.9	53.9	86.6	0.323	0.323	0.756	0.608	0.977	1.012	0.701	0.978	0.935	0.695	0.968	
12	0	ORS18	0.5	0.5	0.0	0.197	0.25	0.5	0.268	0.5	0.0	45.2	46.2	96.4	-5.0	45.9	13.1	14.7	2.9	0.428	0.428	0.148	0.166	0.033	0.496	0.447	0.092	0.479	0.445	0.15	
12	5	NRS18	0.471	0.5	0.0	0.197	0.25	0.5	0.268	0.5	0.0	28.4	38.7	96.4	-4.2	38.5	5.0	5.6	0.7	0.44	0.44	0.056	0.063	0.008	0.314	0.282	-0.013	0.31	0.287	0.054	
12	5	NRS18	0.471	0.5	0.0	0.197	0.25	0.5	0.268	0.5	0.0	28.4	38.7	96.4	-4.2	38.5	5.0	5.6	0.7	0.44	0.44	0.056	0.063	0.008	0.314	0.282	-0.013	0.31	0.287	0.054	
12	7	TLS70	0.5	0.436	0.0	0.197	0.25	0.5	0.268	0.5	0.0	45.8	17.6	96.4	-1.9	17.5	14.1	15.2	9.6	0.362	0.362	0.159	0.171	0.109	0.483	0.451	0.33	0.471	0.448	0.338	
13	0	ORS18	0.5	0.5	0.0	0.0	0.5	0.0	0.5	0.5	0.0	56.7	0.0	0.0	0.0	0.0	23.4	24.6	26.8	0.313	0.313	0.264	0.278	0.303	0.564	0.564	0.564	0.559	0.559	0.559	
13	5	NRS18	0.5	0.5	0.0	0.0	0.5	0.0	0.5	0.5	0.0	56.7	0.0	0.0	0.0	0.0	23.4	24.6	26.8	0.313	0.313	0.264	0.278	0.303	0.564	0.564	0.564	0.559	0.559	0.559	
13	5	NRS18	0.5	0.5	0.0	0.0	0.5	0.0	0.5	0.5	0.0	56.7	0.0	0.0	0.0	0.0	23.4	24.6	26.8	0.313	0.313	0.264	0.278	0.303	0.564	0.564	0.564	0.559	0.559	0.559	
13	7	TLS70	0.5	0.5	0.0	0.0	0.5	0.0	0.5	0.5	0.0	82.6	0.0	0.0	0.0	0.0	58.3	61.3	66.8	0.313	0.313	0.658	0.692	0.754	0.85	0.85	0.85	0.846	0.846	0.846	
14	0	ORS18	0.5	0.5	1.0	0.778	0.75	0.5	0.847	0.0	0.5	60.6	27.1	305.0	15.5	-22.1	31.4	28.8	49.9	0.285	0.285	0.354	0.325	0.563	0.641	0.574	0.767	0.617	0.569	0.755	
14	5	NRS18	0.792	0.5	1.0	0.778	0.75	0.5	0.847	0.0	0.5	76.1	38.7	305.0	22.2	-31.6	55.9	50.0	94.0	0.28	0.28	0.631	0.564	1.061	0.827	0.729	1.018	0.795	0.723	1.008	
14	5	NRS18	0.792	0.5	1.0	0.778	0.75	0.5	0.847	0.0	0.5	76.1	38.7	305.0	22.2	-31.6	55.9	50.0	94.0	0.28	0.28	0.631	0.564	1.061	0.827	0.729	1.018	0.795	0.723	1.008	
14	7	TLS70	0.673	0.5	1.0	0.778	0.75	0.5	0.847	0.0	0.5	84.9	20.6	305.0	11.8	-16.7	67.7	65.7	94.5	0.297	0.297	0.764	0.742	1.066	0.908	0.852	1.008	0.89	0.848	1.002	
15	0	ORS18	0.5	1.0	0.0	0.275	0.5	1.0	0.343	0.0	0.0	70.6	82.1	123.6	-45.4	68.4	26.8	41.7	7.2	0.354	0.354	0.303	0.47	0.082	0.503	0.793	0.081	0.599	0.788	0.207	
15	5	NRS18	0.552	1.0	0.0	0.275	0.5	1.0	0.343	0.0	0.0	56.7	77.4	123.6	-42.8	64.4	15.1	24.6	3.1	0.352	0.352	0.17	0.278	0.035	0.359	0.633	-0.135	0.456	0.627	0.087	
15	5	NRS18	0.552	1.0	0.0	0.275	0.5	1.0	0.343	0.0	0.0	56.7	77.4	123.6	-42.8	64.4	15.1	24.6	3.1	0.352	0.352	0.17	0.278	0.035	0.359	0.633	-0.135	0.456	0.627	0.087	
15	7	TLS70	0.533	1.0	0.0	0.275	0.5	1.0	0.343	0.0	0.0	91.8	40.5	123.6	-22.3	33.7	65.7	80.2	47.9	0.339	0.339	0.742	0.905	0.541	0.877	1.001	0.686	0.912	1.001	0.697	
16	0</td																														

